

RIPABOTTONI –
SANT’ELIA A
PIANISI -
MONACILIONI

REGIONE MOLISE

PROVINCIA DI
CAMPOBASSO

**IMPIANTO EOLICO DA 54 MW COMPOSTO DA N. 9
AEROGENERATORI RICADENTI NEI COMUNI DI
RIPABOTTONI, SANT’ELIA A PIANISI E MONACILIONI IN
PROVINCIA DI CAMPOBASSO, CON RELATIVE OPERE ED
INFRASTRUTTURE**

PROGETTO DEFINITIVO

CALCOLI PRELIMINARI STRUTTURE

Proponente:

EN.IT s.r.l.
Via Antonio Locatelli n.1
37122 Verona
P.IVA 04642500237
www.enitspa.it
enitsrl@pec.enitspa.it

Progettazione:

WH Group s.r.l.
Via A. Locatelli n.1 - 37122 Verona (VR)
P.IVA 12336131003
ingegneria@enitgroup.eu

Spazio riservato agli Enti:

File: 2022031_11.2_CalcoliPreliminariStrutture		Cod. : 2022031	Scala: ---		
11.2	Rev.	Data	Descrizione	Redatto	Approvato
	00	04/09/2023	Prima emissione	M. D'Adamo	S.M. Caputo
WH Group s.r.l. Via A. Locatelli n.1 - 37122 Verona (VR) – P.IVA 12336131003 ingegneria@enitgroup.eu					

INDICE

1	PREMESSA	5
2	NORMATIVA TECNICA DI RIFERIMENTO.....	7
3	DATI DI PROGETTO.....	8
4	CARATTERISTICHE PRINCIPALI.....	9
4.1	Localizzazione dell'impianto.....	9
5	PROGETTO DELL'OPERA.....	11
5.1	Caratteristiche generali della centrale eolica.....	11
5.2	Soluzione di connessione.....	12
5.3	Tipologia di aerogeneratore.....	13
5.4	Infrastrutture e opere civili.....	14
5.4.1	<i>Strade di accesso e viabilità di servizio.....</i>	<i>14</i>
5.4.2	<i>Cavidotti.....</i>	<i>15</i>
5.4.3	<i>Fondazioni aerogeneratore.....</i>	<i>15</i>
5.4.4	<i>Piazzole aerogeneratore.....</i>	<i>16</i>
6	VIABILITÀ E AREE DI LAVORO	17
6.1.1	<i>Trasporto dei componenti di impianto.....</i>	<i>18</i>
7	CALCOLI PRELIMINARI STRUTTURE	18
7.1	Descrizione generale dell'opera.....	18
7.2	Misura della sicurezza.....	19
7.3	Modelli di calcolo.....	20
8	AZIONI SULLE COSTRUZIONI.....	21
8.1.1	<i>Azioni ambientali e naturali.....</i>	<i>21</i>
8.1.2	<i>Destinazioni d'uso e sovraccarichi per le azioni antropiche.....</i>	<i>22</i>
8.1.3	<i>Azione sismica.....</i>	<i>23</i>
8.1.4	<i>Azioni dovute al vento.....</i>	<i>23</i>
8.1.5	<i>Neve.....</i>	<i>23</i>
8.1.6	<i>Azioni antropiche e pesi propri.....</i>	<i>24</i>
8.1.7	<i>Combinazioni di calcolo.....</i>	<i>24</i>
8.1.1	<i>Combinazioni delle azioni sulla costruzione.....</i>	<i>25</i>
8.2	Tolleranze.....	25
8.3	Durabilità.....	26
8.4	Prestazioni attese al collaudo.....	26
9	CODICE DI CALCOLO IMPIEGATO AI SENSI DEL PUNTO 10.2 DEL D.M. 17/01/2018.....	26
9.1.1	<i>Tipo di analisi svolta.....</i>	<i>26</i>
9.2	Origine e caratteristiche dei codici di calcolo.....	28
9.2.1	<i>Affidabilità dei codici di calcolo.....</i>	<i>28</i>
9.2.2	<i>Validazione dei codici.....</i>	<i>28</i>
9.3	Informazione sull'elaborazione.....	28

9.4	Giudizio motivato di accettabilità	29
9.5	Prescrizioni sui materiali da impiegare nelle opere	29
9.5.1	<i>Calcestruzzo armato</i>	29
9.5.2	<i>Armatura</i>	30
9.6	Parametri sismici	31
9.7	Analisi e verifiche	31
9.7.1	<i>Modello geometrico della struttura</i>	32
9.7.2	<i>Azioni provenienti dalla struttura</i>	33
9.8	Tabulati di calcolo	34

Indice delle figure

Figura 1 – Inquadramento della centrale eolica in progetto	6
Figura 2 – Inquadramento dell'impianto eolico su confini comunali.....	11
Figura 3 – Esempio di installazione di turbina eolica	12
Figura 4 – Tipico dell'aerogeneratore in progetto, con dimensioni di ingombro (RTG55_ElaboratoGrafico_9.18)	14
Figura 5 – Piazzola permanente tipo.....	16
Figura 6 – Legame costitutivo di progetto parabola-rettangolo per il calcestruzzo.....	20
Figura 7 – Legame costitutivo di progetto elastico perfettamente plastico o incrudente a duttilità	21
Figura 8 – Vista assonometrica fondazione	32

I PREMESSA

La presente relazione ha carattere puramente descrittivo-illustrativo, fornendo esclusivamente, nelle linee generali, indicazioni strutturali adottate e i metodi di calcolo utilizzati per le fondazioni degli aerogeneratori di un parco eolico da ubicarsi nell'agro del Comune di Ripabottoni, Sant'Elia a Pianisi e Monacilioni, in Provincia di Campobasso.

Nello specifico la presente relazione tecnica esplicita le valutazioni progettuali finalizzate al rispetto dei seguenti punti:

I calcoli delle strutture e degli impianti devono consentire di determinare tutti gli elementi dimensionali, dimostrandone la piena compatibilità con l'aspetto architettonico ed impiantistico e più in generale con tutti gli altri aspetti del progetto. I calcoli delle strutture comprendono i criteri di impostazione del calcolo, le azioni, i criteri di verifica e la definizione degli elementi strutturali principali che interferiscono con l'aspetto architettonico e con le altre categorie di opere.

I calcoli degli impianti devono permettere, altresì, la definizione degli eventuali volumi tecnici necessari e, per quanto riguarda le reti e le apparecchiature degli impianti, anche la specificazione delle caratteristiche.

I calcoli di dimensionamento e verifica delle strutture e degli impianti devono essere sviluppati ad un livello di definizione tale che nella successiva progettazione esecutiva non si abbiano significative differenze tecniche e di costo. Nel caso di calcoli elaborati con l'impiego di programmi informatizzati, la relazione di calcolo specifica le ipotesi adottate e fornisce indicazioni atte a consentirne la piena leggibilità.

Le opere, data la loro specificità, sono da intendersi di interesse pubblico, indifferibili ed urgenti ai sensi di quanto affermato dall'art. 1 comma 4 della legge 10/91 e ribadito dall'art. 12 comma 1 del Decreto Legislativo 387/2003, nonché urbanisticamente compatibili con la destinazione agricola dei suoli come sancito dal comma 7 dello stesso articolo del decreto legislativo.

Tutta la progettazione della centrale di conversione dell'energia eolica in energia elettrica e le relative opere ed infrastrutture connesse e necessarie, è stata sviluppata utilizzando tecnologie ad oggi disponibili sul mercato europeo; dal momento della progettazione definitiva alla realizzazione potranno cambiare le tecnologie e le caratteristiche delle componenti principali, ma resteranno invariate le caratteristiche complessive e principali dell'intero impianto in termini di potenza massima di produzione, occupazione del suolo e ingombri.

La disposizione delle turbine eoliche è stata valutata tenendo in considerazione sia la componente paesaggistica e ambientale (minore impatto ambientale) che quella tecnica (migliore resa energetica a parità di costi dell'impianto).

I principali condizionamenti alla base delle scelte progettuali sono legati ai seguenti aspetti:

- ❖ normativa in vigore;
- ❖ presenza di risorse ambientali e paesaggistiche;
- ❖ vincoli territoriali ed urbanistici;
- ❖ salvaguardia ed efficienza degli insediamenti;

- ❖ presenza di infrastrutture (rete elettrica di trasmissione, viabilità, etc.) e di altri impianti;
- ❖ orografia e caratteristiche del territorio, soprattutto in funzione della producibilità eolica;
- ❖ efficienza e innovazione tecnologica.

Il progetto prevede una potenza complessiva di 54 MW, articolata in 9 aereogeneratori da 6 MW.

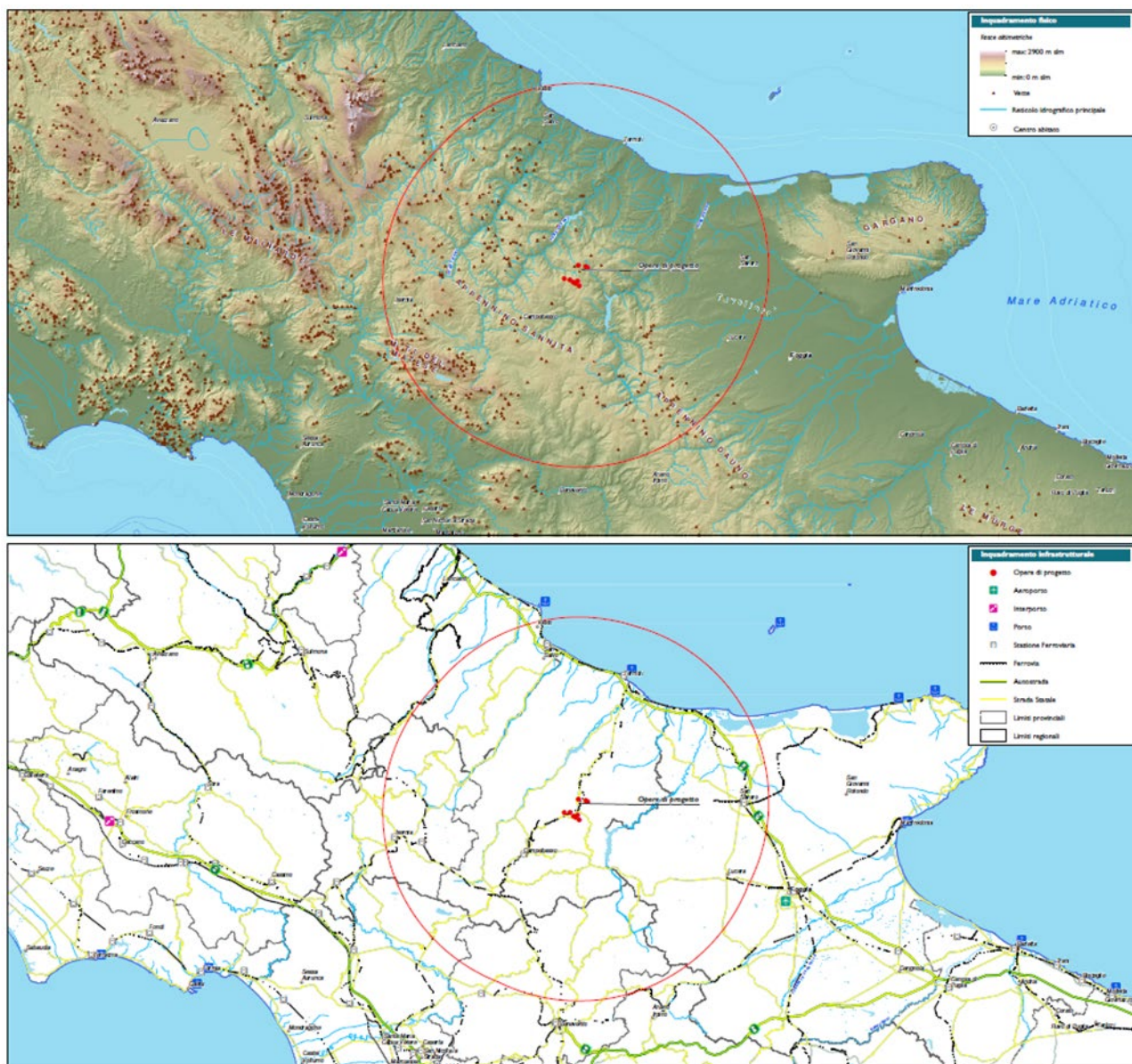


Figura 1 – Inquadramento della centrale eolica in progetto

Insieme agli aereogeneratori, le opere e le infrastrutture connesse oggetto del presente procedimento autorizzativo sono:

Le piazzole nelle vicinanze dell'aereogeneratore per l'installazione e la futura manutenzione delle torri;

Le viabilità di accesso agli aereogeneratori;

Doppio cavidotto interrato di MT (30 kV) di collegamento degli aereogeneratori per una lunghezza totale di scavo pari a 35,011 km, ricadenti nel comune di Ripabottoni, Sant'Elia a Pianisi, Monacilioni;

L'ubicazione di due nuove Sotto Stazioni Elettriche di Utenza 30/36 KV;

La realizzazione di due linee 36 kV tra le Sotto Stazioni Elettriche di Utenza e la indicata Stazione Elettrica di trasformazione TERNA.

La realizzazione delle opere dovrà essere preceduta da approvazione da parte della Committenza e dalla presentazione della documentazione necessaria l'autorizzazione e l'esecuzione delle opere stesse, nonché dalla redazione di progetto esecutivo.

L'impianto dovrà essere eseguito nel rispetto di tutte le prescrizioni tecniche nel seguito indicate, nonché nel totale rispetto delle disposizioni legislative, regolamentari e normative vigenti, quando siano applicabili, anche se non direttamente richiamate all'interno della presente relazione.

2 **NORMATIVA TECNICA DI RIFERIMENTO**

Le normative di riferimento della presente relazione sono quelle riportate nel seguito:

- ❖ D.M. 17 Gennaio 2018
 - *Nuove Norme tecniche sulle Costruzioni.*
- ❖ CIRC. MINISTERIALE C.S.LL.PP. del 21 Gennaio 2019, n.7
 - *Istruzioni per l'applicazione dell'Aggiornamento delle "Norme Tecniche per le Costruzioni" di cui al D.M. 17/01/18.*
- ❖ Eurocodice 2 – Progettazione delle strutture in calcestruzzo
 - *UNI EN 1992-1-1:2005 Parte 1-1: Regole generali e regole per gli edifici*
 - *UNI EN 1992-1-2:2004 Parte 1-2: Regole generali – Progettazione strutturale contro l'incendio*
- ❖ Eurocodice 3 – Progettazione delle strutture in acciaio
 - *UNI EN 1993-1-1:2005 Parte 1-1: Regole generali e regole per gli edifici*
- ❖ Eurocodice 7 – Progettazione geotecnica
 - *UNI EN 1997-1:2005 Parte 1: Regole generali*
- ❖ Eurocodice 8 – Progettazione di strutture per la resistenza sismica
 - *UNI EN 1998-1:2005 Parte 1: Regole generali, azioni sismiche e regole per gli edifici*
 - *UNI EN 1998-3:2005 Parte 3: Valutazione ed adeguamento di edifici*

3 DATI DI PROGETTO

Proponente	EN.IT s.r.l.			
Sede legale	Via Antonio Locatelli n.1 37122 Verona (VR) enitsrl@pec.enitspa.it P.IVA 04642500237			
SITO				
Ubicazione	Comune di Ripabottoni (CB) Comune di Sant'Elia a Pianisi (CB) Comune di Monacilioni (CB)			
Uso	Terreno agricolo			
Dati catastali delle WTG		<i>Comune</i>	<i>Foglio</i>	<i>P.IIa</i>
	<i>WTG 1</i>	Ripabottoni	4	96
	<i>WTG 2</i>	Ripabottoni	13	415
	<i>WTG 3</i>	Ripabottoni	14	41
	<i>WTG 4</i>	Sant'Elia a Pianisi	12	26
	<i>WTG 5</i>	Sant'Elia a Pianisi	26	106
	<i>WTG 6</i>	Monacilioni	3	256
	<i>WTG 7</i>	Monacilioni	6	175
	<i>WTG 8</i>	Ripabottoni	33	161
	<i>WTG 9</i>	Ripabottoni	31	531

Proponente	EN.IT s.r.l.					
Localizzazione delle WTG	Geografiche WGS84		WGS84 UTM33T		Quota slm (m)	
	LAT	LONG	E	N		
	WTG 1	41.696433	14.843253	486957.069	4616084.290	796.355
	WTG 2	41.691528	14.8676	488982.148	4615536.322	577.11
	WTG 3	41.689694	14.874267	489536.655	4615331.875	510.177
	WTG 4	41.6567	14.840433	486714.248	4611673.459	683.143
	WTG 5	41.644889	14.845583	487140.695	4610361.396	616.394
	WTG 6	41.651656	14.833939	486172.470	4611114.484	740.872
	WTG 7	41.652128	14.827586	485643.574	4611167.925	802.682
	WTG 8	41.660642	14.815628	484649.887	4612115.229	813.565
WTG 9	41.660797	14.797	483099.030	4612135.922	710.328	
DATI TECNICI						
Potenza nominale	54 MW					
Tipo di intervento richiesto:	Nuovo impianto			SI		
	Trasformazione			SI		
	Ampliamento			NO		
Dati del collegamento elettrico	Descrizione della rete di collegamento			MT neutro isolato		
	Tensione nominale (Un)			Trasporto 30.000 V Consegna 36.000 V		
	Vincoli della Società Distributrice da rispettare			Normativa TERNA		
Misura dell'energia	Contatore proprio nel punto di consegna per misure GSE, UTF. Contatore proprio e UTF sulla MT per la misura della produzione					
Punto di Consegna	Nuova stazione elettrica di trasformazione a 30/36 kV della RTN, da inserire in entra-esce sulla linea a RTN a 150 kV "Morrone – Larino"					

4 CARATTERISTICHE PRINCIPALI

4.1 Localizzazione dell'impianto

Il presente progetto è finalizzato alla costruzione di una centrale eolica per la produzione di energia elettrica da ubicarsi nel Comune di Ripabottoni, Sant'Elia a Pianisi e Monacilioni

con l'installazione delle opere ed infrastrutture connesse (cabina elettrica di consegna, rete elettrica interrata a 30 kV, strade di accesso alle WTG in fase di cantiere e di esercizio).

In particolare, 5 aerogeneratori sorgeranno nel comune di Ripabottoni, 2 aerogeneratori nel comune di Sant'Elia a Pianisi, e 2 aerogeneratori nel comune di Monacilioni.

La centrale eolica catastalmente è così identificabile:

<i>ID</i>	<i>Comune</i>	<i>Foglio</i>	<i>P.lle</i>
WTG 1	Ripabottoni	4	96
WTG 2	Ripabottoni	13	415
WTG 3	Ripabottoni	14	41
WTG 4	Sant'Elia a Pianisi	12	26
WTG 5	Sant'Elia a Pianisi	26	106
WTG 6	Monacilioni	3	256
WTG 7	Monacilioni	6	175
WTG 8	Ripabottoni	33	161
WTG 9	Ripabottoni	31	531

Tabella 1 – Inquadramento particellare delle opere in progetto

Per garantire l'accesso alle WTG saranno realizzate delle nuove strade brecciate ed alcuni adeguamenti alla viabilità esistente. Infine, durante la fase di cantiere saranno realizzate delle strade e delle piazzole temporanee.

La viabilità da realizzare ed utilizzare potrebbe dimostrarsi impegnativa e dunque al fine di ottimizzare la realizzazione del progetto si è pensato di portare avanti due possibili soluzioni progettuali.

Facendo riferimento agli elaborati grafici di inquadramento allegati, segue una tabella con indicazione delle coordinate (UTM/WGS84 - Fuso 33) e dimensioni verticali degli aerogeneratori che costituiscono l'impianto eolico:

	<i>Altezza mozzo (m)</i>	<i>Diametro rotore (m)</i>	<i>Potenza (MW)</i>	<i>Nord</i>	<i>Est</i>	<i>Quota slm (m)</i>
WTG1	148	150	6.00	41° 41' 47.16" N	14° 50' 35.71" E	796.355
WTG2	148	150	6.00	41° 41' 29.50"	14° 52' 3.36"	577.11
WTG 3	148	150	6.00	41° 41' 22.90"	14° 52' 27.36"	510.177
WTG4	148	150	6.00	41° 39' 2 4.12"	14° 50' 25.56"	683.143

WTG5	148	150	6.00	41° 38' 41.60"	14° 50' 44.10"	616.394
WTG6	148	150	6.00	41° 39' 5.96"	14° 50' 2.18"	740.872
WTG7	148	150	6.00	41° 39' 7.66"	14° 49' 39.31"	802.682
WTG8	148	150	6.00	41° 39' 38.31"	14° 48' 56.26"	813.565
WTG9	148	150	6.00	41° 39' 38.87"	14° 47' 49.20"	710.328

Tabella 2 – Localizzazione e principali caratteristiche degli aerogeneratori

A seguire un inquadramento del layout dell'impianto, in cui sono mostrate le posizioni degli aerogeneratori.

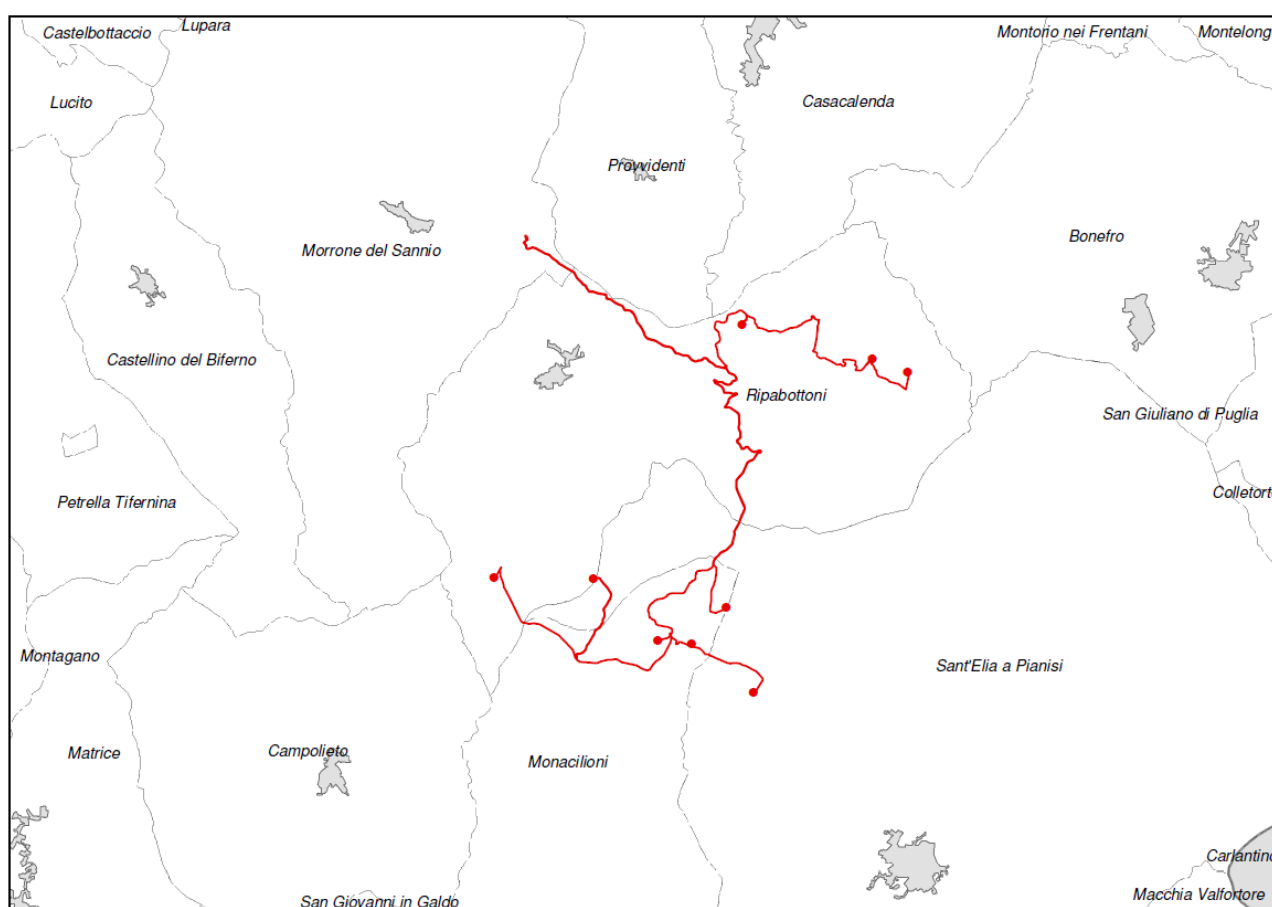


Figura 2 – Inquadramento dell'impianto eolico su confini comunali

5 PROGETTO DELL'OPERA

5.1 Caratteristiche generali della centrale eolica

La potenza installabile, considerando l'impianto composto da 9 macchine con potenza di 6 MW, 4. Il sistema, quindi, sarà composto dai seguenti elementi principali:

- ❖ Vani tecnici di trasformazione interni alle torri,

- ❖ Quadri elettrici MT,
- ❖ Cabina di consegna.

Per la sua realizzazione sono quindi da prevedersi le seguenti opere ed infrastrutture:

Opere Civili:

- ❖ Realizzazione della viabilità di servizio interna all'impianto;
- ❖ Adeguamento/ampliamento della rete viaria esistente nel sito
- ❖ Realizzazioni dei cavidotti di utenza e di connessione;
- ❖ Esecuzione dei plinti di fondazione delle macchine eoliche;
- ❖ Realizzazione delle piazzole degli aerogeneratori;
- ❖ Posa in opera della cabina di consegna alla rete AT di Terna.



Figura 3 – Esempio di installazione di turbina eolica

Opere impiantistiche:

- ❖ Installazione degli aerogeneratori;
- ❖ Esecuzione dei collegamenti elettrici in cavidotti interrati tra i singoli aerogeneratori e tra gli aerogeneratori e la cabina di consegna dell'energia elettrica prodotta.

5.2 Soluzione di connessione

Lo schema di allacciamento alla RTN prevede la realizzazione di una cabina di Consegna collegata in antenna a 36 kV con una nuova stazione elettrica di trasformazione 150 / 36 kV della RTN, da inserire in entra-esce sulla linea RTN a 150 kV “Morrone- Larino”.

5.3 Tipologia di aerogeneratore

Gli aerogeneratori costituenti il parco eolico in oggetto hanno tutti lo stesso numero di pale (tre), la stessa altezza e il medesimo senso di rotazione. La scelta del modello di aerogeneratore da acquistarsi sarà effettuata dopo l'ottenimento della Autorizzazione Unica, per mezzo di procedura competitiva negoziata o di gara Europea.

Non è infatti possibile né sensato scegliere oggi il modello esatto di aerogeneratore, in considerazione dei seguenti fattori:

- la politica aziendale del Proponente impone di scegliere i fornitori sul mercato tramite selezioni competitive o gare;
- la innovazione tecnologica del settore è tale che nell'arco di 1-2 anni molti modelli usciranno dal mercato a vantaggio di nuovi modelli più efficienti;
- la innovazione di processo è tale che ogni anno si assiste ad una diminuzione di prezzo a parità di prestazione; scegliere perciò il modello oggi implicherebbe la rinuncia a godere del risparmio economico ottenibile fra qualche anno;

Alla luce di ciò, per redigere il Progetto è stato perciò scelto un "Aerogeneratore di Progetto". Il tipo di turbina utilizzato è la **Vestas V150** con altezza del mozzo di 148 metri ed il diametro del rotore di 150 metri ed è contraddistinto dalle seguenti dimensioni e caratteristiche tecniche:

- ❖ Potenza nominale 6 MW
- ❖ Numero di pale 3
- ❖ Diametro rotore 150 m
- ❖ Altezza del mozzo 148 m
- ❖ Velocità del vento di cut-in 3 m/s
- ❖ Velocità del vento di cut-out 25 m/s
- ❖ Generatore Asincrono
- ❖ Tensione 690 V

Ciascuna torre sarà dotata di un proprio trasformatore 30 kV / 690 V, al fine di consentire il trasporto dell'energia verso la cabina utente ad un livello di tensione superiore, minimizzando così le perdite per effetto Joule.

Per l'architettura dell'aerogeneratore e le dimensioni caratteristiche si rimanda all'Elaborato Grafico *2022031_9.12_TipicoAerogeneratore*.

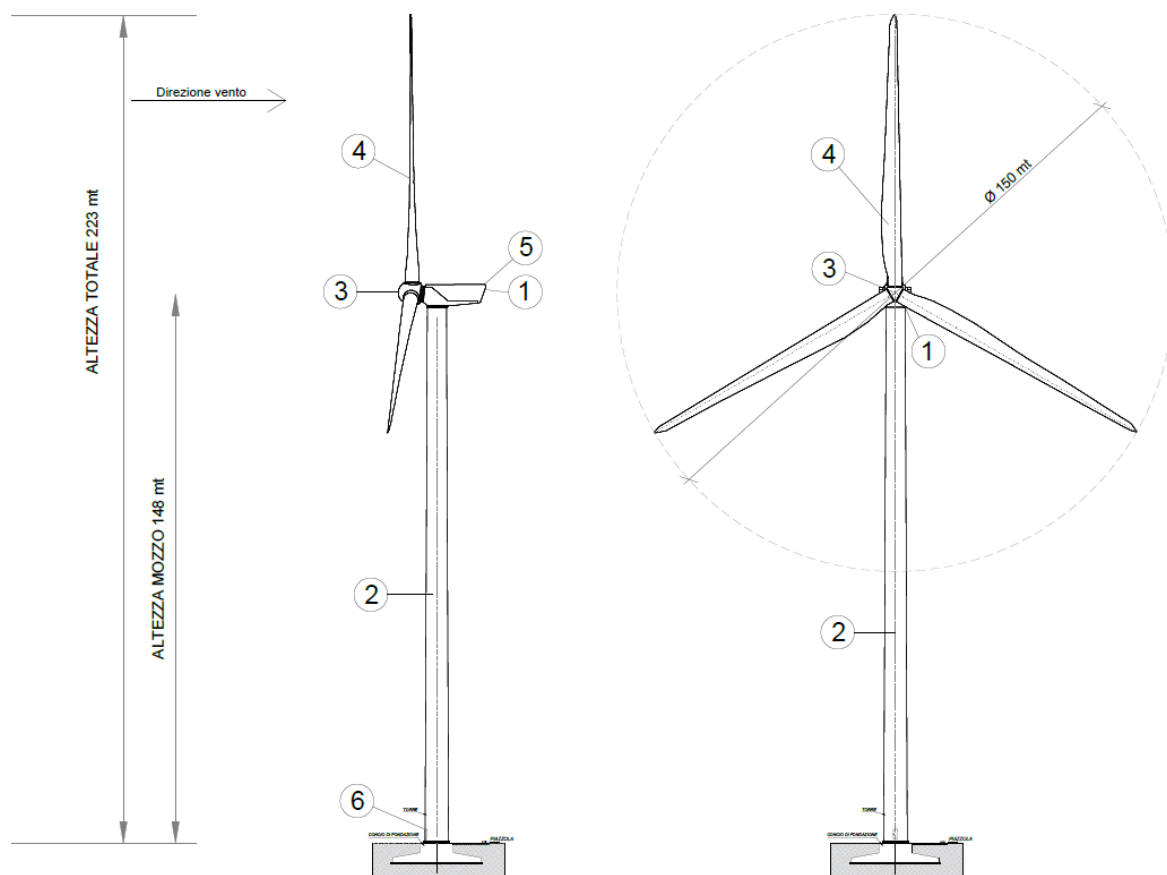


Figura 4 – Tipico dell'aerogeneratore in progetto, con dimensioni di ingombro (2022031_ElaboratoGrafico_9.12)

5.4 Infrastrutture e opere civili

5.4.1 Strade di accesso e viabilità di servizio

Per quanto possibile sarà utilizzata la viabilità già esistente, al fine di minimizzare gli effetti derivanti dalla realizzazione sia delle opere di accesso così come di quelle per l'allacciamento alla rete di trasmissione nazionale. La creazione di nuove strade è limitata alle zone dove non è presente alcun tipo di viabilità fruibile e/o adeguabile, portando allo sviluppo della nuova viabilità di accesso tra le strade esistenti e/o adeguate e le piazzole di servizio degli aerogeneratori. Nel caso di adeguamento di strade esistenti e/o di creazione di strade nuove, la larghezza normale della strada in rettilineo fra i cigli estremi (cunette escluse) sarà fissata in almeno 5 m.

La viabilità di servizio, come detto, cerca di ripercorrere il più possibile la viabilità esistente e i collegamenti tra le singole parti dell'impianto saranno fatti in modo da non determinare un consumo di suolo, ripercorrendo i confini catastali.

L'attuale ipotesi di ubicazione degli aerogeneratori tiene quindi in debito conto sia delle strade principali di accesso, che delle strade secondarie.

Ove necessario saranno previsti adeguamenti del fondo stradale e/o allargamenti temporanei della sede stradale della viabilità esistente, per tutto il tratto che conduce all'impianto.

In corrispondenza dell'accesso dalla SS e in tutti i tratti di accesso alle turbine, sono stati previsti dei raccordi con lo scopo di rendere il raggio di curvatura idoneo all'accesso dei mezzi eccezionali.

5.4.2 Cavidotti

L'intervento è previsto nei territori dei Ripabottoni, Sant'Elia a Pianisi e Monacilioni (CB) e il punto di allaccio alla rete TERNA è nel comune di Morrone del Sannio (CB). Nell'individuazione del tracciato del cavidotto di connessione alla soluzione individuata dalla STMG, si è cercato di impiegare il medesimo tracciato della viabilità interna per quanto concerne la connessione tra le turbine. Per il tratto di cavidotto di collegamento tra l'impianto e la cabina di sezionamento è stato ipotizzato di seguire la viabilità pubblica, evitare centri abitati e minimizzare l'occupazione di nuovi terreni non interessati da altre opere riguardanti l'impianto.

Le cabine di consegna verranno realizzate nel Comune di Morrone del Sannio e collegate alle cabine di sezionamento e queste all'aerogeneratore più vicino. La distanza tra la cabina di consegna e la cabina di sezionamento più vicina sarà pari a circa 3,7 km in linea d'aria, comporterà la realizzazione di un doppio cavidotto MT di utenza di connessione tra le WTG le tre cabine di sezionamento e il punto di connessione. In particolare, poiché il progetto consta di due STMG, la prima con cod.202001455 da 24 MW e la seconda da 30 MW con cod. 202002222 e date le distanze fra i vari aerogeneratori sono state progettate tre cabine di sezionamento. La cabina di sezionamento A raccoglie le WTG 1,2,3 e 4 per un totale di 24 MW e 15,949 Km di lunghezza di cavidotto. Le cabine di sezionamento B e C collegano le WTG 5,6,7,8 e 9 per una lunghezza di 18,952 Km; la lunghezza complessiva del cavidotto sarà di quasi 35 Km.

Per ottimizzare le opere di scavo e l'occupazione, è stato infatti ipotizzato di impiegare un unico scavo condiviso da più linee fino al punto di connessione; pertanto, i cavidotti saranno caratterizzati da un diverso numero di terne a seconda del tratto considerato.

Sono stati inoltre previsti degli attraversamenti sia di tipo "TOC" che di tipo "a staffaggio" in corrispondenza di corsi d'acqua. L'attraversamento di tipo TOC è una tecnica di trivellazione con controllo attivo della traiettoria, per la posa di infrastrutture sotterranee senza scavo.

5.4.3 Fondazioni aerogeneratore

Dal punto di vista strutturale assume grande rilevanza la struttura di fondazione: esiste una diversa situazione di carichi statici e dinamici sulla fondazione e sull'aerogeneratore, sia per la presenza di una maggiore risorsa eolica in quota, che per una maggiore frequenza di fulminazione. Fondamentale è la scelta del grado di rigidità trasferibile alla fondazione nei confronti di quello dell'aerogeneratore: una rigidità troppo elevata, può indurre vincoli al comportamento dell'aerogeneratore, mentre un assetto troppo elastico potrebbe abbassare la frequenza naturale del complesso a valori non corretti per la stabilità.

5.4.4 Piazzole aerogeneratore

In fase di cantiere e di realizzazione dell'impianto sarà necessario approntare delle piazzole di montaggio degli aerogeneratori, prossime a ciascuna fondazione, dedicate al posizionamento delle gru ed al montaggio di ognuno dei n.9 aerogeneratori costituenti il parco eolico.

Per impostare correttamente la progettazione delle piazzole si è analizzato nel dettaglio i pesi e le dimensioni di ogni componente dei potenziali modelli di aerogeneratore da utilizzare, le tipologie e dimensioni di gru necessarie e conseguenti dimensioni minime necessarie per le piazzole.

Nello specifico le piazzole di cantiere sono state dimensionate per consentire l'utilizzo di una gru tralicciata, la quale oltre la piazzola di montaggio, necessita di una pista di 120 metri circa, rettilinea e planare e contigua alla piazzola, sulla quale distendere il braccio tralicciato per effettuarne il montaggio, e di un ulteriore piccola piazzola su cui posizionare 2 autogrù secondarie necessarie al montaggio e sollevamento del braccio.

Le piazzole di montaggio così definite, da installarsi in aree non pianeggianti, verranno realizzate con piani di posa adattati alle pendenze del terreno di ciascuna piazzola con l'obiettivo di minimizzare i movimenti terra (sterri e rilevati) necessari per la realizzazione delle stesse.

Sono state ipotizzate due tipologie di piazzola di montaggio, con stoccaggio parziale e assemblaggio in due fasi e con stoccaggio totale e assemblaggio in una fase. La scelta tra le due tipologie di montaggio sarà effettuata in fase di progettazione esecutiva e gli elaborati del presente progetto, nonché il piano particellare di esproprio sono stati redatti in via prudenziale nell'ipotesi di ingombro massimo (stoccaggio totale e assemblaggio in una fase).

Le dimensioni della piazzola di montaggio sono state fissate in relazione alle specifiche tecniche della turbina. Tali dimensioni sono suddivise in zone dedicate allo stoccaggio pale, zone a 2 kg/cm^2 e zone a 3 kg/cm^2 , caratterizzazione derivante dalla differente capacità portante del terreno e dal differente impiego dello stesso tra movimentazioni dei materiali e stoccaggio e zona di installazione della gru principale.

Al termine dei lavori, saranno rimosse le piazzole di montaggio e mantenute solo quelle di tipo definitivo, finalizzate a garantire la gestione e manutenzione dell'impianto durante la vita utile.

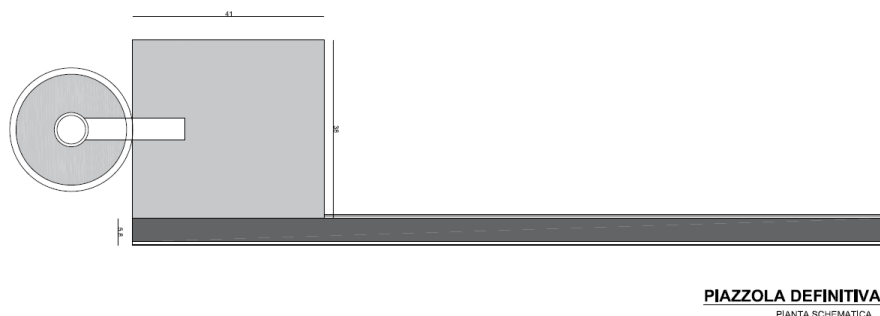


Figura 5 – Piazzola permanente tipo

6 VIABILITÀ E AREE DI LAVORO

Viabilità

Le piste di nuova realizzazione, ove necessarie per il raggiungimento delle postazioni di installazione degli aerogeneratori a partire dalla viabilità esistente, saranno realizzate in maniera tale da minimizzare l'occupazione territoriale e garantirne il consueto impiego del suolo, in considerazione dei requisiti tecnici minimi richiesti dai trasporti eccezionali. È da evidenziare che l'area di impianto è servita da viabilità interpoderale articolata, la cui estensione e ramificazione è tale da rendere necessaria la realizzazione di tratti limitati di nuova viabilità.

Dette piste:

- ❖ avranno ampiezza minima di 5 m, e raggio interno di curvatura minimo di 60 m;
- ❖ avranno pendenze e inclinazioni laterali idonee al progetto: il manto stradale dovrà essere piano visto che alcuni autocarri hanno una luce libera da terra di soli 10 cm.

Il manto stradale sarà costituito da macadam (sistema di pavimentazione stradale costituito da pietrisco che, misto a sabbia e acqua, è spianato da un rullo compressore). Tutti gli strati dovranno essere opportunamente compattati per evitare problemi al transito di autocarri con carichi pesanti. Le strade interne di servizio saranno realizzate su una fondazione stradale in materiale legante misto di cava, previo lo scavo o la scarifica e sovrapponendo uno strato successivo di materiale misto granulare stabilizzato e successivo compattamento con pendenza verso i margini di circa il 2%.

Il pacchetto stradale sarà costituito da massicciata stradale, di spessore non inferiore a cm. 40, e sovrastante strato di misto granulare stabilizzato, dello spessore non inferiore a cm. 10.

Le fasi di realizzazione delle piste vedranno:

- ❖ la rimozione dello strato di terreno vegetale;
- ❖ la predisposizione delle trincee e delle tubazioni necessari al passaggio dei cavi MT, dei cavi per la protezione di terra e delle fibre ottiche per il controllo degli aerogeneratori;
- ❖ il riempimento delle trincee;
- ❖ la realizzazione dello strato di fondazione;
- ❖ la realizzazione dei fossi di guardia e predisposizione delle opere idrauliche per il drenaggio della strada e dei terreni circostanti;
- ❖ la realizzazione dello strato di finitura.

L'area di interesse, in riferimento all'andamento del profilo orografico, è tale da non richiedere sbancamenti o riporti di materiale di grossa entità.

Aree di lavoro

Intorno a ciascuna delle torri sarà realizzato un piazzale per il lavoro delle gru durante la fase di installazione degli aerogeneratori. Tale area sarà realizzata mediante livellamento del terreno effettuato con piccoli scavi e riporti, più o meno accentuati a seconda dell'orografia del terreno e compattando la superficie interessata in modo tale da renderla

idonea alle lavorazioni. Essa risulterà perfettamente livellata, con una pendenza massima di +/-100 mm. Inoltre, per evitare che l'aerogeneratore si sporchi nella fase di montaggio si compatterà e ricoprirà di ghiaietto il terreno per mantenere la superficie del piazzale asciutta e pulita.

Per approfondimenti, si rimanda alla trattazione specialistica contenuta nelle relazioni e negli elaborati grafici di progetto.

6.1.1 Trasporto dei componenti di impianto

Durante la realizzazione dell'opera vari tipi di automezzi avranno accesso al cantiere:

- ❖ automezzi speciali utilizzati per il trasporto delle torri, delle navicelle, delle pale del rotore;
- ❖ betoniere per il trasporto del cemento;
- ❖ camion per il trasporto dei trasformatori elettrici e di altri componenti dell'impianto di distribuzione elettrica;
- ❖ altri mezzi di dimensioni minori per il trasporto di attrezzature e maestranze;
- ❖ le due autogrù quella principale e quella ausiliaria necessarie per il montaggio delle torri e degli aerogeneratori.

Le gru stazioneranno in cantiere per tutto il tempo necessario ad erigere le torri e a installare gli aerogeneratori, e saranno locate nelle aree di lavoro preposte nei luoghi in cui saranno installati gli aerogeneratori.

L'utilizzo previsto di mezzi di trasporto speciale con ruote posteriori del rimorchio manovrabili e sterzanti permetterà l'accesso a strade di ampiezza minima pari a 5m.

Saranno possibili nell'ultimo tratto percorsi alternativi allo scopo di evitare particolari rallentamenti del traffico ordinario. Qualora si abbiano danni alle sedi viarie durante la realizzazione dell'opera è previsto il ripristino delle strade eventualmente danneggiate.

7 CALCOLI PRELIMINARI STRUTTURE

7.1 Descrizione generale dell'opera

Nei paragrafi che seguono è illustrato il metodo di calcolo delle fondazioni di una torre rappresentativa del parco eolico, avente un'altezza al mozzo di 148 m ed un diametro del rotore di 150 m.

Le torri saranno realizzate in acciaio, mentre le fondazioni saranno in cemento armato del tipo indiretto, con platea di fondazione su pali, e saranno progettate secondo il D.M. 17/01/2018.

Il progetto tiene conto di quanto riportato nella relazione geologica redatta dal Dott. Geol. L. Casoli, allegata al progetto definitivo del parco eolico, con l'accortezza di operare "a vantaggio di sicurezza", trattandosi di un calcolo di predimensionamento.

Per la determinazione dei carichi massimi scaricati in fondazione si è fatto riferimento alla documentazione fornita dal produttore sulla base delle sollecitazioni massime previste dalle norme IEC 61400.

Prima della effettiva realizzazione delle opere sarà redatto il progetto esecutivo strutturale che sarà depositato presso l'Ufficio del Genio Civile ai sensi dell'art. 93 dle D.P.R. n. 380/2001 (ex art. 17 della Legge 02/02/1974, n. 64) e richiesta l'autorizzazione alla realizzazione dei lavori ai sensi dell'art. 94 del D.P.R. n. 380/2001 (ex art. 18 della Legge 02/02/1974, n. 64).

Per una immediata comprensione delle condizioni sismiche, si riporta la seguente:

Vita nominale	50
Classe d'uso	2
Categoria del suolo	C
Latitudine del sito oggetto di edificazione	41,702514
Longitudine del sito oggetto di edificazione	14,858742

Tabella 3 – Riepilogo parametri sismici

La fondazione sarà diretta a plinto (platea) circolare del diametro di 30,00 m, su n. 10 pali del diametro di 1,20 m e lunghezza di 22,00 m. Il plinto sarà composto da un anello esterno a sezione tronco conica di altezza variabile tra 150 cm e 310 cm e da un nucleo centrale cilindrico del diametro di 6,00 m e di altezza pari a 3,50 m.

All'interno del nucleo centrale saranno annegati i tiranti di collegamento della torre alle fondazioni, eseguito a mezzo di flange serrate con bulloni.

I pali di fondazione saranno posti ad una distanza di 13,50 m dal centro del plinto e saranno equidistanti tra loro.

Prima della posa dell'armatura del plinto sarà gettato un magrone di fondazione di altezza non inferiore a 15 cm.

Il calcestruzzo utilizzato avrà classe di resistenza C30/37 e classe di esposizione XC4, mentre gli acciai saranno in barre del tipo B450C.

Il plinto sarà ricoperto da uno strato di terreno proveniente dagli scavi, allo scopo di realizzare un appesantimento dello stesso per contrastare le forze ribaltanti scaricate dalla torre.

7.2 Misura della sicurezza

Il metodo di verifica della sicurezza adottato è quello degli Stati Limite (SL) che prevede due insiemi di verifiche rispettivamente per gli stati limite ultimi S.L.U. e gli stati limite di esercizio S.L.E.. La sicurezza viene quindi garantita progettando i vari elementi resistenti in modo da assicurare che la loro resistenza di calcolo sia sempre maggiore della corrispondente domanda in termini di azioni di calcolo.

Le norme precisano che la sicurezza e le prestazioni di una struttura o di una parte di essa devono essere valutate in relazione all'insieme degli stati limite che verosimilmente si possono verificare durante la vita normale.

Prescrivono inoltre che debba essere assicurata una robustezza nei confronti di azioni eccezionali. Le prestazioni della struttura e la vita nominale sono riportati nei successivi tabulati di calcolo della struttura.

La sicurezza e le prestazioni saranno garantite verificando gli opportuni stati limite definiti di concerto al Committente in funzione dell'utilizzo della struttura, della sua vita nominale e di quanto stabilito dalle norme di cui al D.M. 17/01/2018 e successive modifiche ed integrazioni.

In particolare, si è verificata:

- ❖ la sicurezza nei riguardi degli stati limite ultimi (S.L.U.) che possono provocare eccessive deformazioni permanenti, crolli parziali o globali, dissesti, che possono compromettere l'incolumità delle persone e/o la perdita di beni, provocare danni ambientali e sociali, mettere fuori servizio l'opera. Per le verifiche sono stati utilizzati i coefficienti parziali relativi alle azioni ed alle resistenze dei materiali in accordo a quanto previsto dal D.M. 17/01/2018 per i vari tipi di materiale.
- ❖ la sicurezza nei riguardi degli stati limite di esercizio (S.L.E.) che possono limitare nell'uso e nella durata l'utilizzo della struttura per le azioni di esercizio.
- ❖ la sicurezza nei riguardi dello stato limite del danno (S.L.D.) causato da azioni sismiche con opportuni periodi di ritorno ed alle norme vigenti per le costruzioni in zona sismica;
- ❖ robustezza nei confronti di opportune azioni accidentali in modo da evitare danni sproporzionati in caso di incendi, urti, esplosioni, errori umani;
- ❖ Per quando riguarda le fasi costruttive intermedie la struttura non risulta cimentata in maniera più gravosa della fase finale.

7.3 Modelli di calcolo

Si sono utilizzati come modelli di calcolo quelli esplicitamente richiamati nel D.M. 17/01/2018.

Per quanto riguarda le azioni sismiche ed in particolare per la determinazione del fattore di struttura, dei dettagli costruttivi e le prestazioni sia agli S.L.U. che allo S.L.D. si fa riferimento al D.M. 17/01/18 e alla circolare del Ministero delle Infrastrutture e dei Trasporti del 2 febbraio 2009, n. 617 la quale è stata utilizzata come norma di dettaglio.

Per le verifiche sezionali i legami utilizzati sono:

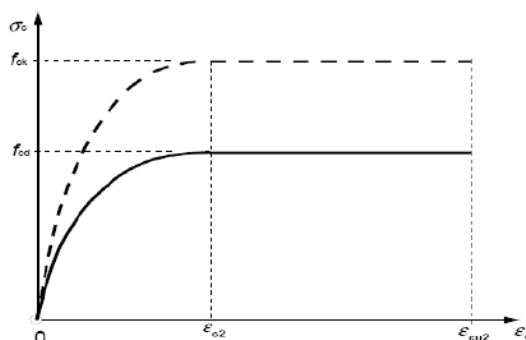


Figura 6 – Legame costitutivo di progetto parabola-rettangolo per il calcestruzzo

Il valore ϵ_{cu2} nel caso di analisi non lineari sarà valutato in funzione dell'effettivo grado di confinamento esercitato dalle staffe sul nucleo di calcestruzzo.

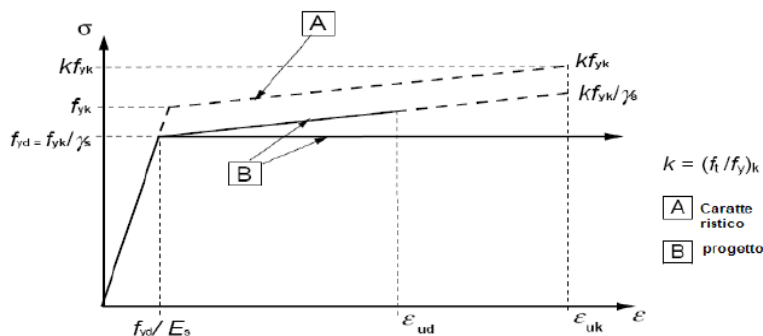


Figura 7 – Legame costitutivo di progetto elastico perfettamente plastico o incrudente a duttilità limitata per l'acciaio.

8 AZIONI SULLE COSTRUZIONI

8.1.1 Azioni ambientali e naturali

Le prestazioni attese nei confronti delle azioni sismiche saranno verificate agli stati limite, sia di esercizio che ultimi individuati riferendosi alle prestazioni della costruzione nel suo complesso, includendo gli elementi strutturali, quelli non strutturali e gli impianti.

Gli stati limite di esercizio sono:

- ❖ Stato Limite di Operatività (S.L.O.)
- ❖ Stato Limite di Danno (S.L.D.)

Gli stati limite ultimi sono:

- ❖ Stato Limite di salvaguardia della Vita (S.L.V.)
- ❖ Stato Limite di prevenzione del Collasso (S.L.C.)

Le probabilità di superamento nel periodo di riferimento P_{VR} , cui riferirsi per individuare l'azione sismica agente in ciascuno degli stati limite considerati, sono riportate nella successiva tabella:

Stati Limite P_{VR} :		Probabilità di superamento nel periodo di riferimento V_R
Stati limite di esercizio	SLO	81%
	SLD	63%
Stati limite ultimi	SLV	10%
	SLC	5%

Tabella 4 – NTC 2018, Tab. 3.2.I, Probabilità di superamento P_{VR} in funzione dello stato limite considerato

Per la definizione delle forme spettrali (spettri elastici e spettri di progetto), in conformità ai dettami del D.M. 17/01/2018 § 3.2.3. sono stati definiti i seguenti termini:

- ❖ Vita Nominale del fabbricato;
- ❖ Classe d'Uso del fabbricato;
- ❖ Categoria del Suolo;
- ❖ Coefficiente Topografico;
- ❖ Latitudine e Longitudine del sito oggetto di edificazione.

Inoltre, le verifiche delle prestazioni saranno effettuate per le azioni derivanti dalla neve, dal vento e dalla temperatura secondo quanto previsto dal cap. 3 del D.M. 17/01/18 e della Circolare del Ministero delle Infrastrutture e dei Trasporti del 2 febbraio 2009 n. 617 per un periodo di ritorno coerente alla classe della struttura ed alla sua vita utile.

8.1.2 Destinazioni d'uso e sovraccarichi per le azioni antropiche

Per la determinazione dell'entità e della distribuzione spaziale e temporale dei sovraccarichi variabili si farà riferimento alla tabella del D.M. 17/01/2018 in funzione della destinazione d'uso.

I carichi variabili comprendono i carichi legati alla destinazione d'uso dell'opera; i modelli di tali azioni possono essere costituiti da:

- ❖ carichi verticali uniformemente distribuiti q_k [kN/m²]
- ❖ carichi verticali concentrati Q_k [kN]
- ❖ carichi orizzontali lineari H_k [kN/m]

Categ.	Ambienti	q_k [kN/m ²]	Q_k [kN]	H_k [kN/m]
A	Ambienti ad uso residenziale. Sono compresi in questa categoria i locali di abitazione e relativi servizi, gli alberghi (ad esclusione delle aree suscettibili di affollamento)	2,00	2,00	1,00
B	Uffici. Cat. B1 – Uffici non aperti al pubblico Cat. B2 – Uffici aperti al pubblico	2,00 3,00	2,00 2,00	1,00 1,00
C	Ambienti suscettibili di affollamento. Cat. C1 – Ospedali, ristoranti, caffè, banche, scuole Cat. C2 – Balconi, ballatoi e scale comuni, sale convegni, cinema, teatri, chiese, tribune con posti fissi Cat. C3 – Ambienti privi di ostacoli per il libero movimento delle persone, quali musei, sale per esposizioni, stazioni ferroviarie, sale da ballo, palestre, tribune libere, edifici per eventi pubblici, sale da concerto, palazzetti per lo sporte relative tribune	3,00 4,00 5,00	2,00 4,00 5,00	1,00 2,00 3,00
D	Ambienti ad uso commerciale. Cat. D1 – Negozi Cat. D2 – Centri commerciali, mercati, grandi magazzini, librerie	4,00 5,00	4,00 5,00	2,00 2,00
E	Biblioteche, archivi, magazzini e ambienti ad uso industriale. Cat. E1 – Biblioteche, archivi, magazzini, depositi, laboratori manifatturieri Cat. E2 – Ambienti ad uso industriale, da valutarsi caso per caso	> 6,00 -	6,00 -	1,00* -
F – G	Rimesse e parcheggi. Cat. F – Rimesse e parcheggi per il transito di automezzi di peso a pieno carico fino a 30 kN Cat. G – Rimesse e parcheggi per il transito di automezzi di peso a pieno carico superiore a 30 kN, da valutarsi caso per caso	2,50 -	2 x 10,00 -	1,00** -
H	Coperture e sottotetti. Cat. H1 – Coperture e sottotetti accessibili per sola manutenzione Cat. H2 – Coperture praticabili Cat. H3 – Coperture speciali (impianti, eliporti, altri) da valutarsi caso per caso	0,50 - -	1,20 - -	1,00 - -

* non comprende le azioni orizzontali eventualmente esercitate dai materiali immagazzinati
** per i soli parapetti o partizioni nelle zone pedonali. Le azioni sulle barriere esercitate dagli automezzi dovranno essere valutate caso per caso

Tabella 5 – NTC 2018, Tab. 3.2.II, Valori dei carichi d'esercizio per le diverse categorie di edifici

I valori nominali e/o caratteristici q_k , Q_k ed H_k di riferimento sono riportati nella Tab. 3.1.II. delle N.T.C. 2018. In presenza di carichi verticali concentrati Q_k essi sono stati applicati su impronte di carico appropriate all'utilizzo ed alla forma dello orizzontamento.

In particolare, si considera una forma dell'impronta di carico quadrata pari a 50 x 50 mm, salvo che per le rimesse ed i parcheggi, per i quali i carichi si sono applicano su due impronte di 200 x 200 mm, distanti assialmente di 1,80 m.

8.1.3 Azione sismica

Ai fini delle N.T.C. 2018 l'azione sismica è caratterizzata da 3 componenti traslazionali, due orizzontali contrassegnate da X e Y ed una verticale contrassegnata da Z, da considerare tra di loro indipendenti.

Le componenti possono essere descritte, in funzione del tipo di analisi adottata, mediante una delle seguenti rappresentazioni:

- ❖ accelerazione massima attesa in superficie;
- ❖ accelerazione massima e relativo spettro di risposta attesi in superficie;
- ❖ accelerogramma.

l'azione in superficie è stata assunta come agente su tali piani.

Le due componenti ortogonali indipendenti che descrivono il moto orizzontale sono caratterizzate dallo stesso spettro di risposta. L'accelerazione massima e lo spettro di risposta della componente verticale attesa in superficie sono determinati sulla base dell'accelerazione massima e dello spettro di risposta delle due componenti orizzontali.

In allegato alle N.T.C. 2018, per tutti i siti considerati, sono forniti i valori dei precedenti parametri di pericolosità sismica necessari per la determinazione delle azioni sismiche.

8.1.4 Azioni dovute al vento

Le azioni del vento sono state determinate in conformità al §3.3 del D.M. 17/01/18 e della Circolare del Ministero delle Infrastrutture e dei Trasporti del 2 febbraio 2009 n. 617. Si precisa che tali azioni hanno valenza significativa in caso di strutture di elevata snellezza e con determinate caratteristiche tipologiche come, ad esempio, le strutture in acciaio.

8.1.5 Neve

Il carico provocato dalla neve sulle coperture, ove presente, è stato valutato mediante la seguente espressione di normativa:

$$q_s = \mu_i \times q_{sk} \times C_E \times C_t \quad (\text{Cfr. §3.3.7})$$

in cui si ha:

q_s = carico neve sulla copertura;

μ_i = coefficiente di forma della copertura, fornito al (Cfr.§ 3.4.5);

q_{sk} = valore caratteristico di riferimento del carico neve al suolo [kN/m²], fornito al (Cfr.§ 3.4.2) delle N.T.C. 2018 per un periodo di ritorno di 50 anni;

C_E = coefficiente di esposizione di cui al (Cfr.§ 3.4.3);

C_t = coefficiente termico di cui al (Cfr. § 3.4.4).

8.1.6 Azioni antropiche e pesi propri

Nel caso delle spinte del terrapieno sulle pareti di cantinato (ove questo fosse presente), in sede di valutazione di tali carichi, (a condizione che non ci sia grossa variabilità dei parametri geotecnici dei vari strati così come individuati nella relazione geologica), è stata adottata una sola tipologia di terreno ai soli fini della definizione dei lati di spinta e/o di eventuali sovraccarichi.

8.1.7 Combinazioni di calcolo

Le combinazioni di calcolo considerate sono quelle previste dal D.M. 17/01/2018 per i vari stati limite e per le varie azioni e tipologie costruttive.

In particolare, ai fini delle verifiche degli stati limite si definiscono le seguenti combinazioni delle azioni per cui si rimanda al § 2.5.3 delle N.T.C. 2018. Queste sono:

- ❖ Combinazione fondamentale, generalmente impiegata per gli stati limite ultimi (S.L.U.) (2.5.1);
- ❖ Combinazione caratteristica (rara), generalmente impiegata per gli stati limite di esercizio (S.L.E.) irreversibili, da utilizzarsi nelle verifiche alle tensioni ammissibili di cui al § 2.7 (2.5.2);
- ❖ Combinazione frequente, generalmente impiegata per gli stati limite di esercizio (S.L.E.) reversibili (2.5.3);
- ❖ Combinazione quasi permanente (S.L.E.), generalmente impiegata per gli effetti a lungo termine (2.5.4);
- ❖ Combinazione sismica, impiegata per gli stati limite ultimi e di esercizio connessi all'azione sismica E (v. § 3.2 form. 2.5.5);
- ❖ Combinazione eccezionale, impiegata per gli stati limite ultimi connessi alle azioni eccezionali di progetto Ad (v. § 3.6 form. 2.5.6).

Nelle combinazioni per S.L.E., si intende che vengono omessi i carichi Q_{kj} che danno un contributo favorevole ai fini delle verifiche e, se del caso, i carichi G_2 .

Altre combinazioni sono da considerare in funzione di specifici aspetti (p. es. fatica, ecc.). Nelle formule sopra riportate il simbolo + vuol dire "combinato con".

I valori dei coefficienti parziali di sicurezza g_{Gi} e g_{Qj} sono dati in § 2.6.1, Tab. 2.6.1.

Nel caso delle costruzioni civili e industriali le verifiche agli stati limite ultimi o di esercizio devono essere effettuate per la combinazione dell'azione sismica con le altre azioni già fornita in § 2.5.3 form. 3.2.16 delle N.T.C. 2018.

Gli effetti dell'azione sismica saranno valutati tenendo conto delle masse associate ai carichi gravitazionali (form. 3.2.17).

I valori dei coefficienti γ_2 γ_j sono riportati nella Tabella 2.5.1..

La struttura deve essere progettata così che il degrado nel corso della sua vita nominale, purché si adotti la normale manutenzione ordinaria, non pregiudichi le sue prestazioni in

termini di resistenza, stabilità e funzionalità, portandole al di sotto del livello richiesto dalle presenti norme.

Le misure di protezione contro l'eccessivo degrado devono essere stabilite con riferimento alle previste condizioni ambientali.

La protezione contro l'eccessivo degrado deve essere ottenuta attraverso un'opportuna scelta dei dettagli, dei materiali e delle dimensioni strutturali, con l'eventuale applicazione di sostanze o ricoprimenti protettivi, nonché con l'adozione di altre misure di protezione attiva o passiva.

8.1.1 Combinazioni delle azioni sulla costruzione

Le azioni definite come al § 2.5.1 delle N.T.C. 2018 sono state combinate in accordo a quanto definito al § 2.5.3. applicando i coefficienti di combinazione come di seguito definiti:

Categoria/Azione variabile	ψ_{0j}	ψ_{1j}	ψ_{2j}
Categoria A Ambienti ad uso residenziale	0,7	0,5	0,3
Categoria B Uffici	0,7	0,5	0,3
Categoria C Ambienti suscettibili di affollamento	0,7	0,7	0,6
Categoria D Ambienti ad uso commerciale	0,7	0,7	0,6
Categoria E Biblioteche, archivi, magazzini e ambienti ad uso industriale	1,0	0,9	0,8
Categoria F Rimesse e parcheggi (per autoveicoli di peso ≤ 30 kN)	0,7	0,7	0,6
Categoria G Rimesse e parcheggi (per autoveicoli di peso > 30 kN)	0,7	0,5	0,3
Categoria H Coperture	0,0	0,0	0,0
Vento	0,6	0,2	0,0
Neve (a quota ≤ 1000 m s.l.m.)	0,5	0,2	0,0
Neve (a quota > 1000 m s.l.m.)	0,7	0,5	0,2
Variazioni termiche	0,6	0,5	0,0

Tabella 6 – NTC 2018, Tab. 2.5.1, Valori dei coefficienti di combinazione

I valori dei coefficienti parziali di sicurezza γ_G e γ_Q utilizzati nelle calcolazioni sono dati nelle N.T.C. 2018 in § 2.6.1, Tab. 2.6.1.

8.2 Tolleranze

Nelle calcolazioni si è fatto riferimento ai valori nominali delle grandezze geometriche ipotizzando che le tolleranze ammesse in fase di realizzazione siano conformi alle euronorme EN 1992-1991-EN206 - EN 1992-2005:

- ❖ Copriferro – 5 mm (EC2 4.4.1.3)
- ❖ Per dimensioni ≤ 150 mm ± 5 mm
- ❖ Per dimensioni ≤ 400 mm ± 15 mm
- ❖ Per dimensioni ≥ 2500 mm ± 30 mm

Per i valori intermedi interpolare linearmente.

8.3 Durabilità

Per garantire la durabilità della struttura sono state prese in considerazione opportuni stati limite di esercizio (S.L.E.) in funzione dell'uso e dell'ambiente in cui la struttura dovrà vivere limitando sia gli stati tensionali che nel caso delle opere in calcestruzzo anche l'ampiezza delle fessure.

Inoltre, per garantire la durabilità, così come tutte le prestazioni attese, è necessario che si ponga adeguata cura sia nell'esecuzione che nella manutenzione e gestione della struttura e si utilizzino tutti gli accorgimenti utili alla conservazione delle caratteristiche fisiche e dinamiche dei materiali e delle strutture. La qualità dei materiali e le dimensioni degli elementi sono coerenti con tali obiettivi.

Durante le fasi di costruzione il direttore dei lavori implementerà severe procedure di controllo sulla qualità dei materiali, sulle metodologie di lavorazione e sulla conformità delle opere eseguite al progetto esecutivo nonché alle prescrizioni contenute nelle "Norme Tecniche per le Costruzioni" D.M. 17/01/2018 e relative Istruzioni.

8.4 Prestazioni attese al collaudo

La struttura a collaudo dovrà essere conforme alle tolleranze dimensionali prescritte nella presente relazione, inoltre relativamente alle prestazioni attese esse dovranno essere quelle di cui al § 9 del D.M. 17/01/2018.

Ai fini della verifica delle prestazioni il collaudatore farà riferimento ai valori di tensioni, deformazioni e spostamenti desumibili dall'allegato fascicolo dei calcoli statici per il valore delle azioni pari a quelle di esercizio.

9 CODICE DI CALCOLO IMPIEGATO AI SENSI DEL PUNTO 10.2 DEL D.M. 17/01/2018

9.1.1 Tipo di analisi svolta

L'analisi per le combinazioni delle azioni permanenti e variabili è stata condotta in regime elastico lineare.

Per quanto riguarda le azioni sismiche, tenendo conto che per la tipologia strutturale in esame possono essere significativi i modi superiori, si è optato per l'analisi modale con spettro di risposta di progetto e fattore di comportamento. La scelta è stata anche dettata dal fatto che tale tipo di analisi è nelle NTC2018 indicata come l'analisi di riferimento che può essere utilizzata senza limitazione di sorta. Nelle analisi sono state considerate le eccentricità accidentali pari al 5% della dimensione della struttura nella direzione trasversale al sisma.

La struttura è stata modellata con il metodo degli elementi finiti utilizzando vari elementi di libreria specializzati per schematizzare i vari elementi strutturali.

Per gli elementi strutturali bidimensionali (pareti a taglio, setti, nuclei irrigidenti, piastre o superfici generiche) è stato utilizzato un modello finito a 3 o 4 nodi di tipo shell che modella sia il comportamento membranale (lastra) che flessionale (piastra). Tale elemento finito di tipo isoparametrico è stato modellato con funzioni di forma di tipo polinomiale che rappresentano una soluzione congruente ma non esatta nello spirito del metodo FEM. Per questo tipo di elementi finiti la precisione dei risultati ottenuti dipende dalla forma e densità

della MESH. Il metodo è efficiente per il calcolo degli spostamenti nodali ed è sempre rispettoso dell'equilibrio a livello nodale con le azioni esterne.

Nel modello sono stati tenuti in conto i disassamenti tra i vari elementi strutturali schematizzandoli come vincoli cinematici rigidi. La presenza di eventuali orizzontamenti è stata tenuta in conto o con vincoli cinematici rigidi o con modellazione della soletta con elementi SHELL. I vincoli tra i vari elementi strutturali e quelli con il terreno sono stati modellati in maniera congruente al reale comportamento strutturale.

In particolare, il modello di calcolo ha tenuto conto dell'interazione suolo-struttura schematizzando le fondazioni superficiali (con elementi plinto, trave o piastra) come elementi su suolo elastico alla Winkler.

I legami costitutivi utilizzati nelle analisi globali finalizzate al calcolo delle sollecitazioni sono del tipo elastico lineare.

Le verifiche sono state condotte con il metodo degli stati limite (SLU e SLE) utilizzando i coefficienti parziali della normativa di cui al DM 17/01/2018.

Le verifiche degli elementi bidimensionali sono state effettuate direttamente sullo stato tensionale ottenuto, per le azioni di tipo statico e di esercizio. Per le azioni dovute al sisma (ed in genere per le azioni che provocano elevata domanda di deformazione anelastica), le verifiche sono state effettuate sulle risultanti (forze e momenti) agenti globalmente su una sezione dell'oggetto strutturale (muro a taglio, trave accoppiamento, etc.)

Per le verifiche sezionali degli elementi in c.a. ed acciaio sono stati utilizzati i seguenti legami:

- ❖ Legame parabola rettangolo per il cls
- ❖ Legame elastico perfettamente plastico o incrudente a duttilità limitata per l'acciaio

Le combinazioni di calcolo considerate sono quelle previste dal DM 17/01/2018 per i vari stati limite e per le varie azioni e tipologie costruttive. In particolare, ai fini delle verifiche degli stati limite, sono state considerate le combinazioni delle azioni di cui al § 2.5.3 delle NTC 2018, per i seguenti casi di carico:

SLO	NO
SLD	SI
SLV	SI
SLC	NO
Combinazione Rara	NO
Combinazione frequente	NO
Combinazione quasi permanente	NO
SLU terreno A1 – Approccio 1/ Approccio 2	SI-CON NTC18 SOLO APPROCCIO 2
SLU terreno A2 – Approccio 1	NON PREVISTA DALLE NTC18

Il sottoscritto progettista ha verificato che le combinazioni prese in considerazione per il calcolo sono sufficienti a garantire il soddisfacimento delle prestazioni sia per gli stati limite ultimi che per gli stati limite di esercizio.

Le combinazioni considerate ai fini del progetto tengono infatti in conto le azioni derivanti dai pesi propri, dai carichi permanenti, dalle azioni variabili, dalle azioni termiche e dalle azioni sismiche combinate utilizzando i coefficienti parziali previsti dalle NTC 2018 per le prestazioni di SLU ed SLE.

In particolare, per le azioni sismiche si sono considerate le azioni derivanti dallo spettro di progetto ridotto del fattore q e le eccentricità accidentali pari al 5%. Inoltre, le azioni sismiche sono state combinate spazialmente sommando al sisma della direzione analizzata il 30% delle azioni derivanti dal sisma ortogonale.

9.2 Origine e caratteristiche dei codici di calcolo

Produttore	ACCA Software
Titolo	EdiLus CA+PO+EE+AC+MU+LG
Versione	usBIM(b) - (46.0.2.31873)
N.ro Licenza	21120081

Ragione sociale completa del produttore del software:

ACCA Software s.p.a.

Contrada Rosole 13

83043 Bagnoli Irpino (AV)

9.2.1 Affidabilità dei codici di calcolo

L'affidabilità del codice utilizzato e la sua idoneità al caso in esame, è stata attentamente verificata sia effettuando il raffronto tra casi prova di cui si conoscono i risultati esatti sia esaminando le indicazioni, la documentazione ed i test forniti dal produttore stesso.

ACCA Software a riprova dell'affidabilità dei risultati ottenuti, fornisce direttamente on-line i test sui casi prova liberamente consultabili all' indirizzo:

<http://forum.acca.it/it/edilus/id76770/validazione-dei-codici-di-calcolo.html>

9.2.2 Validazione dei codici

L' opera in esame non è di importanza tale da necessitare un calcolo indipendente eseguito con altro software da altro calcolista.

9.3 Informazione sull'elaborazione

Il software è dotato di propri filtri e controlli di autodiagnostica che intervengono sia durante la fase di definizione del modello sia durante la fase di calcolo vero e proprio.

In particolare, il software è dotato dei seguenti filtri e controlli:

- ❖ Filtri per la congruenza geometrica del modello generato
- ❖ Controlli a priori sulla presenza di elementi non connessi, interferenze, mesh non congruenti o non adeguate.
- ❖ Filtri sulla precisione numerica ottenuta, controlli su labilità o eventuali mal condizionamenti delle matrici, con verifica dell'indice di condizionamento.
- ❖ Controlli sulle verifiche sezionali e sui limiti dimensionali per i vari elementi strutturali in funzione della normativa utilizzata.

- ❖ Controlli e verifiche sugli esecutivi prodotti.
- ❖ Rappresentazioni grafiche di post-processo che consentono di evidenziare eventuali anomalie sfuggite all' autodiagnostica automatica.

9.4 Giudizio motivato di accettabilità

Il software utilizzato ha permesso di modellare analiticamente il comportamento fisico della struttura utilizzando la libreria disponibile di elementi finiti.

Le funzioni di visualizzazione ed interrogazione sul modello hanno consentito di controllare sia la coerenza geometrica che la adeguatezza delle azioni applicate rispetto alla realtà fisica.

Inoltre, la visualizzazione ed interrogazione dei risultati ottenuti dall'analisi quali: sollecitazioni, tensioni, deformazioni, spostamenti e reazioni vincolari, hanno permesso un immediato controllo di tali valori con i risultati ottenuti mediante schemi semplificati della struttura stessa.

Si è inoltre riscontrato che le reazioni vincolari sono in equilibrio con i carichi applicati, e che i valori dei taglianti di base delle azioni sismiche sono confrontabili con gli omologhi valori ottenuti da modelli SDOF semplificati.

Sono state inoltre individuate un numero di travi ritenute significative e, per tali elementi, è stata effettuata una apposita verifica a flessione e taglio.

Le sollecitazioni fornite dal solutore per tali travi, per le combinazioni di carico indicate nel tabulato di verifica del software, sono state validate effettuando gli equilibri alla rotazione e traslazione delle dette travi, secondo quanto meglio descritto nel calcolo semplificato, allegato alla presente relazione.

Si sono infine eseguite le verifiche di tali travi con metodologie semplificate e, confrontandole con le analoghe verifiche prodotte in automatico dal programma, si è potuto riscontrare la congruenza di tali risultati con i valori riportati dal software.

Si è inoltre verificato che tutte le funzioni di controllo ed autodiagnostica del software abbiano dato tutte esito positivo.

Da quanto sopra esposto si può quindi affermare che il calcolo è andato a buon fine e che il modello di calcolo utilizzato è risultato essere rappresentativo della realtà fisica, anche in funzione delle modalità e sequenze costruttive.

9.5 Prescrizioni sui materiali da impiegare nelle opere

9.5.1 Calcestruzzo armato

Le opere in calcestruzzo armato dovranno essere eseguite attenendosi alle prescrizioni delle norme vigenti. Per l'esecuzione delle opere in calcestruzzo armato di fondazione, dovrà essere impiegato un conglomerato avente le seguenti caratteristiche:

- ❖ Classe calcestruzzo C30/37
- ❖ Classe di esposizione XC4
- ❖ Classe di consistenza S4

- ❖ Cemento Portland o di miscela (tipo pozzolanico in presenza di acque aggressive) 325 con
dosaggio minimo 350 kg/m³;

inerti in quattro classi granulometriche ed in curva granulometrica continua di Bolomey, con diametro massimo degli inerti 20 mm e, comunque, compatibile con l'interfero minimo di progetto; gli inerti non dovranno contenere solfati.

Qualora vengano utilizzati calcestruzzi preconfezionati, le centrali di produzione dovranno essere munite di certificato di idoneità tecnica emesso dall'ICITE (istituto italiano del Certificato di idoneità Tecnica).

SIMBOLO	PARAMETRO	VALORE
Classe		C 30/37
γ_c	Peso specifico	2500 kg/m ³
Mod. El	Modulo elastico	314758 kg/cm ²
Coeff.Poisson	Coefficiente di Poisson a compressione	0,2
R_{ck}	Resistenza caratteristica cubica	370 kg/cm ²
f_{ck}	Resistenza caratteristica cilindrica	300 kg/cm ²
f_{cd}	Resistenza di calcolo	170 kg/cm ²
n	Coefficiente di omogeneizzazione	15
e_{co}	Deformazione limite elastico	0,002
e_{cu}	Deformazione limite ultimo	0,0035

Tabella 7 - Calcestruzzo cementizio C30/37 UNI EN 206-1 ($R_{ck}37$)

9.5.2 Armatura

Le armature da impiegare dovranno essere in barre ad aderenza migliorata B 450C, con caratteristiche meccaniche e chimiche rispondenti alle norme vigenti.

L'impiego di reti elettrosaldate dovrà essere limitato ai soli casi specificatamente previsti dal progetto esecutivo.

Esse dovranno essere dei tipo a fili nervati e con caratteristiche chimiche e meccaniche tali da consentire, in accordo con le prescrizioni di cui al 17/01/2018, una tensione caratteristica a rottura non inferiore a $f_{tk} > 540$ N/mm².

Tutte le forniture dovranno essere accompagnate dai certificati di origine del produttore, secondo le prescrizioni del D.M. 17/01/2018.

Le barre dovranno avere la superficie priva di ossidazione accentuata e di sostanze estranee che possano pregiudicare l'aderenza al conglomerato e, ove occorra, dovranno essere idoneamente pulite.

Nella lavorazione delle armature le sagomature delle barre dovranno essere eseguite a freddo (ad una temperatura non inferiore a 5°C), almeno per ferri fino al diametro di 30 mm;

i raggi di curvatura e gli sviluppi degli ancoraggi dovranno essere quelli indicati dalle norme vigenti ed eventuali ulteriori prescrizioni del progettista.

Il posizionamento delle armature dovrà essere effettuato esattamente come indicato nei disegni esecutivi, curando il rispetto delle giunzioni per sovrapposizione delle barre e degli ancoraggi.

Caratteristiche Acciaio ad aderenza migliorata B450C

- ❖ $f_{yk} = 4500 \text{ kg/cm}^2$ (Tensione caratteristica di snervamento)
- ❖ $f_{tk} = 5400 \text{ kg/cm}^2$ (Tensione caratteristica di rottura)
- ❖ $A_s \geq 7,5\%$ Allungamento

9.6 Parametri sismici

Per l'esecuzione dei calcoli strutturali si sono adottati i seguenti parametri sismici, meglio specificati nei tabulati di calcolo allegati:

Coordinate: Lat. 41,702514 – Long. 14,858742

Categorie del suolo C

Depositi di terreni a grana grossa mediamente addensati o terreni a grana fina mediamente consistenti con profondità del substrato superiori a 30 m, caratterizzati da un miglioramento delle proprietà meccaniche con la profondità e da valori di velocità equivalente compresi tra 180 m/s e 360 m/s.

Categoria topografica T1

Superficie pianeggiante, pendii e rilievi isolati con inclinazione media $i \leq 15^\circ$

Classe d'uso II

Costruzioni il cui uso preveda normali affollamenti, senza contenuti pericolosi per l'ambiente e senza funzioni pubbliche e sociali essenziali. Industrie con attività non pericolose per l'ambiente. Ponti, opere infrastrutturali, reti viarie non ricadenti in Classe d'uso III o in Classe d'uso IV, reti ferroviarie la cui interruzione non provochi situazioni di emergenza. Dighe il cui collasso non provochi conseguenze rilevanti.

Vita Nominale 50 anni

Opere ordinarie, ponti, opere infrastrutturali e dighe di dimensioni contenute o di importanza normale.

Nel calcolo strutturale effettuato non si è eseguita alcuna analisi sismica, poiché le azioni sismiche sono già state considerate dal progettista della struttura in elevazione (torre) e sono quindi già intervenute nella determinazione degli scarichi in fondazione applicati alla sommità del plinto progettato con la presente.

9.7 Analisi e verifiche

Le analisi e le verifiche, eseguite secondo il D.M. 17/01/2018, sono svolte secondo il metodo degli stati limite ultimi e di esercizio e sono ottenute involupando tutte le condizioni di carico prese in considerazione. Le verifiche per gli elementi bidimensionali vengono effettuate

sovrapponendo lo stato tensionale del comportamento a lastra e di quello a piastra. Vengono calcolate le armature delle due facce dell'elemento bidimensionale disponendo i ferri in due direzioni ortogonali.

Le verifiche previste dal D.M. 17/01/2018 sono state eseguite dal progettista strutturale della torre in acciaio, il quale ha fornito gli scarichi alla base della struttura in elevazione.

Come già detto, quindi, nel calcolo strutturale oggetto della presente non è stata eseguita alcuna analisi sismica, poiché le azioni sismiche sono già state considerate dal progettista della struttura in elevazione (torre) e sono quindi già intervenute nella determinazione degli scarichi in fondazione applicati alla sommità del plinto progettato.

Per ulteriori dettagli, si vedano i tabulati di calcolo allegati alla presente.

9.7.1 Modello geometrico della struttura

Lo schema geometrico utilizzato per il calcolo è il seguente:

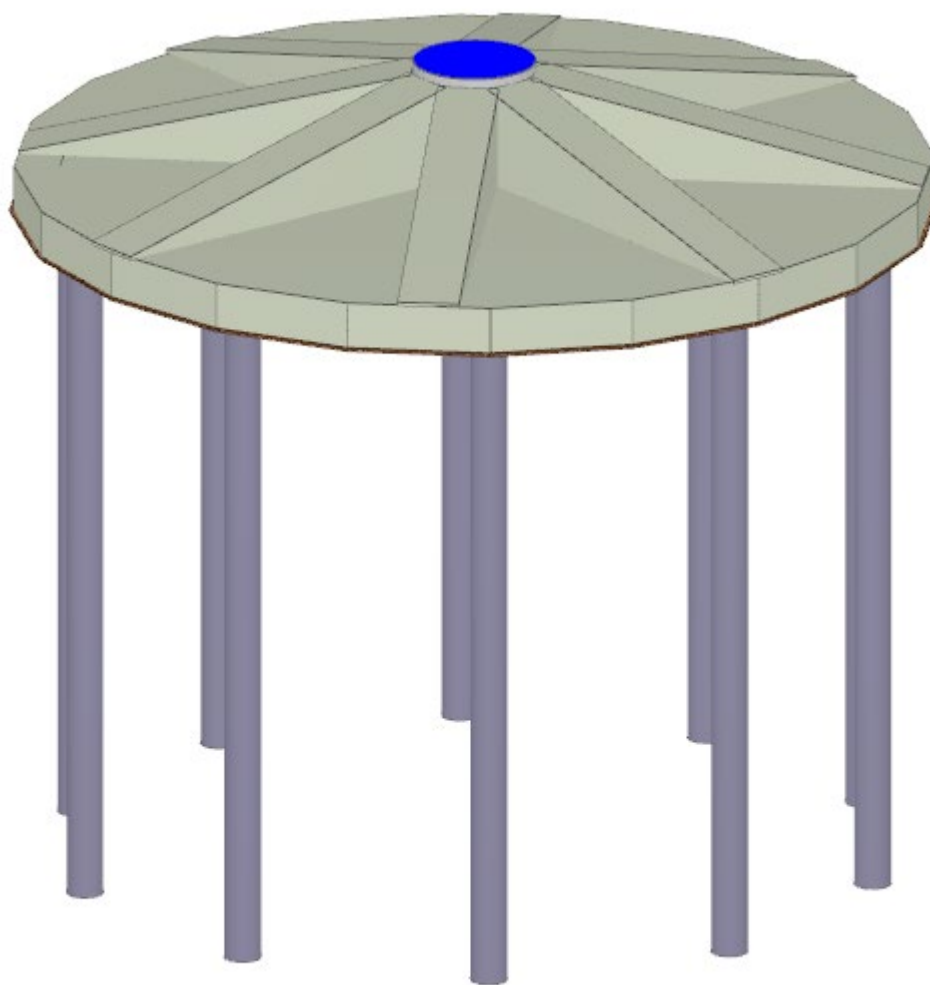


Figura 8 – Vista assonometrica fondazione

Il nucleo centrale formato da un pilastro che forma un cilindro è strutturalmente inesistente, ma serve soltanto a simulare la circonferenza di incastro della torre in acciaio nel plinto di fondazione, al fine di applicare correttamente gli scarichi della torre al plinto, cioè secondo la circonferenza di contatto e non secondo un singolo nodo.

Tali scarichi sono stati applicati al centro del pilastro sul quale convergono dei setti anch'essi inesistenti che servono a simulare il tronco di cono della fondazione.

Nei tabulati di calcolo allegati alla presente, non sono riportate le verifiche del pilastro e dei setti poiché gli stessi sono soltanto elementi ausiliari necessari a determinare un modello strutturale quanto più possibile aderente alla realtà.

9.7.2 Azioni provenienti dalla struttura

Le sollecitazioni massime trasmesse dalla torre alla fondazione sono state estrapolate dalla documentazione fornita dal produttore. Viene di seguito riportata la tabella con i valori massimi delle sollecitazioni che sono state applicate al modello di calcolo adottato, traducendo nelle coordinate idonee al software con cui si è redatto il presente calcolo quelle riferite al seguente sistema di coordinate cui si riferiscono i carichi forniti dal produttore.

Load case	DLC Type	Load factor	F_{xy} (kN)	F_z (kN)	M_{xy} (kNm)	$M_{xy} + \Delta M_{xy}$ (kNm)	M_z (kNm)
ULS without Psf	A	1.0	1498	6566	179651	185069	2231
ULS with Psf	A	1.1 0.9	1648	7222 5909	197616	203034	2454
ULS with Psf (Torsion)	N	1.35/1.1* 0.9	441	6985 * 5715	49389	54806	18061

Tabella 8 – Table 2 SG 6.6-170 T115-58B Factored/Unfactored Extreme loads at base of the tower.

Le azioni sulla fondazione vengono applicate secondo le condizioni di carico tali da essere più sfavorevoli ai fini delle singole verifiche. In particolare, così come riportato nei tabulati di calcolo, le azioni sono le seguenti:

CARICHI SUI NODI (PER CONDIZIONI DI CARICO NON SISMICHE)

TC	C	CC	SR	Carichi sui nodi (per condizioni di carico non sismiche)					
				F _x [N]	F _y [N]	F _z [N]	M _x [N-m]	M _y [N-m]	M _z [N-m]
Nodo 00001									
C	CR001	001	G	0	0	-5 909 000	0	0	0
C	CR001	001	G	1 648 000	0	0	0	0	0
C	CR001	001	G	0	-1 648 000	0	0	0	0
C	CR002	001	G	0	0	0	-197 616 000	0	0
C	CR002	001	G	0	0	0	0	197 616 000	0
C	CR002	001	G	0	0	0	0	0	2 454 000

LEGENDA:

TC Descrizione del tipo di carico: [L] = Lineare - [C] = Concentrato - [S] = Superficiale - [T] = Termico.

C Descrizione del carico:

CR001= Forza concentrata CR002= Momento concentrato

CC Identificativo della tipologia di carico nella relativa tabella.

SR Identificativo del sistema di riferimento considerato: [G] = Sistema di riferimento Globale X, Y, Z - [L] = Sistema di riferimento Locale 1, 2, 3.

F_x, F_y, Componenti del vettore Forza riferita agli assi del sistema di riferimento indicato nella colonna "S.R".

F_z

M_x, M_y, Momenti relativi agli assi del sistema di riferimento.

M_z

9.8 Tabulati di calcolo

Seguono allegati verifiche.

INFORMAZIONI GENERALI

Edificio	Cemento Armato
Costruzione	Nuova
Situazione	-
Intervento	-
Comune	Ripabottoni
Provincia	Campobasso
Oggetto	
Parte d'opera	
Normativa di riferimento	D.M. 17/01/2018
Calcolo semplificato per siti a bassa sismicità (§ 7.0)	-
Analisi sismica	Nessuna

MATERIALI CALCESTRUZZO ARMATO

Caratteristiche calcestruzzo armato															
N _{id}	γ _k	α _{T, i}	E	G	C _{Erid}	Stz	R _{ck}	R _{cm}	%R _{ck}	γ _c	f _{cd}	f _{ctd}	f _{cfm}	N	n Ac
	[N/m ³]	[1/°C]	[N/mm ²]	[N/mm ²]	[%]		[N/mm ²]	[N/mm ²]			[N/mm ²]	[N/mm ²]	[N/mm ²]		
C30/37_B450C - (C30/37)															
001	25 000	0,000010	33 019	13 758	60	P	37,00	-	0,85	1,50	17,40	1,37	3,53	15	002

LEGENDA:

- N_{id}** Numero identificativo del materiale, nella relativa tabella dei materiali.
γ_k Peso specifico.
α_{T, i} Coefficiente di dilatazione termica.
E Modulo elastico normale.
G Modulo elastico tangenziale.
C_{Erid} Coefficiente di riduzione del Modulo elastico normale per Analisi Sismica [$E_{sisma} = E \cdot C_{Erid}$].
Stz Tipo di situazione: [F] = di Fatto (Esistente); [P] = di Progetto (Nuovo).
R_{ck} Resistenza caratteristica cubica.
R_{cm} Resistenza media cubica.
%R_{ck} Percentuale di riduzione della R_{ck}.
γ_c Coefficiente parziale di sicurezza del materiale.
f_{cd} Resistenza di calcolo a compressione.
f_{ctd} Resistenza di calcolo a trazione.
f_{cfm} Resistenza media a trazione per flessione.
n Ac Identificativo, nella relativa tabella materiali, dell'acciaio utilizzato: [-] = parametro NON significativo per il materiale.

MATERIALI ACCIAIO

Caratteristiche acciaio																	
N _{id}	γ _k	α _{T, i}	E	G	Stz	LMT	f _{yk}	f _{tk}	f _{yd}	f _{td}	γ _s	γ _{M1}	γ _{M2}	γ _{M3,SLV}	γ _{M3,SLE}	γ _{M7}	Cnt
	[N/m ³]	[1/°C]	[N/mm ²]	[N/mm ²]			[N/mm ²]	[N/mm ²]	[N/mm ²]	[N/mm ²]							
Acciaio B450C - Acciaio in Tondini - (B450C)																	
002	78 500	0,000010	210 000	80 769	P	-	450,00	-	391,30	-	1,15	-	-	-	-	-	-

LEGENDA:

- N_{id}** Numero identificativo del materiale, nella relativa tabella dei materiali.
γ_k Peso specifico.
α_{T, i} Coefficiente di dilatazione termica.
E Modulo elastico normale.
G Modulo elastico tangenziale.
Stz Tipo di situazione: [F] = di Fatto (Esistente); [P] = di Progetto (Nuovo).
LMT Campo di validità in termini di spessore t, (per profili, piastre, saldature) o diametro, d (per bulloni, tondini, chiodi, viti, spinotti)
f_{yk} Resistenza caratteristica allo snervamento
f_{tk} Resistenza caratteristica a rottura
f_{yd} Resistenza di calcolo
f_{td} Resistenza di calcolo a Rottura (Bulloni).
γ_s Coefficiente parziale di sicurezza allo SLV del materiale.
γ_{M1} Coefficiente parziale di sicurezza per instabilità.
γ_{M2} Coefficiente parziale di sicurezza per sezioni tese indebolite.
γ_{M3,SLV} Coefficiente parziale di sicurezza per scorrimento allo SLV (Bulloni).
γ_{M3,SLE} Coefficiente parziale di sicurezza per scorrimento allo SLE (Bulloni).
γ_{M7} Coefficiente parziale di sicurezza precario di bulloni ad alta resistenza (Bulloni - NCnt = con serraggio NON controllato; Cnt = con serraggio controllato). [-] = parametro NON significativo per il materiale.
NOTE [-] = Parametro non significativo per il materiale.

TENSIONI AMMISSIBILI ALLO SLE DEI VARI MATERIALI

Tensioni ammissibili allo SLE dei vari materiali			
Materiale	SL	Tensione di verifica	σ _{d,amm} [N/mm ²]
C30/37_B450C	Caratteristica(RARA)	Compressione Calcestruzzo	18,43
	Quasi permanente	Compressione Calcestruzzo	13,82
Acciaio B450C	Caratteristica(RARA)	Trazione Acciaio	360,00

LEGENDA:

- SL** Stato limite di esercizio per cui si esegue la verifica.
σ_{d,amm} Tensione ammissibile per la verifica.

TERRENI

Terreni												
N _{TRN}	γ _T	γ _{Ts}	K1			φ	c _u	c'	E _d	E _{cu}	A _{S-B}	ST_P
			K _{1X}	K _{1Y}	K _{1Z}							

	[N/m ²]	[N/m ²]	[N/cm ²]	[N/cm ²]	[N/cm ²]	[°]	[N/mm ²]	[N/mm ²]	[N/mm ²]	[N/mm ²]		
Argille varicolori												
T001	18 000	18 000	60	60	300	35	0,030	0,000	12	1	0,000	NO

LEGENDA:

N_{TRN}	Numero identificativo del terreno.
γ_T	Peso specifico del terreno.
γ_{Ts}	Peso specifico saturo del terreno.
K₁	Valori della costante di Winkler riferita alla piastra Standard di lato b = 30 cm nelle direzioni degli assi del riferimento globale X (K _{1X}), Y (K _{1Y}), e Z (K _{1Z}).
φ	Angolo di attrito del terreno.
c_u	Coesione non drenata.
c'	Coesione efficace.
E_d	Modulo edometrico.
E_{cu}	Modulo elastico in condizione non drenate.
A_{S-B}	Parametro "A" di Skempton-Bjerrum per pressioni interstiziali.
ST_P	[SI]: Il terreno è usato nella valutazione delle spinte a tergo delle pareti/muri controterra; [NO]: Il terreno NON è usato nella valutazione delle spinte a tergo delle pareti/muri controterra.

STRATIGRAFIE

						Stratigrafie	
N _{TRN}	Q _i	Q _f	Cmp. S.	Add	ΔEd		
	[m]	[m]					
[S001]-Stratigrafia							
T001	0,00	INF	incoerente	sciolto	nulla		

LEGENDA:

N_{TRN}	Numero identificativo della stratigrafia.
Q_i	Quota iniziale dello strato (riferito alla quota iniziale della stratigrafia).
Q_f	Quota finale dello strato (riferito alla quota iniziale della stratigrafia). INF = infinito (profondità dello strato finale).
Cmp. S.	Comportamento dello strato.
Add	Addensamento dello strato.
ΔEd	Variazione con la profondità del modulo edometrico.

CARICHI SUI NODI (PER CONDIZIONI DI CARICO NON SISMICHE)

Carichi sui nodi (per condizioni di carico non sismiche)										
TC	C	CC	SR	F _x	F _y	F _z	M _x	M _y	M _z	
				[N]	[N]	[N]	[N-m]	[N-m]	[N-m]	
Nodo 00001										
C	CR001	001	G	0	0	-5 909 000	0	0	0	
C	CR001	001	G	1 648 000	0	0	0	0	0	
C	CR001	001	G	0	-1 648 000	0	0	0	0	
C	CR002	001	G	0	0	0	-197 616 000	0	0	
C	CR002	001	G	0	0	0	0	197 616 000	0	
C	CR002	001	G	0	0	0	0	0	2 454 000	

LEGENDA:

TC	Descrizione del tipo di carico: [L] = Lineare - [C] = Concentrato - [S] = Superficiale - [T] = Termico.
C	Descrizione del carico: CR001= Forza concentrata CR002= Momento concentrato
CC	Identificativo della tipologia di carico nella relativa tabella.
SR	Identificativo del sistema di riferimento considerato: [G] = Sistema di riferimento Globale X, Y, Z - [L] = Sistema di riferimento Locale 1, 2, 3.
F_x, F_y, F_z	Componenti del vettore Forza riferita agli assi del sistema di riferimento indicato nella colonna "S.R".
M_x, M_y, M_z	Momenti relativi agli assi del sistema di riferimento.

PLATEE - VERIFICHE PRESSOFLESSIONE RETTA ALLO SLU (Fondazione)

Platee - Verifiche pressoflessione retta allo SLU																			
Dir	Pos	Nodo	N _{Ed}	M _{Ed}	A _s	A _{df}	CS	Nodo	N _{Ed}	M _{Ed}	A _s	A _{df}	CS	Nodo	N _{Ed}	M _{Ed}	A _s	A _{df}	CS
			[N]	[N-m]	[cm ² /cm]	[cm ² /cm]			[N]	[N-m]	[cm ² /cm]	[cm ² /cm]			[N]	[N-m]	[cm ² /cm]	[cm ² /cm]	
Fondazione																			
Platea 1																			
P	S	00002	17 050	52 278	0,18096	0,18096	8,52	00003	-35 563	87 353	0,18096	0,18096	13,73	00004	0	0	0,18096	0,18096	-
	I		0	0	0,12566	0,12566	-		0	0	0,12566	0,12566	-		83 553	27 437	0,12566	0,12566	4,47
S	S		0	0	0,22619	0,22619	-		0	0	0,22619	0,22619	-		-149 526	64 495	0,22619	0,22619	5,16
	I		69 219	6 445	0,12566	0,12566	3,31		-41 271	22 715	0,12566	0,12566	3,39		0	0	0,12566	0,12566	-
P	S	00005	0	0	0,18096	0,18096	-	00006	70 301	66 160	0,18096	0,18096	9,46	00007	0	0	0,18096	0,18096	-
	I		114 973	36 308	0,12566	0,12566	4,14		0	0	0,12566	0,12566	-		33 810	26 704	0,12566	0,12566	4,68
S	S		-111 437	71 335	0,22619	0,22619	5,20		0	0	0,22619	0,22619	-		-71 198	35 711	0,22619	0,22619	4,31
	I		0	0	0,12566	0,12566	-		-71 416	52 912	0,12566	0,12566	3,15		0	0	0,12566	0,12566	-
P	S	00008	0	0	0,18096	0,18096	-	00009	-102 100	58 808	0,18096	0,18096	10,02	00010	-37 916	57 224	0,18096	0,18096	1,43
	I		15 929	56 681	0,12566	0,12566	4,07		0	0	0,12566	0,12566	-		0	0	1,03044	1,03044	-
S	S		74 941	29 291	0,22619	0,22619	3,78		0	0	0,22619	0,22619	-		0	0	0,22619	0,22619	-
	I		0	0	0,12566	0,12566	-		235 563	121 507	0,12566	0,12566	2,06		207 360	58 975	1,03044	1,03044	1,56
P	S	00011	0	0	0,18096	0,18096	-	00014	-119 333	29 037	0,18096	0,18096	7,69	00015	0	0	0,18096	0,18096	-

Platee - Verifiche pressoflessione retta allo SLU

Dir	Pos	Nodo	N _{Ed} [N]	M _{Ed} [N-m]	A _s [cm ² /cm]	A _{df} [cm ² /cm]	CS	Nodo	N _{Ed} [N]	M _{Ed} [N-m]	A _s [cm ² /cm]	A _{df} [cm ² /cm]	CS	Nodo	N _{Ed} [N]	M _{Ed} [N-m]	A _s [cm ² /cm]	A _{df} [cm ² /cm]	CS
	I		-7 223	26 377	0,12566	0,12566	4,86		0	0	0,12566	0,12566	-		82 720	64 233	0,12566	0,12566	3,71
S	S		52 053 0	76 277 0	0,22619	0,22619	4,75		-118 087 0	34 175 0	0,22619	0,22619	4,42		88 555 0	27 208 0	0,22619	0,22619	3,71
	I		0	0	0,12566	0,12566	-		0	0	0,12566	0,12566	-		0	0	0,12566	0,12566	-
P	S	00016	0	0	0,18096	0,18096	-	00017	-41 696	35 119	0,18096	0,18096	7,62	00018	-55 511	22 158	0,18096	0,18096	6,94
	I		163 694	61 200	1,03044	1,03044	1,44		0	0	0,12566	0,12566	-		0	0	0,12566	0,12566	-
S	S		0	0	0,22619	0,22619	-		0	0	0,22619	0,22619	-		-3 770	1 018	0,22619	0,22619	3,59
	I		161 583	69 676	1,03044	1,03044	1,59		-50 284	56 676	0,12566	0,12566	3,07		0	0	0,12566	0,12566	-
P	S	00019	17 343	1 596	0,18096	0,18096	5,64	00020	0	0	0,18096	0,18096	-	00021	0	0	0,18096	0,18096	-
	I		0	0	0,12566	0,12566	-		-4 877	6 037	0,12566	0,12566	5,47		106 878	81 527	0,12566	0,12566	3,36
S	S		0	0	0,22619	0,22619	-		-109 181	32 009	0,22619	0,22619	4,35		0	0	0,22619	0,22619	-
	I		160 284	97 883	0,12566	0,12566	2,33		0	0	0,12566	0,12566	-		6 740	946	0,12566	0,12566	3,54
P	S	00022	0 31 308	0 48 175	0,18096	0,18096	-	00023	0 86 875	0 58 964	0,18096	0,18096	-	00024	0 48 501	0 10 874	0,18096	0,18096	-
	I		6 929	8 190	0,22619	0,22619	3,66		0	0	0,22619	0,22619	-		0	0	0,22619	0,22619	-
S	S		0	0	0,12566	0,12566	-		36 048	6 981	0,12566	0,12566	3,39		94 361	66 651	0,12566	0,12566	2,68
P	S	00025	4 939	7 140	0,18096	0,18096	5,92	00026	0	0	0,18096	0,18096	-	00027	0	0	0,18096	0,18096	-
	I		0	0	0,12566	0,12566	-		12 071	27 268	0,12566	0,12566	4,76		-11 573	59 476	0,12566	0,12566	4,11
S	S		0	0	0,22619	0,22619	-		78 326	20 257	0,22619	0,22619	3,63		-9 238	9 220	0,22619	0,22619	3,72
	I		38 840	34 722	0,12566	0,12566	3,08		0	0	0,12566	0,12566	-		0	0	0,12566	0,12566	-
P	S	00028	0	0	0,18096	0,18096	-	00029	0	0	0,18096	0,18096	-	00030	5 934	47 933	0,18096	0,18096	8,24
	I		67 906	30 257	0,12566	0,12566	4,46		-28 641	16 745	0,12566	0,12566	5,22		0	0	0,12566	0,12566	-
S	S		36 879	51 382	0,22619	0,22619	4,27		-7 672	28 284	0,22619	0,22619	4,00		0	0	0,22619	0,22619	-
	I		0	0	0,12566	0,12566	-		0	0	0,12566	0,12566	-		-1 029	7 984	0,12566	0,12566	3,47
P	S	00031	-49 353	41 550	0,18096	0,18096	8,12	00032	-32 917	7 580	0,18096	0,18096	6,12	00033	0	0	0,18096	0,18096	-
	I		0	0	0,12566	0,12566	-		0	0	0,12566	0,12566	-		43	7 405	0,12566	0,12566	5,40
S	S		0	0	0,22619	0,22619	-		-57 519	51 175	0,22619	0,22619	4,56		-2 101	28 503	0,22619	0,22619	3,98
	I		-17 755	2 205	0,12566	0,12566	3,58		0	0	0,12566	0,12566	-		0	0	0,12566	0,12566	-
P	S	00034	-7 119	26 776	0,18096	0,18096	6,92	00035	25 132	53 477	0,18096	0,18096	8,57	00036	-37 762	15 046	0,18096	0,18096	6,48
	I		0	0	0,12566	0,12566	-		0	0	0,12566	0,12566	-		0	0	0,12566	0,12566	-
S	S		0	0	0,22619	0,22619	-		0	0	0,22619	0,22619	-		0	0	0,22619	0,22619	-
	I		-41 110	24 816	0,12566	0,12566	3,37		40 901	21 654	0,12566	0,12566	3,21		-20 911	56 272	0,12566	0,12566	3,01
P	S	00037	64 215	17 247	0,18096	0,18096	6,06	00038	0	0	0,18096	0,18096	-	00039	0	0	0,18096	0,18096	-
	I		0	0	0,12566	0,12566	-		62 430	70 368	0,12566	0,12566	3,67		34 934	85 602	0,12566	0,12566	3,52
S	S		0	0	0,22619	0,22619	-		66 713	41 414	0,22619	0,22619	4,00		60 075	52 601	0,22619	0,22619	4,22
	I		11 877	28 296	0,12566	0,12566	3,21		0	0	0,12566	0,12566	-		0	0	0,12566	0,12566	-
P	S	00040	0	0	0,18096	0,18096	-	00041	0	0	0,18096	0,18096	-	00042	0	0	0,18096	0,18096	-
	I		26 889	107 108	0,12566	0,12566	3,25		15 087	114 076	0,12566	0,12566	3,19		15 139	131 211	0,12566	0,12566	3,00
S	S		53 055	54 509	0,22619	0,22619	4,28		44 446	75 410	0,22619	0,22619	4,75		37 325	89 387	0,22619	0,22619	5,14
	I		0	0	0,12566	0,12566	-		0	0	0,12566	0,12566	-		0	0	0,12566	0,12566	-
P	S	00043	0	0	0,18096	0,18096	-	00044	0	0	0,18096	0,18096	-	00045	0	0	0,18096	0,18096	-
	I		38	124 098	0,12566	0,12566	3,12		-468	167 149	0,12566	0,12566	2,70		-8 518	181 494	0,12566	0,12566	2,60
S	S		32 642	115 582	0,22619	0,22619	6,00		24 132	109 781	0,22619	0,22619	5,82		11 066	120 729	0,22619	0,22619	6,29
	I		0	0	0,12566	0,12566	-		0	0	0,12566	0,12566	-		0	0	0,12566	0,12566	-
P	S	00046	0	0	0,18096	0,18096	-	00047	0	0	0,18096	0,18096	-	00048	0	0	0,18096	0,18096	-
	I		-3 614	225 445	0,12566	0,12566	2,29		-1 847	245 805	0,12566	0,12566	2,17		-3 260	278 816	0,12566	0,12566	2,00
S	S		18 975	103 153	0,22619	0,22619	5,62		-2 318	127 179	0,22619	0,22619	6,63		-11 397	143 670	0,22619	0,22619	7,50
	I		0	0	0,12566	0,12566	-		0	0	0,12566	0,12566	-		0	0	0,12566	0,12566	-

Platee - Verifiche pressoflessione retta allo SLU

Dir	Pos	Nodo	N _{Ed}	M _{Ed}	A _s	A _{df}	CS	Nodo	N _{Ed}	M _{Ed}	A _s	A _{df}	CS	Nodo	N _{Ed}	M _{Ed}	A _s	A _{df}	CS	
			[N]	[N-m]	[cm ² /cm]	[cm ² /cm]			[N]	[N-m]	[cm ² /cm]	[cm ² /cm]			[N]	[N-m]	[cm ² /cm]	[cm ² /cm]		
P	S	I	00049	0	0	0,18096	0,18096	-	00050	0	0	0,18096	0,18096	-	00051	0	0	0,18096	0,18096	-
				36	267	0,12566	0,12566	1,99		46	333	0,12566	0,12566	1,71		60	406	0,12566	0,12566	1,46
S	S	I	00049	-1	174	0,22619	0,22619	9,74	00050	2	149	0,22619	0,22619	7,76	00051	-34	114	0,22619	0,22619	6,24
				039	780	0,12566	0,12566	-		087	283	0,12566	0,12566	-		277	212	0,12566	0,12566	-
P	S	I	00052	0	0	0,18096	0,18096	-	00053	0	0	0,18096	0,18096	-	00054	0	0	0,18096	0,18096	-
				86	389	0,12566	0,12566	1,48		140	424	1,03044	1,03044	1,73		78	452	1,03044	1,03044	1,79
S	S	I	00052	-27	154	0,22619	0,22619	8,24	00053	-87	153	0,22619	0,22619	1,51	00054	-118	159	0,22619	0,22619	1,52
				486	142	0,12566	0,12566	-		292	160	1,03044	1,03044	-		901	723	1,03044	1,03044	-
P	S	I	00055	0	0	0,18096	0,18096	-	00056	0	0	0,18096	0,18096	-	00057	0	0	0,18096	0,18096	-
				334	469	1,03044	1,03044	1,70		397	485	1,03044	1,03044	1,69		565	518	1,03044	1,03044	1,65
S	S	I	00055	-124	184	0,22619	0,22619	1,51	00056	-76	171	0,22619	0,22619	1,50	00057	-150	145	0,22619	0,22619	1,54
				456	373	1,03044	1,03044	-		962	993	1,03044	1,03044	-		976	969	1,03044	1,03044	-
P	S	I	00058	0	0	0,18096	0,18096	-	00059	0	0	0,18096	0,18096	-	00060	0	0	1,68892	1,68892	-
				350	521	1,03044	1,03044	1,74		1	537	1,03044	1,03044	1,48		988	473	1,03044	1,03044	2,98
S	S	I	00058	-357	144	0,22619	0,22619	1,61	00059	-75	141	0,22619	0,22619	1,52	00060	-152	114	2,48814	2,48814	2,68
				992	848	1,03044	1,03044	-		497	544	1,03044	1,03044	-		606	618	1,03044	1,03044	-
P	S	I	00061	0	0	1,68892	1,68892	-	00062	0	0	1,68892	1,68892	-	00095	-75	19	0,18096	0,18096	6,92
				968	577	1,03044	1,03044	2,86		1	594	1,03044	1,03044	2,78		171	884	0,12566	0,12566	-
S	S	I	00061	-773	14	2,48814	2,48814	2,77	00062	-378	201	2,48814	2,48814	2,81	00095	-80	30	0,22619	0,22619	4,24
				932	289	1,03044	1,03044	-		100	771	1,03044	1,03044	-		602	609	0,12566	0,12566	-
P	S	I	00096	-36	15	0,18096	0,18096	6,49	00097	-8	11	0,18096	0,18096	6,16	00098	18	13	0,18096	0,18096	6,12
				153	336	0,12566	0,12566	-		075	313	0,12566	0,12566	-		728	384	0,12566	0,12566	-
S	S	I	00096	-40	19	0,22619	0,22619	3,95	00097	-24	12	0,22619	0,22619	3,81	00098	-1	14	0,22619	0,22619	3,78
				393	187	0,12566	0,12566	-		817	661	0,12566	0,12566	-		436	915	0,12566	0,12566	-
P	S	I	00099	41	29	0,18096	0,18096	6,79	00100	41	65	0,18096	0,18096	9,58	00101	72	87	0,18096	0,18096	12,65
				164	498	0,12566	0,12566	-		216	035	0,12566	0,12566	-		832	898	0,12566	0,12566	-
S	S	I	00099	-2	31	0,22619	0,22619	4,04	00100	5	59	0,22619	0,22619	4,52	00101	11	100	0,22619	0,22619	5,57
				913	660	0,12566	0,12566	-		658	213	0,12566	0,12566	-		715	797	0,12566	0,12566	-
P	S	I	00102	121	143	0,18096	0,18096	91,92	00103	106	233	0,18096	0,18096	9,66	00104	39	311	0,18096	0,18096	5,20
				868	384	0,12566	0,12566	-		014	126	0,12566	0,12566	-		000	886	0,12566	0,12566	-
S	S	I	00102	67	153	0,22619	0,22619	7,66	00103	50	225	0,22619	0,22619	18,87	00104	44	283	0,22619	0,22619	NS
				889	753	0,12566	0,12566	-		766	667	0,12566	0,12566	-		451	542	0,12566	0,12566	-
P	S	I	00105	21	365	0,18096	0,18096	3,95	00106	25	459	0,18096	0,18096	2,74	00107	-237	539	0,18096	0,18096	2,65
				486	822	0,12566	0,12566	-		732	612	0,12566	0,12566	-		061	384	0,12566	0,12566	-
S	S	I	00105	-53	349	0,22619	0,22619	13,85	00106	-48	441	0,22619	0,22619	6,15	00107	-234	523	0,22619	0,22619	4,63
				359	668	0,12566	0,12566	-		931	398	0,12566	0,12566	-		671	613	0,12566	0,12566	-
P	S	I	00108	-120	601	0,18096	0,18096	2,10	00109	-331	774	0,18096	0,18096	1,75	00110	-434	774	0,18096	0,18096	1,18
				238	629	0,12566	0,12566	-		804	892	0,12566	0,12566	-		456	196	1,03044	1,03044	-
S	S	I	00108	-208	641	0,22619	0,22619	3,09	00109	-353	717	0,22619	0,22619	2,79	00110	-485	711	0,22619	0,22619	1,32
				627	890	0,12566	0,12566	-		913	631	0,12566	0,12566	-		378	750	1,03044	1,03044	-
P	S	I	00111	-513	847	0,18096	0,18096	1,17	00112	-646	951	0,18096	0,18096	1,16	00113	-1	956	0,18096	0,18096	1,25
				287	675	1,03044	1,03044	-		160	102	1,03044	1,03044	-		087	032	1,03044	1,03044	-
S	S	I	00111	-582	815	0,22619	0,22619	1,29	00112	-808	941	0,22619	0,22619	1,29	00113	-1	944	0,22619	0,22619	1,35
				831	489	1,03044	1,03044	-		343	250	1,03044	1,03044	-		052	502	1,03044	1,03044	-
P	S	I	00114	-1	1	0,18096	0,18096	1,22	00115	-1	1	0,18096	0,18096	1,17	00116	-1	1	0,18096	0,18096	1,30
				125	101	1,03044	1,03044	-		335	343	1,03044	1,03044	-		871	326	1,03044	1,03044	-
S	S	I	00114	-1	1	0,22619	0,22619	1,28	00115	-1	1	0,22619	0,22619	1,29	00116	-1	1	0,22619	0,22619	1,44
				200	199	1,03044	1,03044	-		332	261	1,03044	1,03044	-		986	253	1,03044	1,03044	-
P	S	I	00117	-2	1	1,68892	1,68892	40,37	00118	-2	1	1,68892	1,68892	NS	00119	-2	1	1,68892	1,68892	28,18
				027	381	1,03044	1,03044	-		641	549	1,03044	1,03044	-		644	202	1,03044	1,03044	-
S	S	I	00117	-1	1	2,48814	2,48814	5,48	00118	-2	1	2,48814	2,48814	6,73	00119	-2	1	2,48814	2,48814	5,23
				031	777	1,03044	1,03044	-		409	339	1,03044	1,03044	-		736	872	1,03044	1,03044	-

Platee - Verifiche pressoflessione retta allo SLU

Dir	Pos	Nodo	N _{Ed} [N]	M _{Ed} [N-m]	A _s [cm ² /cm]	A _{df} [cm ² /cm]	CS	Nodo	N _{Ed} [N]	M _{Ed} [N-m]	A _s [cm ² /cm]	A _{df} [cm ² /cm]	CS	Nodo	N _{Ed} [N]	M _{Ed} [N-m]	A _s [cm ² /cm]	A _{df} [cm ² /cm]	CS
			968 135 0	417 562 0	1,03044	1,03044	-		565 279 0	599 042 0	1,03044	1,03044	-		449 574 0	180 528 0	1,03044	1,03044	-
P	I	00152	29 413 0	18 958 0	0,18096	0,18096	6,32	00153	11 458 0	28 631 0	0,18096	0,18096	6,92	00154	-12 129 0	32 652 0	0,18096	0,18096	7,29
S	S		0 21 538	0 42 255	0,22619	0,22619	-		0 2 503	0 48 358	0,22619	0,22619	-		0 7 776	0 47 508	0,22619	0,22619	-
P	I	00155	-55 632 0	32 922 0	0,18096	0,18096	7,56	00156	-61 712 0	33 328 0	0,18096	0,18096	7,63	00157	-62 297 0	29 831 0	0,18096	0,18096	7,41
S	S		0 -5 363	0 48 640	0,22619	0,22619	-		0 -13 512	0 49 654	0,22619	0,22619	-		0 -15 182	0 51 666	0,22619	0,22619	-
P	I	00158	-62 461 0	25 741 0	0,18096	0,18096	7,17	00159	-65 319 0	19 093 0	0,18096	0,18096	6,83	00160	-50 471 0	12 344 0	0,18096	0,18096	6,42
S	S		0 -20 037	0 53 032	0,22619	0,22619	-		0 -18 241	0 49 309	0,22619	0,22619	-		0 -16 168	0 49 678	0,22619	0,22619	-
P	I	00161	-15 154 0	75 625 0	0,18096	0,18096	11,43	00162	4 734 0	74 864 0	0,18096	0,18096	11,13	00163	13 702 0	70 472 0	0,18096	0,18096	10,45
S	S		0 -67 566	0 29 972	0,22619	0,22619	-		0 -21 577	0 24 473	0,22619	0,22619	-		0 -1 174	0 21 568	0,22619	0,22619	-
P	I	00164	38 930 0	66 830 0	0,18096	0,18096	9,80	00165	9 508 0	49 266 0	0,18096	0,18096	8,32	00166	3 909 0	50 063 0	0,18096	0,18096	8,43
S	S		0 20 732	0 18 013	0,22619	0,22619	-		0 50 869	0 19 966	0,22619	0,22619	-		0 26 315	0 24 393	0,22619	0,22619	-
P	I	00167	-3 724 0	50 672 0	0,18096	0,18096	8,53	00168	-5 337 0	50 955 0	0,18096	0,18096	8,56	00169	-7 716 0	51 484 0	0,18096	0,18096	8,63
S	S		0 16 616	0 28 205	0,22619	0,22619	-		0 -9 046	0 31 399	0,22619	0,22619	-		0 -16 430	0 33 004	0,22619	0,22619	-
P	I	00170	-10 065 0	47 330 0	0,18096	0,18096	8,30	00171	-8 932 0	46 948 0	0,18096	0,18096	8,26	00172	-11 672 0	45 056 0	0,18096	0,18096	8,13
S	S		0 -23 815	0 32 602	0,22619	0,22619	-		0 -32 954	0 33 155	0,22619	0,22619	-		0 -35 881	0 30 621	0,22619	0,22619	-
P	I	00173	-7 720 0	34 177 0	0,18096	0,18096	7,36	00174	-1 979 0	19 178 0	0,18096	0,18096	6,49	00175	-4 749 0	13 118 0	0,18096	0,18096	6,23
S	S		0 -41 947	0 22 930	0,22619	0,22619	-		0 -54 296	0 24 779	0,22619	0,22619	-		0 -97 256	0 21 447	0,22619	0,22619	-
P	I	00176	-8 208 0	16 558 0	0,18096	0,18096	6,40	00177	-11 838 0	14 166 0	0,18096	0,18096	6,31	00178	1 874 0	16 681 0	0,18096	0,18096	6,35
S	S		0 -111 948	0 21 801	0,22619	0,22619	-		0 -149 797	0 16 216	0,22619	0,22619	-		0 -176 290	0 13 629	0,22619	0,22619	-
P	I	00179	-8 410 0	15 012 0	0,18096	0,18096	6,33	00180	-8 092 0	7 057 0	0,18096	0,18096	5,98	00181	-6 211 0	12 262 0	0,18096	0,18096	6,19
S	S		0 -174 667	0 11 285	0,22619	0,22619	-		-191 189 0	604 0 0	0,22619	0,22619	-		-155 013 0	4 624 0	0,22619	0,22619	-
P	I	00182	28 290 0	15 053 0	0,18096	0,18096	6,14	00183	0 -8 853	0 5 102	0,18096	0,18096	-	00184	0 -7 575	0 9 753	0,18096	0,18096	-
S	S		-120 800 0	13 705 0	0,22619	0,22619	-		-138 108 0	97 788 0	0,22619	0,22619	-		-138 572 0	97 337 0	0,22619	0,22619	-
P	I	00185	0 -8 612	0 13 417	0,18096	0,18096	-	00186	0 -7 499	0 4 456	0,18096	0,18096	-	00187	0 -4 932	0 12 913	0,18096	0,18096	-
S	S		-125 041 0	94 391 0	0,22619	0,22619	-		-117 134 0	84 174 0	0,22619	0,22619	-		-99 493 0	78 371 0	0,22619	0,22619	-
P	I	00188	0 -4 625	0 3 004	0,18096	0,18096	-	00189	0 -2 898	0 10 565	0,18096	0,18096	-	00190	0 3 223	0 6 159	0,18096	0,18096	-
S	S		-56 460 0	64 291 0	0,22619	0,22619	-		-44 462 0	56 328 0	0,22619	0,22619	-		-31 409 0	47 398 0	0,22619	0,22619	-
P	I	00191	0	0	0,18096	0,18096	-	00192	0	0	0,18096	0,18096	-	00193	0	0	0,18096	0,18096	-

Platee - Verifiche pressoflessione retta allo SLU

Dir	Pos	Nodo	N _{Ed} [N]	M _{Ed} [N-m]	A _s [cm ² /cm]	A _{df} [cm ² /cm]	CS	Nodo	N _{Ed} [N]	M _{Ed} [N-m]	A _s [cm ² /cm]	A _{df} [cm ² /cm]	CS	Nodo	N _{Ed} [N]	M _{Ed} [N-m]	A _s [cm ² /cm]	A _{df} [cm ² /cm]	CS
	I		-524	7 486	0,12566	0,12566	5,40		529	13 664	0,12566	0,12566	5,20		2 704	13 124	0,12566	0,12566	5,20
S	S		-12 818 0	39 168 0	0,22619	0,22619	4,20		-10 077 0	29 063 0	0,22619	0,22619	4,02		-4 972 0	28 179 0	0,22619	0,22619	3,99
P	S	00194	0	0	0,18096	0,18096	-	00195	0	0	0,18096	0,18096	-	00196	0	0	0,18096	0,18096	-
S	S		-21 248 0	29 627 0	0,22619	0,22619	4,06		-26 053 0	29 041 0	0,22619	0,22619	4,06		-42 561 0	32 244 0	0,22619	0,22619	4,16
P	S	00197	0	0	0,18096	0,18096	-	00198	0	0	0,18096	0,18096	-	00199	0	0	0,18096	0,18096	-
S	S		-1 040	7 952	0,12566	0,12566	5,39		-13 055	6 511	0,12566	0,12566	5,49		2 079	2 079	0,12566	0,12566	5,59
P	S	00200	-6 227 0	5 612 0	0,18096	0,18096	5,91	00201	-108 946 0	40 425 0	0,18096	0,18096	8,41	00202	-93 604 0	38 691 0	0,18096	0,18096	8,19
S	S		-52 757 0	65 708 0	0,22619	0,22619	4,86		-89 988 0	21 679 0	0,22619	0,22619	4,12		-71 424 0	19 374 0	0,22619	0,22619	4,03
P	S	00203	-82 676 0	38 949 0	0,18096	0,18096	8,14	00204	-62 627 0	42 037 0	0,18096	0,18096	8,24	00205	-55 362 0	49 945 0	0,18096	0,18096	8,83
S	S		-50 047 0	14 023 0	0,22619	0,22619	3,89		-32 251 0	2 996 0	0,22619	0,22619	3,69		0 269	0 951	0,22619	0,22619	3,45
P	S	00206	-40 240 0	45 156 0	0,18096	0,18096	8,33	00207	-24 540 0	42 696 0	0,18096	0,18096	8,04	00208	-24 782 0	47 902 0	0,18096	0,18096	8,44
S	S		0 476	0 11 294	0,22619	0,22619	3,43		0 -394	0 6 889	0,22619	0,22619	3,48		0 8 269	0 23 045	0,22619	0,22619	3,27
P	S	00209	2 078 0	41 672 0	0,18096	0,18096	7,80	00210	23 871 0	42 408 0	0,18096	0,18096	7,71	00211	14 778 0	45 958 0	0,18096	0,18096	8,03
S	S		0 9 930	0 19 643	0,22619	0,22619	3,31		0 8 277	0 17 717	0,22619	0,22619	3,33		0 11 644	0 21 467	0,22619	0,22619	3,28
P	S	00212	23 160 0	48 143 0	0,18096	0,18096	8,14	00213	13 957 0	50 309 0	0,18096	0,18096	8,38	00214	3 839 0	59 741 0	0,18096	0,18096	9,31
S	S		0 5 852	0 15 086	0,22619	0,22619	3,37		0 2 449	0 10 782	0,22619	0,22619	3,43		0 5 966	0 625 625	0,22619	0,22619	3,49
P	S	00215	7 205 0	61 416 0	0,18096	0,18096	9,46	00216	20 742 0	62 591 0	0,18096	0,18096	9,48	00217	22 164 0	70 106 0	0,18096	0,18096	10,33
S	S		0 3 198	0 8 594	0,22619	0,22619	3,45		0 -3 453	0 6 989	0,22619	0,22619	3,49		0 5 385	0 7 566	0,22619	0,22619	3,46
P	S	00218	10 879 0	72 417 0	0,18096	0,18096	10,74	00219	-12 238 0	84 132 0	0,18096	0,18096	12,83	00220	-46 045 0	82 378 0	0,18096	0,18096	12,85
S	S		0 -3 625	0 3 443	0,22619	0,22619	3,53		0 -830	0 11 321	0,22619	0,22619	3,43		0 -3 088	0 5 580	0,22619	0,22619	3,50
P	S	00221	-54 498 0	88 580 0	0,18096	0,18096	14,21	00222	-76 588 0	73 380 0	0,18096	0,18096	11,65	00223	0 -48 852	0 9 830	0,18096	0,18096	-
S	S		0 -7 132	0 13 477	0,22619	0,22619	3,42		0 -7 642	0 3 818	0,22619	0,22619	3,54		6 551 0	1 801 0	0,22619	0,22619	3,57
P	S	00224	0 -63 218	0 19 751	0,18096	0,12566	5,27	00225	0 -51 864	0 16 549	0,18096	0,12566	5,33	00226	0 -45 847	0 23 209	0,18096	0,12566	5,10
S	S		-3 914 0	17 864 0	0,22619	0,12566	3,83		-5 407 0	10 253 0	0,22619	0,12566	3,72		-1 620 0	19 667 0	0,22619	0,12566	3,85
P	S	00227	0 -26 420	0 20 431	0,18096	0,12566	5,10	00228	0 -12 618	0 23 052	0,18096	0,12566	4,97	00229	0 -11 820	0 21 011	0,18096	0,12566	5,02
S	S		-412 0 0	15 665 0	0,22619	0,12566	3,78		-4 106 0	18 908 0	0,22619	0,12566	3,84		-2 862 0	16 925 0	0,22619	0,12566	3,81
P	S	00230	0 -7 323	0 18 124	0,18096	0,12566	5,09	00231	0 -26 918	0 15 408	0,18096	0,12566	5,26	00232	0 11 812	0 17 590	0,18096	0,12566	5,03
S	S		-976	17	0,22619	0,22619	3,82		348	21	0,22619	0,22619	3,86		-18	41	0,22619	0,22619	4,26

Platee - Verifiche pressoflessione retta allo SLU

Dir	Pos	Nodo	N _{Ed} [N]	M _{Ed} [N-m]	A _s [cm ² /cm]	A _{df} [cm ² /cm]	CS	Nodo	N _{Ed} [N]	M _{Ed} [N-m]	A _s [cm ² /cm]	A _{df} [cm ² /cm]	CS	Nodo	N _{Ed} [N]	M _{Ed} [N-m]	A _s [cm ² /cm]	A _{df} [cm ² /cm]	CS
				843						246					255	847			
	I		0	0	0,12566	0,12566	-		0	0	0,12566	0,12566	-		0	0	0,12566	0,12566	-
P	S	00233	39	0	0,18096	0,18096	-	00234	0	0	0,18096	0,18096	-	00235	0	0	0,18096	0,18096	-
	I		102	23	0,12566	0,12566	4,74		55	28	0,12566	0,12566	4,54		111	32	0,12566	0,12566	4,24
S	S		25	50	0,22619	0,22619	4,28		3	47	0,22619	0,22619	4,30		19	49	0,22619	0,22619	4,28
	I		269	281	0,12566	0,12566	-		250	751	0,12566	0,12566	-		093	228	0,12566	0,12566	-
P	S	00236	0	0	0,18096	0,18096	-	00237	0	0	0,18096	0,18096	-	00238	0	0	0,18096	0,18096	-
	I		117	33	0,12566	0,12566	4,20		118	33	0,12566	0,12566	4,20		115	34	0,12566	0,12566	4,18
S	S		30	50	0,22619	0,22619	4,28		30	49	0,22619	0,22619	4,25		35	49	0,22619	0,22619	4,25
	I		160	946	0,12566	0,12566	-		535	515	0,12566	0,12566	-		113	999	0,12566	0,12566	-
P	S	00239	0	0	0,18096	0,18096	-	00240	0	0	0,18096	0,18096	-	00241	0	0	0,18096	0,18096	-
	I		115	29	0,12566	0,12566	4,29		96	27	0,12566	0,12566	4,42		73	101	0,12566	0,12566	3,19
S	S		30	45	0,22619	0,22619	4,18		28	43	0,22619	0,22619	4,15		0	0	0,22619	0,22619	-
	I		689	600	0,12566	0,12566	-		051	302	0,12566	0,12566	-		113	1	0,12566	0,12566	3,26
P	S	00242	0	0	0,18096	0,18096	-	00243	0	0	0,18096	0,18096	-	00244	0	0	0,18096	0,18096	-
	I		29	95	0,12566	0,12566	3,40		33	90	0,12566	0,12566	3,45		-19	79	0,12566	0,12566	3,79
S	S		53	2	0,22619	0,22619	3,46		46	1	0,22619	0,22619	3,47		15	009	0,22619	0,22619	3,54
	I		904	098	0,12566	0,12566	-		844	654	0,12566	0,12566	-		0	0	0,12566	0,12566	-
P	S	00245	0	0	0,18096	0,18096	-	00246	0	0	0,18096	0,18096	-	00247	0	0	0,18096	0,18096	-
	I		3	53	0,12566	0,12566	4,18		8	55	0,12566	0,12566	4,12		19	52	0,12566	0,12566	4,15
S	S		-12	8	0,22619	0,22619	3,71		25	16	0,22619	0,22619	3,73		39	23	0,22619	0,22619	3,79
	I		337	521	0,12566	0,12566	-		602	770	0,12566	0,12566	-		833	850	0,12566	0,12566	-
P	S	00248	0	0	0,18096	0,18096	-	00249	0	0	0,18096	0,18096	-	00250	0	0	0,18096	0,18096	-
	I		20	53	0,12566	0,12566	4,12		21	52	0,12566	0,12566	4,14		24	48	0,12566	0,12566	4,21
S	S		66	29	0,22619	0,22619	3,80		75	33	0,22619	0,22619	3,83		80	32	0,22619	0,22619	3,81
	I		861	518	0,12566	0,12566	-		968	055	0,12566	0,12566	-		472	608	0,12566	0,12566	-
P	S	00251	0	0	0,18096	0,18096	-	00252	0	0	0,18096	0,18096	-	00253	0	0	0,18096	0,18096	-
	I		22	47	0,12566	0,12566	4,23		22	45	0,12566	0,12566	4,27		15	35	0,12566	0,12566	4,53
S	S		86	31	0,22619	0,22619	3,78		87	29	0,22619	0,22619	3,74		85	18	0,22619	0,22619	3,58
	I		416	559	0,12566	0,12566	-		115	143	0,12566	0,12566	-		958	098	0,12566	0,12566	-
P	S	00254	0	0	0,18096	0,18096	-	00255	0	0	0,18096	0,18096	-	00256	0	0	0,18096	0,18096	-
	I		2	23	0,12566	0,12566	4,90		7	17	0,12566	0,12566	5,05		9	17	0,12566	0,12566	5,03
S	S		103	16	0,22619	0,22619	3,52		162	7	0,22619	0,22619	3,24		186	4	0,22619	0,22619	3,15
	I		296	738	0,12566	0,12566	-		117	485	0,12566	0,12566	-		659	882	0,12566	0,12566	-
P	S	00257	0	0	0,18096	0,18096	-	00258	0	0	0,18096	0,18096	-	00259	0	0	0,18096	0,18096	-
	I		21	17	0,12566	0,12566	5,00		4	14	0,12566	0,12566	5,16		11	19	0,12566	0,12566	4,97
S	S		0	0	0,22619	0,22619	-		0	0	0,22619	0,22619	-		0	0	0,22619	0,22619	-
	I		226	8	0,12566	0,12566	2,90		236	13	0,12566	0,12566	2,82		270	25	0,12566	0,12566	2,63
P	S	00260	0	0	0,18096	0,18096	-	00261	0	0	0,18096	0,18096	-	00262	0	0	0,18096	0,18096	-
	I		8	9	0,12566	0,12566	5,29		15	13	0,12566	0,12566	5,14		-14	6	0,12566	0,12566	5,50
S	S		553	706	0,22619	0,22619	-		246	519	0,22619	0,22619	-		147	490	0,22619	0,22619	-
	I		0	0	0,12566	0,12566	2,49		0	0	0,12566	0,12566	2,48		0	0	0,12566	0,12566	2,46
P	S	00263	7	2	0,18096	0,18096	5,72	00264	8	6	0,18096	0,18096	5,87	00265	9	11	0,18096	0,18096	6,07
	I		959	358	0,12566	0,12566	-		115	224	0,12566	0,12566	-		619	133	0,12566	0,12566	-
S	S		0	0	0,22619	0,22619	-		0	0	0,22619	0,22619	-		0	0	0,22619	0,22619	-
	I		204	151	0,12566	0,12566	1,96		215	148	0,12566	0,12566	1,96		213	137	0,12566	0,12566	2,02
P	S	00266	15	2	0,18096	0,18096	5,69	00267	5	10	0,18096	0,18096	6,05	00268	14	10	0,18096	0,18096	6,00
	I		031	511	0,12566	0,12566	-		347	240	0,12566	0,12566	-		394	044	0,12566	0,12566	-
S	S		0	0	0,22619	0,22619	-		0	0	0,22619	0,22619	-		0	0	0,22619	0,22619	-
	I		204	121	0,12566	0,12566	2,12		186	108	0,12566	0,12566	2,22		149	94	0,12566	0,12566	2,38
P	S	00269	9	574	0,18096	0,18096	5,64	00270	-2	4	0,18096	0,18096	5,84	00271	-470	4	0,18096	0,18096	5,84
	I		899	0	0,12566	0,12566	-		148	275	0,12566	0,12566	-		0	0	0,12566	0,12566	-
S	S		0	0	0,22619	0,22619	-		0	0	0,22619	0,22619	-		0	0	0,22619	0,22619	-
	I		107	71	0,12566	0,12566	2,62		96	58	0,12566	0,12566	2,74		68	49	0,12566	0,12566	2,87
P	S	00272	4	9	0,18096	0,18096	6,04	00273	5	11	0,18096	0,18096	6,10	00274	13	12	0,18096	0,18096	6,12
	I		767	921	0,12566	0,12566	-		980	439	0,12566	0,12566	-		404	0	0,12566	0,12566	-

Platee - Verifiche pressoflessione retta allo SLU

Dir	Pos	Nodo	N _{Ed}	M _{Ed}	A _s	A _{df}	CS	Nodo	N _{Ed}	M _{Ed}	A _s	A _{df}	CS	Nodo	N _{Ed}	M _{Ed}	A _s	A _{df}	CS
			[N]	[N-m]	[cm ² /cm]	[cm ² /cm]			[N]	[N-m]	[cm ² /cm]	[cm ² /cm]			[N]	[N-m]	[cm ² /cm]	[cm ² /cm]	
S	S		0 55 681	0 35 304	0,22619 0,12566	0,22619 0,12566	- 3,04		0 55 222	0 32 537	0,22619 0,12566	0,22619 0,12566	- 3,06		0 72 998	0 33 551	0,22619 0,12566	0,22619 0,12566	- 3,01
P	S	00275	9 879 0	10 143 0	0,18096 0,12566	0,18096 0,12566	6,02 -	00276	20 289 0	7 628 0	0,18096 0,12566	0,18096 0,12566	5,87 -	00277	18 672 0	8 512 0	0,18096 0,12566	0,18096 0,12566	5,91 -
S	S		0 83 435	0 32 688	0,22619 0,12566	0,22619 0,12566	- 3,00		0 96 675	0 34 819	0,22619 0,12566	0,22619 0,12566	- 2,95		0 115 822	0 47 070	0,22619 0,12566	0,22619 0,12566	- 2,80
P	S	00278	16 0 952	0 4 095	0,18096 0,12566	0,18096 0,12566	- 5,44	00279	0 28 075	0 3 305	0,18096 0,12566	0,18096 0,12566	- 5,42	00280	0 20 519	0 7 245	0,18096 0,12566	0,18096 0,12566	- 5,32
S	S		0 99 062	0 52 283	0,22619 0,12566	0,22619 0,12566	- 2,79		0 118 413	0 69 273	0,22619 0,12566	0,22619 0,12566	- 2,61		0 95 846	0 74 706	0,22619 0,12566	0,22619 0,12566	- 2,61
P	S	00281	0 150 611	0 69 455	0,18096 1,03044	0,18096 1,03044	- 1,45	00282	0 154 464	0 78 054	0,18096 0,12566	0,18096 0,12566	- 3,27	00283	0 119 165	0 68 262	0,18096 0,12566	0,18096 0,12566	- 3,53
S	S		0 130 077	0 58 701	0,22619 1,03044	0,22619 1,03044	- 1,59		0 132 637	0 41 708	0,22619 0,12566	0,22619 0,12566	- 2,80		0 87 127	0 34 525	0,22619 0,12566	0,22619 0,12566	- 2,97
P	S	00284	0 101 727	0 66 150	0,18096 0,12566	0,18096 0,12566	- 3,62	00285	0 95 812	0 66 119	0,18096 0,12566	0,18096 0,12566	- 3,64	00286	0 105 850	0 65 681	0,18096 0,12566	0,18096 0,12566	- 3,61
S	S		0 57 044	0 17 175	0,22619 0,12566	0,22619 0,12566	- 3,22		0 31 153	0 6 943	0,22619 0,12566	0,22619 0,12566	- 3,40		20 625 0	7 795 0	0,22619 0,12566	0,22619 0,12566	- 3,62
P	S	00287	0 75 590	0 54 750	0,18096 0,12566	0,18096 0,12566	- 3,91	00288	0 79 267	0 55 441	0,18096 0,12566	0,18096 0,12566	- 3,88	00289	0 56 847	0 49 416	0,18096 0,12566	0,18096 0,12566	- 4,08
S	S		13 949 0	1 905 0	0,22619 0,12566	0,22619 0,12566	3,56 -		8 092 0	16 395 0	0,22619 0,12566	0,22619 0,12566	3,77 -		-78 20 0	334 0 0	0,22619 0,12566	0,22619 0,12566	3,85 -
P	S	00290	0 47 474	0 45 737	0,18096 0,12566	0,18096 0,12566	- 4,18	00291	0 29 729	0 45 202	0,18096 0,12566	0,18096 0,12566	- 4,26	00292	0 25 722	0 45 988	0,18096 0,12566	0,18096 0,12566	- 4,26
S	S		4 170 0	20 547 0	0,22619 0,12566	0,22619 0,12566	3,84 -		2 780 0	18 333 0	0,22619 0,12566	0,22619 0,12566	3,81 -		-1 069 0	15 798 0	0,22619 0,12566	0,22619 0,12566	3,79 -
P	S	00293	0 30 802	0 50 473	0,18096 0,12566	0,18096 0,12566	- 4,14	00294	0 50 352	0 63 303	0,18096 0,12566	0,18096 0,12566	- 3,83	00295	0 53 773	0 63 920	0,18096 0,12566	0,18096 0,12566	- 3,81
S	S		5 342 0	11 519 0	0,22619 0,12566	0,22619 0,12566	3,71 -		-448 2 0	961 0 0	0,22619 0,12566	0,22619 0,12566	3,61 -		3 028 0	2 149 0	0,22619 0,12566	0,22619 0,12566	3,59 -
P	S	00296	0 50 039	0 72 293	0,18096 0,12566	0,18096 0,12566	- 3,68	00297	0 57 861	0 91 134	0,18096 0,12566	0,18096 0,12566	- 3,37	00298	0 78 628	0 100 371	0,18096 0,12566	0,18096 0,12566	- 3,19
S	S		2 701 0	513 0 0	0,22619 0,12566	0,22619 0,12566	3,57 -		-1 382 0	7 467 0	0,22619 0,12566	0,22619 0,12566	3,67 -		4 149 0	1 681 0	0,22619 0,12566	0,22619 0,12566	3,58 -
P	S	00299	0 96 776	0 124 964	0,18096 0,12566	0,18096 0,12566	- 2,86	00300	0 131 831	0 132 761	0,18096 0,12566	0,18096 0,12566	- 2,70	00301	0 133 576	0 149 091	0,18096 0,12566	0,18096 0,12566	- 2,55
S	S		6 629 0	9 769 0	0,22619 0,12566	0,22619 0,12566	3,68 -		5 715 0	5 157 0	0,22619 0,12566	0,22619 0,12566	3,62 -		7 087 0	11 977 0	0,22619 0,12566	0,22619 0,12566	3,71 -
P	S	00302	0 141 512	0 139 053	0,18096 0,12566	0,18096 0,12566	- 2,61	00303	0 117 932	0 56 608	0,18096 0,12566	0,18096 0,12566	- 3,73	00304	0 136 292	0 38 490	0,18096 0,12566	0,18096 0,12566	- 4,02
S	S		7 042 0	3 177 0	0,22619 0,12566	0,22619 0,12566	3,59 -		0 -9 876	0 2 578	0,22619 0,12566	0,22619 0,12566	- 3,56		0 4 583	0 19 578	0,22619 0,12566	0,22619 0,12566	- 3,32
P	S	00305	0 132 957	0 36 127	0,18096 0,12566	0,18096 0,12566	- 4,08	00306	0 126 049	0 15 706	0,18096 0,12566	0,18096 0,12566	- 4,60	00307	0 103 829	0 10 834	0,18096 0,12566	0,18096 0,12566	- 4,84
S	S		0 7 130	0 10 830	0,22619 0,12566	0,22619 0,12566	- 3,42		0 6 063	0 21 832	0,22619 0,12566	0,22619 0,12566	- 3,29		0 1 962	0 15 588	0,22619 0,12566	0,22619 0,12566	- 3,37
P	S	00308	84 699 0	4 275 0	0,18096 0,12566	0,18096 0,12566	5,43 -	00309	76 620 0	10 700 0	0,18096 0,12566	0,18096 0,12566	5,71 -	00310	77 038 0	12 659 0	0,18096 0,12566	0,18096 0,12566	5,79 -
S	S		0 7 077	0 21 272	0,22619 0,12566	0,22619 0,12566	- 3,30		0 -3 254	0 17 686	0,22619 0,12566	0,22619 0,12566	- 3,36		0 4 954	0 19 568	0,22619 0,12566	0,22619 0,12566	- 3,32
P	S	00311	71 878 0	15 372 0	0,18096 0,12566	0,18096 0,12566	5,93 -	00318	0 3 312 012	0 1 563 697	1,68892 1,03044	1,68892 1,03044	- 1,53	00319	0 2 848 761	0 1 773 544	1,68892 1,03044	1,68892 1,03044	- 1,53
S	S		0 -861	0 27	0,22619 0,12566	0,22619 0,12566	- 3,25		0 2	0 1	2,48814 1,03044	2,48814 1,03044	- 1,40		0 2	0 1	2,48814 1,03044	2,48814 1,03044	- 1,31

Platee - Verifiche pressoflessione retta allo SLU

Dir	Pos	Nodo	N _{Ed}	M _{Ed}	A _s	A _{df}	CS	Nodo	N _{Ed}	M _{Ed}	A _s	A _{df}	CS	Nodo	N _{Ed}	M _{Ed}	A _s	A _{df}	CS
			[N]	[N-m]	[cm ² /cm]	[cm ² /cm]			[N]	[N-m]	[cm ² /cm]	[cm ² /cm]			[N]	[N-m]	[cm ² /cm]	[cm ² /cm]	
				036					946 077	462 107					657 136	984 676			
P	S	00320	0 2 567 097	0 1 919 456	1,68892 1,03044	1,68892 1,03044	- 1,52	00321	0 2 304 865	0 1 464 646	1,68892 1,03044	1,68892 1,03044	- 1,79	00322	0 1 872 129	0 1 544 193	1,68892 1,03044	1,68892 1,03044	- 1,84
S	S		0 2 404 040	0 1 680 507	2,48814 1,03044	2,48814 1,03044	- 1,41		0 2 419 826	0 1 471 122	2,48814 1,03044	2,48814 1,03044	- 1,47		0 1 866 546	0 1 555 230	2,48814 1,03044	2,48814 1,03044	- 1,52
P	S	00323	0 1 609 011	0 1 429 833	1,68892 1,03044	1,68892 1,03044	- 1,96	00324	0 1 213 040	0 1 195 946	1,68892 1,03044	1,68892 1,03044	- 2,21	00325	0 1 042 750	0 1 296 512	1,68892 1,03044	1,68892 1,03044	- 2,18
S	S		0 1 502 312	0 1 399 144	2,48814 1,03044	2,48814 1,03044	- 1,62		0 1 237 376	0 1 181 609	2,48814 1,03044	2,48814 1,03044	- 1,73		0 1 066 128	0 1 251 458	2,48814 1,03044	2,48814 1,03044	- 1,73
P	S	00326	0 912 083	0 961 260	1,68892 1,03044	1,68892 1,03044	- 2,48	00327	0 469 203	0 975 489	1,68892 1,03044	1,68892 1,03044	- 2,58	00328	0 274 416	0 988 353	0,18096 1,03044	0,18096 1,03044	- 2,43
S	S		0 968 832	0 1 050 907	2,48814 1,03044	2,48814 1,03044	- 1,82		0 442 227	0 910 745	2,48814 1,03044	2,48814 1,03044	- 1,96		0 272 036	0 926 600	0,22619 1,03044	0,22619 1,03044	- 2,64
P	S	00329	0 127 730	0 758 118	0,18096 1,03044	0,18096 1,03044	- 2,13	00330	0 268 594	0 688 623	0,18096 1,03044	0,18096 1,03044	- 1,97	00331	0 -15 526	0 578 020	0,18096 1,03044	0,18096 1,03044	- 1,97
S	S		0 241 731	0 859 681	0,22619 1,03044	0,22619 1,03044	- 2,52		0 296 300	0 678 663	0,22619 1,03044	0,22619 1,03044	- 2,18		0 62 526	0 563 889	0,22619 1,03044	0,22619 1,03044	- 2,14
P	S	00332	0 12 735	0 468 082	0,18096 1,03044	0,18096 1,03044	- 1,83	00333	0 -54 282	0 389 903	0,18096 1,03044	0,18096 1,03044	- 1,78	00334	0 -35 399	0 314 376	0,18096 1,03044	0,18096 1,03044	- 1,70
S	S		0 102 946	0 456 115	0,22619 1,03044	0,22619 1,03044	- 1,98		0 -39 769	0 366 514	0,22619 1,03044	0,22619 1,03044	- 1,94		0 -40 671	0 281 336	0,22619 1,03044	0,22619 1,03044	- 1,85
P	S	00335	0 -105 072	0 197 421	0,18096 1,03044	0,18096 1,03044	- 1,63	00336	0 18 851	0 155 414	0,18096 1,03044	0,18096 1,03044	- 1,55	00337	0 -75 456	0 99 736	0,18096 1,03044	0,18096 1,03044	- 1,55
S	S		0 -38 897	0 212 319	0,22619 1,03044	0,22619 1,03044	- 1,79		0 36 787	0 152 809	0,22619 1,03044	0,22619 1,03044	- 1,70		0 -45 453	0 88 114	0,22619 1,03044	0,22619 1,03044	- 1,68
P	S	00338	0 -6 814	0 67 296	0,18096 1,03044	0,18096 1,03044	- 1,50	00339	0 17 528	0 43 811	0,18096 1,03044	0,18096 1,03044	- 1,48	00340	0 40 150	0 40 080	0,18096 1,03044	0,18096 1,03044	- 1,47
S	S		0 36 664	0 67 212	0,22619 1,03044	0,22619 1,03044	- 1,63		0 37 593	0 47 405	0,22619 1,03044	0,22619 1,03044	- 1,62		0 61 709	0 44 818	0,22619 1,03044	0,22619 1,03044	- 1,61
P	S	00341	0 81 621	0 40 815	0,18096 1,03044	0,18096 1,03044	- 1,45	00342	0 124 081	0 52 083	0,18096 1,03044	0,18096 1,03044	- 1,45	00375	0 815 122	0 952 231	0,18096 1,03044	0,18096 1,03044	- 2,51
S	S		0 86 190	0 50 097	0,22619 1,03044	0,22619 1,03044	- 1,60		0 125 770	0 63 368	0,22619 1,03044	0,22619 1,03044	- 1,60		0 4 151 749	0 241 272	2,48814 1,03044	2,48814 1,03044	- 1,29
P	S	00376	0 147 276	0 1 130 252	1,68892 1,03044	1,68892 1,03044	- 2,53	00377	0 606 976	0 1 231 327	1,68892 1,03044	1,68892 1,03044	- 2,33	00378	0 -468 478	0 1 216 634	1,68892 1,03044	1,68892 1,03044	- 2,62
S	S		0 3 820 453	0 1 420 563	2,48814 1,03044	2,48814 1,03044	- 1,29		0 3 156 392	0 1 362 017	2,48814 1,03044	2,48814 1,03044	- 1,39		0 2 836 420	0 1 142 063	2,48814 1,03044	2,48814 1,03044	- 1,50
P	S	00379	0 251 159	0 1 224 475	1,68892 1,03044	1,68892 1,03044	- 2,42	00380	0 510 376	0 1 135 761	1,68892 1,03044	1,68892 1,03044	- 2,43	00381	0 -231 681	0 1 074 104	0,18096 1,03044	0,18096 1,03044	- 2,96
S	S		0 2 481 083	0 1 029 998	2,48814 1,03044	2,48814 1,03044	- 1,59		0 1 775 360	0 855 109	2,48814 1,03044	2,48814 1,03044	- 1,76		0 1 511 807	0 742 014	0,22619 1,03044	0,22619 1,03044	- 1,65
P	S	00382	0 157 540	0 1 181 648	0,18096 1,03044	0,18096 1,03044	- 2,95	00383	0 496 604	0 1 027 834	0,18096 1,03044	0,18096 1,03044	- 2,36	00384	0 -85 699	0 992 842	0,18096 1,03044	0,18096 1,03044	- 2,67
S	S		0 1 208 129	0 696 424	0,22619 1,03044	0,22619 1,03044	- 1,74		0 829 172	0 506 630	0,22619 1,03044	0,22619 1,03044	- 1,71		0 614 688	0 495 059	0,22619 1,03044	0,22619 1,03044	- 1,79
P	S	00385	0 226 800	0 1 010 420	0,18096 1,03044	0,18096 1,03044	- 2,50	00386	0 507 949	0 873 293	0,18096 1,03044	0,18096 1,03044	- 2,09	00387	0 59 984	0 822 053	0,18096 1,03044	0,18096 1,03044	- 2,26

Platee - Verifiche pressoflessione retta allo SLU

Dir	Pos	Nodo	N _{Ed}	M _{Ed}	A _s	A _{df}	CS	Nodo	N _{Ed}	M _{Ed}	A _s	A _{df}	CS	Nodo	N _{Ed}	M _{Ed}	A _s	A _{df}	CS
			[N]	[N-m]	[cm ² /cm]	[cm ² /cm]			[N]	[N-m]	[cm ² /cm]	[cm ² /cm]			[N]	[N-m]	[cm ² /cm]	[cm ² /cm]	
S	S		0 426 172	0 408 146	0,22619 1,03044	0,22619 1,03044	-		0 237 124	0 250 786	0,22619 1,03044	0,22619 1,03044	-		0 56 333	0 278 275	0,22619 1,03044	0,22619 1,03044	-
P	S	00388	0 50 092	0 805 074	0,18096 1,03044	0,18096 1,03044	-	00389	0 420 755	0 618 934	0,18096 1,03044	0,18096 1,03044	-	00390	0 158 815	0 582 523	0,18096 1,03044	0,18096 1,03044	-
S	S		0 -55 177	0 208 278	0,22619 1,03044	0,22619 1,03044	-		0 -185 461	0 23 091	0,22619 1,03044	0,22619 1,03044	-		0 -209 753	0 73 441	0,22619 1,03044	0,22619 1,03044	-
P	S	00391	0 126 063	0 520 486	0,18096 1,03044	0,18096 1,03044	-	00392	0 325 549	0 386 038	0,18096 1,03044	0,18096 1,03044	-	00393	0 178 003	0 340 358	0,18096 1,03044	0,18096 1,03044	-
S	S		0 -235 906	0 24 407	0,22619 1,03044	0,22619 1,03044	-		-269 341	86 052	0,22619 1,03044	0,22619 1,03044	-		-239 767	61 423	0,22619 1,03044	0,22619 1,03044	-
P	S	00394	0 101 231	0 258 684	0,18096 1,03044	0,18096 1,03044	-	00395	0 139 860	0 223 080	0,18096 1,03044	0,18096 1,03044	-	00396	0 150 744	0 180 350	0,18096 1,03044	0,18096 1,03044	-
S	S		-220 341 0	79 030 0	0,22619 1,03044	0,22619 1,03044	-		-190 063 0	97 198 0	0,22619 1,03044	0,22619 1,03044	-		-130 799 0	84 054 0	0,22619 1,03044	0,22619 1,03044	-
P	S	00397	0 111 276	0 140 197	0,18096 1,03044	0,18096 1,03044	-	00398	0 122 505	0 125 737	0,18096 1,03044	0,18096 1,03044	-	00399	0 130 856	0 112 823	0,18096 1,03044	0,18096 1,03044	-
S	S		-86 519 0	63 975 0	0,22619 1,03044	0,22619 1,03044	-		-55 606 0	52 177 0	0,22619 1,03044	0,22619 1,03044	-		-27 254 0	27 415 0	0,22619 1,03044	0,22619 1,03044	-
P	S	00400	0 120 188	0 97 082	0,18096 1,03044	0,18096 1,03044	-	00433	0 5 004	0 7 058	0,18096 1,03044	0,18096 1,03044	-	00434	0 4 135	0 10 910	0,18096 1,03044	0,18096 1,03044	-
S	S		-10 855 0	9 572 0	0,22619 1,03044	0,22619 1,03044	-		-122 103 0	67 401 0	0,22619 1,03044	0,22619 1,03044	-		-138 229 0	57 796 0	0,22619 1,03044	0,22619 1,03044	-
P	S	00435	0 -4 267	0 13 455	0,18096 1,03044	0,18096 1,03044	-	00436	0 172 307	0 64 274	0,18096 1,03044	0,18096 1,03044	-	00437	0 180 860	0 73 969	0,18096 1,03044	0,18096 1,03044	-
S	S		-118 064 0	99 882 0	0,22619 1,03044	0,22619 1,03044	-		-118 658 0	67 059 0	0,22619 1,03044	0,22619 1,03044	-		-147 747 0	94 787 0	0,22619 1,03044	0,22619 1,03044	-
P	S	00438	0 200 134	0 66 449	0,18096 1,03044	0,18096 1,03044	-	00439	0 218 532	0 54 642	0,18096 1,03044	0,18096 1,03044	-	00440	0 244 410	0 47 791	0,18096 1,03044	0,18096 1,03044	-
S	S		-177 028 0	107 789 0	0,22619 1,03044	0,22619 1,03044	-		-150 033 0	190 704 0	0,22619 1,03044	0,22619 1,03044	-		-131 214 0	184 017 0	0,22619 1,03044	0,22619 1,03044	-
P	S	00441	221 815 0	13 277 0	0,18096 1,03044	0,18096 1,03044	-	00442	179 934 0	15 043 0	0,18096 1,03044	0,18096 1,03044	-	00443	152 111 0	47 177 0	0,18096 1,03044	0,18096 1,03044	-
S	S		-99 958 0	301 769 0	0,22619 1,03044	0,22619 1,03044	-		-171 765 0	314 521 0	0,22619 1,03044	0,22619 1,03044	-		-308 772 0	342 896 0	0,22619 1,03044	0,22619 1,03044	-
P	S	00444	74 759 0	157 474 0	0,18096 1,03044	0,18096 1,03044	-	00445	-2 013 0	132 644 0	0,18096 1,03044	0,18096 1,03044	-	00446	-69 175 0	228 234 0	0,18096 1,03044	0,18096 1,03044	-
S	S		-202 066 0	496 968 0	0,22619 1,03044	0,22619 1,03044	-		-167 803 0	434 366 0	0,22619 1,03044	0,22619 1,03044	-		-52 136 0	610 906 0	0,22619 1,03044	0,22619 1,03044	-
P	S	00447	-204 519 0	358 605 0	0,18096 1,03044	0,18096 1,03044	-	00448	-445 407 0	289 277 0	0,18096 1,03044	0,18096 1,03044	-	00449	-610 839 0	403 852 0	0,18096 1,03044	0,18096 1,03044	-
S	S		53 364 0	601 153 0	0,22619 1,03044	0,22619 1,03044	-		-277 690 0	601 458 0	0,22619 1,03044	0,22619 1,03044	-		-236 170 0	693 247 0	0,22619 1,03044	0,22619 1,03044	-
P	S	00450	-807 299	541 520	0,18096	0,18096	-	00451	-1 023 770	489 872	0,18096	0,18096	-	00452	-1 302 192	694 955	0,18096	0,18096	-
S	S		-244 008 0	702 004 0	0,22619 1,03044	0,22619 1,03044	-		-50 980 0	741 998	0,22619 1,03044	0,22619 1,03044	-		88 504 0	756 293 0	0,22619 1,03044	0,22619 1,03044	-
P	S	00453	-1 738 004	782 801	0,18096	0,18096	-	00454	-2 018 965	810 358	0,18096	0,18096	-	00455	-2 461 017	1 051 114	0,18096	0,18096	-
S	S		-569 852 0	817 565 0	0,22619 1,03044	0,22619 1,03044	-		-229 776 0	799 114	0,22619 1,03044	0,22619 1,03044	-		-314 188 0	924 890 0	0,22619 1,03044	0,22619 1,03044	-
P	S	00456	-2 732 513	1 103 214	0,18096	0,18096	-	00457	-3 040 516	1 203 810	0,18096	0,18096	-	00458	-3 182 600	884 801	1,68892	1,68892	-
S	S		-424 843	909 240	0,22619	0,22619	-		65 512	992 382	0,22619	0,22619	-		-1 123	765 216	2,48814	2,48814	-

Platee - Verifiche pressoflessione retta allo SLU

Dir	Pos	Nodo	N _{Ed} [N]	M _{Ed} [N-m]	A _s [cm ² /cm]	A _{df} [cm ² /cm]	CS	Nodo	N _{Ed} [N]	M _{Ed} [N-m]	A _s [cm ² /cm]	A _{df} [cm ² /cm]	CS	Nodo	N _{Ed} [N]	M _{Ed} [N-m]	A _s [cm ² /cm]	A _{df} [cm ² /cm]	CS
	I		0	0	0,12566	0,12566	-		842	915	0,12566	0,12566	-		69	26	0,12566	0,12566	4,56
S	S		0	0	0,22619	0,22619	-		0	0	0,22619	0,22619	-		61	62	0,22619	0,22619	4,41
	I		-23	90	0,12566	0,12566	2,73		-28	68	0,12566	0,12566	2,92		0	0	0,12566	0,12566	-
P	S	00665	0	0	0,18096	0,18096	-	00666	0	0	0,18096	0,18096	-	00667	0	0	0,18096	0,18096	-
	I		70	31	0,12566	0,12566	4,43		78	35	0,12566	0,12566	4,30		63	31	0,12566	0,12566	4,44
S	S		71	70	0,22619	0,22619	4,54		76	70	0,22619	0,22619	4,53		68	66	0,22619	0,22619	4,46
	I		833	265	0,12566	0,12566	-		807	799	0,12566	0,12566	-		361	046	0,12566	0,12566	-
P	S	00668	-31	16	0,18096	0,18096	6,51	00669	-69	14	0,18096	0,18096	6,63	00670	-88	21	0,18096	0,18096	7,05
	I		386	207	0,12566	0,12566	-		577	754	0,12566	0,12566	-		424	048	0,12566	0,12566	-
S	S		-67	54	0,22619	0,22619	4,66		-89	57	0,22619	0,22619	4,80		-114	53	0,22619	0,22619	4,78
	I		703	597	0,12566	0,12566	-		990	437	0,12566	0,12566	-		681	088	0,12566	0,12566	-
P	S	00671	-103	20	0,18096	0,18096	7,12	00672	-36	7	0,18096	0,18096	6,14	00673	-36	10	0,18096	0,18096	6,25
	I		048	868	0,12566	0,12566	-		062	629	0,12566	0,12566	-		818	095	0,12566	0,12566	-
S	S		-109	45	0,22619	0,22619	4,62		0	0	0,22619	0,22619	-		0	0	0,22619	0,22619	-
	I		0	0	0,12566	0,12566	-		-30	73	0,12566	0,12566	2,88		-36	84	0,12566	0,12566	2,80
P	S	00674	-42	9	0,18096	0,18096	6,24	00675	-37	6	0,18096	0,18096	6,09	00676	-16	5	0,18096	0,18096	5,96
	I		676	112	0,12566	0,12566	-		267	332	0,12566	0,12566	-		971	513	0,12566	0,12566	-
S	S		0	0	0,22619	0,22619	-		0	0	0,22619	0,22619	-		0	0	0,22619	0,22619	-
	I		-39	93	0,12566	0,12566	2,74		-37	95	0,12566	0,12566	2,72		-32	98	0,12566	0,12566	2,69
P	S	00677	0	0	0,18096	0,18096	-	00678	0	0	0,18096	0,18096	-	00679	0	0	0,18096	0,18096	-
	I		50	31	0,12566	0,12566	4,51		107	35	0,12566	0,12566	4,20		133	39	0,12566	0,12566	1,43
S	S		528	038	0,22619	0,22619	-		054	250	0,22619	0,22619	-		082	413	0,22619	0,22619	-
	I		0	0	0,12566	0,12566	2,57		0	0	0,12566	0,12566	2,49		160	85	0,12566	0,12566	1,60
P	S	00680	0	0	0,18096	0,18096	-	00735	-36	14	0,18096	0,18096	6,46	00736	11	58	0,18096	0,18096	9,16
	I		152	49	1,03044	1,03044	1,43		119	689	0,12566	0,12566	-		215	762	0,12566	0,12566	-
S	S		0	0	0,22619	0,22619	-		0	0	0,22619	0,22619	-		0	0	0,22619	0,22619	-
	I		163	76	1,03044	1,03044	1,59		-17	64	0,12566	0,12566	2,93		25	20	0,12566	0,12566	3,27
P	S	00737	-4	26	0,18096	0,18096	6,88	00738	0	0	0,18096	0,18096	-	00739	-9	5	0,18096	0,18096	5,93
	I		135	435	0,12566	0,12566	-		-1	12	0,12566	0,12566	5,25		397	545	0,12566	0,12566	-
S	S		0	0	0,22619	0,22619	-		-16	32	0,22619	0,22619	4,09		-67	65	0,22619	0,22619	4,91
	I		-49	26	0,12566	0,12566	3,37		292	695	0,12566	0,12566	-		529	656	0,12566	0,12566	-
P	S	00740	-62	45	0,18096	0,18096	8,52	00741	5	55	0,18096	0,18096	8,92	00742	0	0	0,18096	0,18096	-
	I		692	721	0,12566	0,12566	-		204	763	0,12566	0,12566	-		-7	17	0,12566	0,12566	5,12
S	S		0	0	0,22619	0,22619	-		0	0	0,22619	0,22619	-		960	29	0,22619	0,22619	3,99
	I		-14	6	0,12566	0,12566	3,52		-1	9	0,12566	0,12566	3,45		0	0	0,12566	0,12566	-
P	S	00743	0	0	0,18096	0,18096	-	00744	0	0	0,18096	0,18096	-	00745	0	0	0,18096	0,18096	-
	I		73	32	0,12566	0,12566	4,38		17	67	0,12566	0,12566	3,87		4	28	0,12566	0,12566	4,74
S	S		083	858	0,22619	0,22619	4,42		302	123	0,22619	0,22619	3,61		99	20	0,22619	0,22619	3,59
	I		33	58	0,12566	0,12566	-		0	0	0,12566	0,12566	-		0	0	0,12566	0,12566	-
P	S	00746	2	9	0,18096	0,18096	6,04	00747	0	0	0,18096	0,18096	-	00748	0	0	0,18096	0,18096	-
	I		822	783	0,12566	0,12566	-		23	14	0,12566	0,12566	5,07		108	69	0,12566	0,12566	3,55
S	S		0	0	0,22619	0,22619	-		250	702	0,22619	0,22619	-		605	018	0,22619	0,22619	-
	I		65	38	0,12566	0,12566	2,98		0	0	0,12566	0,12566	2,57		0	3	0,12566	0,12566	3,46
P	S	00749	0	0	0,18096	0,18096	-	00750	54	18	0,18096	0,18096	6,14	00751	71	14	0,18096	0,18096	5,92
	I		42	55	0,12566	0,12566	4,01		807	127	0,12566	0,12566	-		415	964	0,12566	0,12566	-
S	S		3	9	0,22619	0,22619	3,68		0	0	0,22619	0,22619	-		0	0	0,22619	0,22619	-
	I		192	091	0,12566	0,12566	-		-2	30	0,12566	0,12566	3,22		8	22	0,12566	0,12566	3,28
P	S	00752	86	1	0,18096	0,18096	5,30	00753	0	0	0,18096	0,18096	-	00754	0	0	0,18096	0,18096	-
	I		301	092															

Platee - Verifiche pressoflessione retta allo SLU

Dir	Pos	Nodo	N _{Ed} [N]	M _{Ed} [N-m]	A _s [cm ² /cm]	A _{df} [cm ² /cm]	CS	Nodo	N _{Ed} [N]	M _{Ed} [N-m]	A _s [cm ² /cm]	A _{df} [cm ² /cm]	CS	Nodo	N _{Ed} [N]	M _{Ed} [N-m]	A _s [cm ² /cm]	A _{df} [cm ² /cm]	CS
	I		0	0	0,12566	0,12566	-		108 680	21 054	0,12566	0,12566	4,53		120 696	45 826	0,12566	0,12566	3,92
S	S		0	0	0,22619	0,22619	-		0	0	0,22619	0,22619	-		-7 826	7 253	0,22619	0,22619	3,68
	I		8 237	17 234	0,12566	0,12566	3,34		4 204	6 760	0,12566	0,12566	3,47		0	0	0,12566	0,12566	-
P	S	00755	0	0	0,18096	0,18096	-	00756	0	0	0,18096	0,18096	-	00757	0	0	0,18096	0,18096	-
	I		121 157	63 794	0,12566	0,12566	3,59		122 590	155 478	0,12566	0,12566	2,52		103 306	137 574	0,12566	0,12566	2,72
S	S		-20 224	27 394	0,22619	0,22619	4,02		-11 726	24 392	0,22619	0,22619	3,95		3 951	22 541	0,22619	0,22619	3,87
	I		0	0	0,12566	0,12566	-		0	0	0,12566	0,12566	-		0	0	0,12566	0,12566	-
P	S	00758	0	0	0,18096	0,18096	-	00759	0	0	0,18096	0,18096	-	00760	-10 651	30 840	0,18096	0,18096	7,17
	I		72 040	106 064	0,12566	0,12566	3,14		48 772	77 450	0,12566	0,12566	3,60		0	0	0,12566	0,12566	-
S	S		11 470	14 489	0,22619	0,22619	3,73		8 562	6 343	0,22619	0,22619	3,63		0	0	0,22619	0,22619	-
	I		0	0	0,12566	0,12566	-		0	0	0,12566	0,12566	-		34 510	46 715	0,12566	0,12566	2,98
P	S	00761	1 424	23 702	0,18096	0,18096	6,71	00762	70 160	25 909	0,18096	0,18096	6,44	00763	72 704	18 145	0,18096	0,18096	6,05
	I		0	0	0,12566	0,12566	-		0	0	0,12566	0,12566	-		0	0	0,12566	0,12566	-
S	S		0	0	0,22619	0,22619	-		0	0	0,22619	0,22619	-		0	0	0,22619	0,22619	-
	I		11 095	39 688	0,12566	0,12566	3,09		-10 593	28 048	0,12566	0,12566	3,26		18 819	9 517	0,12566	0,12566	3,40
P	S	00764	0	0	0,18096	0,18096	-	00765	0	0	0,18096	0,18096	-	00766	0	0	0,18096	0,18096	-
	I		85 851	4 557	0,12566	0,12566	5,11		102 343	32 967	0,12566	0,12566	4,26		121 744	65 036	0,12566	0,12566	3,57
S	S		10 011	8 570	0,22619	0,22619	3,66		-11 914	27 678	0,22619	0,22619	4,00		-44 151	47 396	0,22619	0,22619	4,44
	I		0	0	0,12566	0,12566	-		0	0	0,12566	0,12566	-		0	0	0,12566	0,12566	-
P	S	00767	0	0	0,18096	0,18096	-	00768	0	0	0,18096	0,18096	-	00769	0	0	0,18096	0,18096	-
	I		129 032	180 187	0,12566	0,12566	2,32		102 616	161 631	0,12566	0,12566	2,51		72 733	123 512	0,12566	0,12566	2,94
S	S		-46 900	44 659	0,22619	0,22619	4,40		-16 800	49 629	0,22619	0,22619	4,40		12 753	46 611	0,22619	0,22619	4,25
	I		0	0	0,12566	0,12566	-		0	0	0,12566	0,12566	-		0	0	0,12566	0,12566	-
P	S	00770	0	0	0,18096	0,18096	-	00771	0	0	0,18096	0,18096	-	00772	0	0	0,18096	0,18096	-
	I		43 816	85 044	0,12566	0,12566	3,50		22 382	56 601	0,12566	0,12566	4,05		69 787	68 594	0,12566	0,12566	3,68
S	S		29 635	37 801	0,22619	0,22619	4,05		19 926	20 474	0,22619	0,22619	3,80		-24 030	22 947	0,22619	0,22619	3,96
	I		0	0	0,12566	0,12566	-		0	0	0,12566	0,12566	-		0	0	0,12566	0,12566	-
P	S	00773	0	0	0,18096	0,18096	-	00774	-48 529	32 778	0,18096	0,18096	7,51	00775	-38 934	36 785	0,18096	0,18096	7,72
	I		48 105	45 451	0,12566	0,12566	4,19		0	0	0,12566	0,12566	-		0	0	0,12566	0,12566	-
S	S		12 547	15 593	0,22619	0,22619	3,75		0	0	0,22619	0,22619	-		0	0	0,22619	0,22619	-
	I		0	0	0,12566	0,12566	-		-540	48 951	0,12566	0,12566	3,03		25 705	41 754	0,12566	0,12566	3,04
P	S	00776	-45 147	40 222	0,18096	0,18096	7,99	00777	74 901	40 503	0,18096	0,18096	7,25	00778	70 952	19 045	0,18096	0,18096	6,10
	I		0	0	0,12566	0,12566	-		0	0	0,12566	0,12566	-		0	0	0,12566	0,12566	-
S	S		0	0	0,22619	0,22619	-		53 606	8 062	0,22619	0,22619	3,53		32 526	22 789	0,22619	0,22619	3,80
	I		50 912	31 287	0,12566	0,12566	3,09		0	0	0,12566	0,12566	-		0	0	0,12566	0,12566	-
P	S	00779	0	0	0,18096	0,18096	-	00780	0	0	0,18096	0,18096	-	00781	0	0	0,18096	0,18096	-
	I		82 672	12 150	0,12566	0,12566	4,89		106 186	50 732	0,12566	0,12566	3,88		139 701	86 794	0,12566	0,12566	3,19
S	S		946	43 278	0,22619	0,22619	4,23		-47 180	65 613	0,22619	0,22619	4,84		-94 354	88 598	0,22619	0,22619	5,61
	I		0	0	0,12566	0,12566	-		0	0	0,12566	0,12566	-		0	0	0,12566	0,12566	-
P	S	00782	0	0	0,18096	0,18096	-	00783	0	0	0,18096	0,18096	-	00784	0	0	0,18096	0,18096	-
	I		121 327	208 519	0,12566	0,12566	2,15		81 014	154 040	0,12566	0,12566	2,63		50 344	100 887	0,12566	0,12566	3,26
S	S		-73 108	76 102	0,22619	0,22619	5,18		-4 495	79 275	0,22619	0,22619	5,02		37 743	78 349	0,22619	0,22619	4,85
	I		0	0	0,12566	0,12566	-		0	0	0,12566	0,12566	-		0	0	0,12566	0,12566	-
P	S	00785	0	0	0,18096	0,18096	-	00786	0	0	0,18096	0,18096	-	00787	0	0	0,18096	0,18096	-
	I		21 855	58 376	0,12566	0,12566	4,02		45 690	22 296	0,12566	0,12566	4,76		101 567	37 764	0,12566	0,12566	4,16
S	S		57 797	76 807	0,22619	0,22619	4,74		82 994	80 375	0,22619	0,22619	4,73		42 578	45 762	0,22619	0,22619	4,15
	I		0	0	0,12566	0,12566	-		0	0	0,12566	0,12566	-		0	0	0,12566	0,12566	-
P	S	00788	0	0	0,18096	0,18096	-	00789	0	0	0,18096	0,18096	-	00790	-43 924	19 913	0,18096	0,18096	6,76
	I		83 262	39 398	0,12566	0,12566	4,19		80 098	46 387	0,12566	0,12566	4,05		0	0	0,12566	0,12566	-
S	S		20 813	40 478	0,22619	0,22619	4,12		7 152	31 089	0,22619	0,22619	4,00		0	0	0,22619	0,22619	-
	I		0	0	0,12566	0,12566	-		0	0	0,12566	0,12566	-		-14	54	0,12566	0,12566	3,01

Platee - Verifiche pressoflessione retta allo SLU

Dir	Pos	Nodo	N _{Ed}	M _{Ed}	A _s	A _{df}	CS	Nodo	N _{Ed}	M _{Ed}	A _s	A _{df}	CS	Nodo	N _{Ed}	M _{Ed}	A _s	A _{df}	CS	
			[N]	[N-m]	[cm/cm]	[cm/cm]			[N]	[N-m]	[cm/cm]	[cm/cm]			[N]	[N-m]	[cm/cm]	[cm/cm]		[N]
P	S	00791	-38 530	30 507	0,18096	0,18096	7,31	00792	-31 657	40 813	0,18096	0,18096	7,95	00793	-31 008	49 956	0,18096	0,18096	8,66	
I			0 0	0 0	0,12566	0,12566	-		0 0	0 0	0,12566	0,12566	-		0 0	0 0	0,12566	0,12566	-	-
S	S		0 -1 379	0 50 358	0,22619	0,22619	-		0 26 260	0 39 745	0,22619	0,22619	-		0 61 877	0 22 850	0,22619	0,22619	-	-
P	S	00794	-38 028	61 656	0,18096	0,18096	9,84	00795	26 409	72 620	0,18096	0,18096	10,63	00796	48 039	47 149	0,18096	0,18096	7,89	
I			0 0	0 0	0,12566	0,12566	-		0 0	0 0	0,12566	0,12566	-		0 0	0 0	0,12566	0,12566	-	-
S	S		126 289	1 798	0,22619	0,22619	3,27		124 107	18 239	0,22619	0,22619	3,48		70 702	33 263	0,22619	0,22619	3,85	-
P	S	00797	59 002	16 466	0,18096	0,18096	6,05	00798	0 83	0 29	0,18096	0,18096	-	00799	0 143	0 89	0,18096	0,18096	-	
I			0 0	0 0	0,12566	0,12566	-		509 792	0,12566	0,12566	4,41	173 448		0,12566	0,12566	3,15	-	-	
S	S		33 834	51 759	0,22619	0,22619	4,28		-24 887	74 455	0,22619	0,22619	4,97		-126 269	95 856	0,22619	0,22619	5,96	-
P	S	00800	170 006	0 020	0,18096	0,18096	-	00801	0 99	0 211	0,18096	0,18096	-	00802	0 64	0 132	0,18096	0,18096	-	
I			0 0	0 0	0,12566	0,12566	1,68		457 029	0,12566	0,12566	2,18	322 082		0,12566	0,12566	2,87	-	-	
S	S		-147 118	82 364	0,22619	0,22619	5,62		-46 830	98 246	0,22619	0,22619	5,73		31 660	108 126	0,22619	0,22619	5,73	-
P	S	00803	0 45	0 70	0,18096	0,18096	-	00804	0 39	0 25	0,18096	0,18096	-	00805	33 690	9 282	0,18096	0,18096	-	
I			320 219	0,12566	0,12566	3,73	049 702		0,12566	0,12566	4,69	0 0	0,12566		0,12566	-	-			
S	S		76 922	114 423	0,22619	0,22619	5,76		107 000	120 513	0,22619	0,22619	5,85		120 617	108 161	0,22619	0,22619	5,36	-
P	S	00806	0 113	0 26	0,18096	0,18096	-	00807	0 115	0 36	0,18096	0,18096	-	00808	0 114	0 50	0,18096	0,18096	-	
I			754 490	0,12566	0,12566	4,37	707 477		0,12566	0,12566	4,14	952 972	0,12566		0,12566	3,84	-	-		
S	S		54 495	96 845	0,22619	0,22619	5,28		18 984	70 888	0,22619	0,22619	4,74		4 032	47 037	0,22619	0,22619	4,29	-
P	S	00809	0 112	0 63	0,18096	0,18096	-	00810	0 98	0 68	0,18096	0,18096	-	00811	-33 572	10 103	0,18096	0,18096	-	
I			290 015	0,12566	0,12566	3,64	812 350		0,12566	0,12566	3,59	0 0	0,12566		0,12566	6,24	-	-		
S	S		6 291	22 249	0,22619	0,22619	3,86		15 935	1 320	0,22619	0,22619	3,54		0 0	0,22619	0,22619	-	-	
P	S	00812	-28 736	17 502	0,18096	0,18096	6,55	00813	-23 204	28 076	0,18096	0,18096	7,08	00814	-19 806	41 935	0,18096	0,18096	-	
I			0 0	0,12566	0,12566	-	0 0		0,12566	0,12566	-	0 0	0,12566		0,12566	-	-			
S	S		0 -12	0 67	0,22619	0,22619	-		0 171	0,22619	0,22619	-	0 23		0,22619	0,22619	-	-		
P	S	00815	-19 118	57 531	0,18096	0,18096	9,26	00816	-19 268	73 585	0,18096	0,18096	11,17	00817	-22 049	85 774	0,18096	0,18096	-	
I			0 0	0,12566	0,12566	-	0 0		0,12566	0,12566	-	0 0	0,12566		0,12566	-	-			
S	S		0 55	0 26	0,22619	0,22619	-		0 94	0,22619	0,22619	-	133 997		9 512	0,22619	0,22619	3,34	-	-
P	S	00818	5 872	79 215	0,18096	0,18096	11,79	00819	28 792	51 447	0,18096	0,18096	8,37	00820	55 122	3 138	0,18096	0,18096	-	
I			0 0	0,12566	0,12566	-	0 0		0,12566	0,12566	-	0 0	0,12566		0,12566	-	-			
S	S		124 805	29 611	0,22619	0,22619	3,64		84 638	50 259	0,22619	0,22619	4,10		26 470	70 685	0,22619	0,22619	4,71	-
P	S	00821	0 98	0 67	0,18096	0,18096	-	00822	0 205	0 159	0,18096	0,18096	-	00823	0 143	0 313	0,18096	0,18096	-	
I			911 0	901 0	0,12566	0,12566	3,60		236 661	0,12566	0,12566	2,30	823 496		0,12566	0,12566	1,63	-	-	
S	S		-69 962	89 648	0,22619	0,22619	5,55		-188 030	110 006	0,22619	0,22619	6,74		-132 933	95 049	0,22619	0,22619	5,96	-
P	S	00824	0 80	0 191	0,18096	0,18096	-	00825	0 57	0 97	0,18096	0,18096	-	00826	0 56	0 34	0,18096	0,18096	-	
I			557 0	252 0	0,12566	0,12566	2,34		851 390	0,12566	0,12566	3,29	240 543		0,12566	0,12566	4,40	-	-	
S	S		11 055	116 633	0,22619	0,22619	6,13		87 000	135 249	0,22619	0,22619	6,56		122 232	146 703	0,22619	0,22619	6,95	-
P	S	00827	0 65	0 513	0,18096	0,18096	-	00828	0 96	0 2	0,18096	0,18096	-	00829	0 130	0 21	0,18096	0,18096	-	
I			404 0	0,12566	0,12566	5,34	214 944		0,12566	0,12566	5,12	374 085	0,12566		0,12566	4,44	-	-		
S	S		132 213	148 412	0,22619	0,22619	6,99		107 304	142 830	0,22619	0,22619	6,83		46 950	125 535	0,22619	0,22619	6,32	-
I		0 0	0,12566	0,12566	-	0 0	0,12566	0,12566	-	0 0	0,12566	0,12566	-	-						

Platee - Verifiche pressoflessione retta allo SLU

Dir	Pos	Nodo	N _{Ed}	M _{Ed}	A _s	A _{df}	CS	Nodo	N _{Ed}	M _{Ed}	A _s	A _{df}	CS	Nodo	N _{Ed}	M _{Ed}	A _s	A _{df}	CS
			[N]	[N-m]	[cm ² /cm]	[cm ² /cm]			[N]	[N-m]	[cm ² /cm]	[cm ² /cm]			[N]	[N-m]	[cm ² /cm]	[cm ² /cm]	
P	S	00830	0	0	0,18096	0,18096	-	00831	0	0	0,18096	0,18096	-	00832	0	0	0,18096	0,18096	-
I	144		40	0,12566	0,12566	3,94	147		58	0,12566	0,12566	3,60	138		69	0,12566	0,12566	3,45	
S	S	00833	6	98	0,22619	0,22619	5,51	00834	-10	65	0,22619	0,22619	4,70	00835	27	266	0,22619	0,22619	3,96
I	697		064	0,12566	0,12566	-	496		007	0,12566	0,12566	-	844		0	0,12566	0,12566	-	
P	S	00836	0	0	0,18096	0,18096	-	00837	-26	10	0,18096	0,18096	6,22	00838	-19	14	0,18096	0,18096	6,37
I	129		69	0,12566	0,12566	3,47	993		428	0,12566	0,12566	-	400		0	0,12566	0,12566	-	
S	S	00839	0	0	0,22619	0,22619	-	00840	0	0	0,22619	0,22619	-	00841	0	0	0,22619	0,22619	-
I	30		6	0,12566	0,12566	3,40	-29		93	0,12566	0,12566	2,72	-14		83	0,12566	0,12566	2,76	
P	S	00842	-12	24	0,18096	0,18096	6,82	00843	-8	39	0,18096	0,18096	7,73	00844	-8	59	0,18096	0,18096	9,36
I	331		469	0,12566	0,12566	-	385		725	0,12566	0,12566	-	698		231	0,12566	0,12566	-	
S	S	00845	0	0	0,22619	0,22619	-	00846	0	0	0,22619	0,22619	-	00847	0	0	0,22619	0,22619	-
I	-1		70	0,12566	0,12566	2,84	18		55	0,12566	0,12566	2,93	48		38	0,12566	0,12566	3,02	
P	S	00848	-12	80	0,18096	0,18096	12,17	00849	-17	98	0,18096	0,18096	1,40	00850	-16	105	0,18096	0,18096	1,39
I	352		433	0,12566	0,12566	-	900		791	1,03044	1,03044	-	258		222	1,03044	1,03044	-	
S	S	00849	0	0	0,22619	0,22619	-	00851	0	0	0,22619	0,22619	-	00852	148	17	0,22619	0,22619	1,53
I	85		19	0,12566	0,12566	3,12	124		1	1,03044	1,03044	1,55	100		122	1,03044	1,03044	-	
P	S	00850	770	88	0,18096	0,18096	1,40	00853	26	44	0,18096	0,18096	1,42	00854	0	0	0,18096	0,18096	-
I	0		0	1,03044	1,03044	-	000		753	1,03044	1,03044	-	67		32	1,03044	1,03044	1,45	
S	S	00851	137	36	0,22619	0,22619	1,52	00854	94	55	0,22619	0,22619	1,52	00855	7	71	0,22619	0,22619	1,54
I	741		691	1,03044	1,03044	-	070		137	1,03044	1,03044	-	710		488	1,03044	1,03044	-	
P	S	00852	0	0	0,18096	0,18096	-	00855	0	0	0,18096	0,18096	-	00856	0	0	0,18096	0,18096	-
I	131		149	1,03044	1,03044	1,51	238		477	1,03044	1,03044	1,74	102		293	1,03044	1,03044	1,63	
S	S	00853	-166	82	0,22619	0,22619	1,59	00856	-199	48	0,22619	0,22619	1,63	00857	-27	91	0,22619	0,22619	1,54
I	026		879	1,03044	1,03044	-	611		228	1,03044	1,03044	-	199		202	1,03044	1,03044	-	
P	S	00854	0	0	0,18096	0,18096	-	00857	0	0	0,18096	0,18096	-	00858	0	0	0,18096	0,18096	-
I	68		152	1,03044	1,03044	1,53	64		57	1,03044	1,03044	1,47	78		5	1,03044	1,03044	1,43	
S	S	00855	95	130	0,22619	0,22619	1,47	00858	152	158	0,22619	0,22619	1,43	00859	160	175	0,22619	0,22619	1,42
I	730		848	1,03044	1,03044	-	056		919	1,03044	1,03044	-	523		088	1,03044	1,03044	-	
P	S	00856	104	8	0,18096	0,18096	1,41	00859	0	0	0,18096	0,18096	-	00860	0	0	0,18096	0,18096	-
I	174		390	1,03044	1,03044	-	139		6	1,03044	1,03044	1,41	166		30	1,03044	1,03044	1,42	
S	S	00857	134	179	0,22619	0,22619	1,43	00860	80	171	0,22619	0,22619	1,45	00861	19	150	0,22619	0,22619	1,48
I	970		214	1,03044	1,03044	-	018		721	1,03044	1,03044	-	841		088	1,03044	1,03044	-	
P	S	00858	0	0	0,18096	0,18096	-	00861	0	0	0,18096	0,18096	-	00862	0	0	0,18096	0,18096	-
I	176		53	1,03044	1,03044	1,43	170		68	1,03044	1,03044	1,44	155		73	1,03044	1,03044	1,45	
S	S	00859	-20	116	0,22619	0,22619	1,52	00862	-31	73	0,22619	0,22619	1,55	00863	-10	25	0,22619	0,22619	1,58
I	794		305	1,03044	1,03044	-	964		517	1,03044	1,03044	-	098		847	1,03044	1,03044	-	
P	S	00860	0	0	0,18096	0,18096	-	00863	-11	13	0,18096	0,18096	6,29	00864	-7	14	0,18096	0,18096	6,31
I	139		69	1,03044	1,03044	1,45	965		672	0,12566	0,12566	-	779		714	0,12566	0,12566	-	
S	S	00861	0	0	0,22619	0,22619	-	00864	0	0	0,22619	0,22619	-	00865	0	0	0,22619	0,22619	-
I	51		21	1,03044	1,03044	1,59	-28		104	0,12566	0,12566	2,64	-16		104	0,12566	0,12566	2,62	
P	S	00862	-2	20	0,18096	0,18096	6,58	00865	1	34	0,18096	0,18096	7,31	00866	2	55	0,18096	0,18096	8,87
I	505		798	0,12566	0,12566	-	833		314	0,12566	0,12566	-	139		002	0,12566	0,12566	-	
S	S	00863	0	0	0,22619	0,22619	-	00866	0	0	0,22619	0,22619	-	00867	0	0	0,22619	0,22619	-
I	-4		94	0,12566	0,12566	2,67	12		78	0,12566	0,12566	2,75	39		60	0,12566	0,12566	2,85	
P	S	00864	-2	80	0,18096	0,18096	12,13	00867	-9	106	0,18096	0,18096	19,15	00868	-15	124	0,18096	0,18096	1,38
I	111		770	0,12566	0,12566	-	640		554	0,12566	0,12566	-	777		091	1,03044	1,03044	-	
S	S	00865	0	0	0,22619	0,22619	-	00868	0	0	0,22619	0,22619	-	00869	0	0	0,22619	0,22619	-
I	75		40	0,12566	0,12566	2,94	118		21	0,12566	0,12566	3,03	157		3	1,03044	1,03044	1,54	
P	S	00866	-13	122	0,18096	0,18096	1,38	00869	3	89	0,18096	0,18096	1,40	00870	37	17	0,18096	0,18096	1,43
I	089		028	1,03044	1,03044	-	374		767	1,03044	1,03044	-	845		591	1,03044	1,03044	-	
S	S	00867	176	13	0,22619	0,22619	1,52	00870	163	29	0,22619	0,22619	1,52	00871	106	40	0,22619	0,22619	1,53
I	550		852	1,03044	1,03044	-	715		149	1,03044	1,03044	-	477		209	1,03044	1,03044	-	
P	S	00869	0	0	0,18096	0,18096	-	00870	0	0	0,18096	0,18096	-	00871	0	0	0,18096	0,18096	-

Platee - Verifiche pressoflessione retta allo SLU

Dir	Pos	Nodo	N _{Ed} [N]	M _{Ed} [N-m]	A _s [cm ² /cm]	A _{df} [cm ² /cm]	CS	Nodo	N _{Ed} [N]	M _{Ed} [N-m]	A _s [cm ² /cm]	A _{df} [cm ² /cm]	CS	Nodo	N _{Ed} [N]	M _{Ed} [N-m]	A _s [cm ² /cm]	A _{df} [cm ² /cm]	CS
	I		101 677	103 084	1,03044	1,03044	1,49		174 652	282 177	1,03044	1,03044	1,60		171 290	464 181	1,03044	1,03044	1,76
S	S		-14 286 0	42 419 0	0,22619	0,22619	1,57		-209 401 0	35 519 0	0,22619	0,22619	1,64		-88 238 0	35 537 0	0,22619	0,22619	1,60
P	S	00872	0 84 138	0 248 282	0,18096	0,18096	-	00873	0 73 575	0 104 822	0,18096	0,18096	-	00874	0 91 463	0 23 919	0,18096	0,18096	-
S	S		105 472 0	92 334 0	0,22619	0,22619	1,49		193 533 0	143 732 0	0,22619	0,22619	1,43		210 712 0	180 217 0	0,22619	0,22619	1,40
P	S	00875	123 811 0	6 779 0	0,18096	0,18096	1,41	00876	160 495 0	435 0 0	0,18096	0,18096	1,40	00877	0 192 505	0 25 656	0,18096	0,18096	-
S	S		178 292 0	200 391 0	0,22619	0,22619	1,40		114 676 0	204 055 0	0,22619	0,22619	1,42		38 420 0	190 482 0	0,22619	0,22619	1,45
P	S	00878	0 207 830	0 54 833	0,18096	0,18096	-	00879	0 200 475	0 75 149	0,18096	0,18096	-	00880	0 172 591	0 79 502	0,18096	0,18096	-
S	S		-26 890 0	160 127 0	0,22619	0,22619	1,49		-60 929 0	115 794 0	0,22619	0,22619	1,53		-53 878 0	62 207 0	0,22619	0,22619	1,57
P	S	00881	0 133 051	0 70 194	0,18096	0,18096	-	00882	0 104 379	0 60 981	0,18096	0,18096	-	00883	0 111 942	0 47 703	0,18096	0,18096	-
S	S		-1 984 0	6 402 0	0,22619	0,22619	1,59		0 70 523	0 41 717	0,22619	0,22619	-		0 130 798	0 69 689	0,22619	0,22619	-
P	S	00884	26 080 0	76 630 0	0,18096	0,18096	11,19	00885	23 001 0	87 671 0	0,18096	0,18096	13,16	00886	3 187 0	20 093 0	0,18096	0,18096	6,51
S	S		0 -42 808	0 27 176	0,22619	0,22619	-		0 -60 717	0 35 978	0,22619	0,22619	-		0 -16 727	0 131 020	0,22619	0,22619	-
P	S	00887	9 318 0	19 160 0	0,18096	0,18096	6,43	00888	10 579 0	28 430 0	0,18096	0,18096	6,91	00889	11 722 0	45 492 0	0,18096	0,18096	8,01
S	S		0 -7 503	0 129 992	0,22619	0,22619	-		0 5 526	0 115 766	0,22619	0,22619	-		0 27 016	0 96 298	0,22619	0,22619	-
P	S	00890	8 837 0	72 973 0	0,18096	0,18096	10,83	00891	1 375 0	105 156 0	0,18096	0,18096	18,41	00892	-8 029 0	133 922 0	0,18096	0,18096	1,37
S	S		0 61 243	0 75 463	0,22619	0,22619	-		0 106 940	0 54 920	0,22619	0,22619	-		0 157 482	0 36 187	0,22619	0,22619	-
P	S	00893	-13 776 0	147 536 0	0,18096	0,18096	1,37	00894	-8 755 0	132 056 0	0,18096	0,18096	1,37	00895	14 406 0	73 326 0	0,18096	0,18096	1,40
S	S		0 201 130	0 20 036	0,22619	0,22619	-		0 222 842	0 7 400	0,22619	0,22619	-		205 397 205 447	151 49	0,22619	0,22619	-
P	S	00896	0 65 440	0 43 417	0,18096	0,18096	-	00897	0 149 910	0 235 633	0,18096	0,18096	-	00898	0 315 083	0 712 684	0,18096	0,18096	-
S	S		0 127 206	0 302	0,22619	0,22619	-		0 -76 979	0 10 598	0,22619	0,22619	-		0 -92 557	0 70 721	0,22619	0,22619	-
P	S	00899	0 105 219	0 399 938	0,18096	0,18096	-	00900	0 88 324	0 188 062	0,18096	0,18096	-	00901	0 109 152	0 63 819	0,18096	0,18096	-
S	S		114 196 0	9 741 0	0,22619	0,22619	1,55		248 542 0	91 546 0	0,22619	0,22619	1,45		282 010 0	153 465 0	0,22619	0,22619	1,40
P	S	00902	0 150 524	0 9 293	0,18096	0,18096	-	00903	0 196 737	0 5 179	0,18096	0,18096	-	00904	0 234 396	0 31 449	0,18096	0,18096	-
S	S		244 669 0	194 001	0,22619	0,22619	1,38		163 738 0	212 387 0	0,22619	0,22619	1,40		64 399 0	208 610 0	0,22619	0,22619	1,43
P	S	00905	0 252 522	0 67 117	0,18096	0,18096	-	00906	0 242 445	0 95 213	0,18096	0,18096	-	00907	0 198 654	0 100 517	0,18096	0,18096	-
S	S		-29 761 0	183 284 0	0,22619	0,22619	1,48		-94 034 0	139 356 0	0,22619	0,22619	1,53		-106 024 0	81 357 0	0,22619	0,22619	1,57
P	S	00908	0 117 332	0 83 670	0,18096	0,18096	-	00909	0 90 333	0 54 454	0,18096	0,18096	-	00910	0 24 099	0 18 519	0,18096	0,18096	-
S	S		-56 15		0,22619	0,22619	1,60		0 0	0 0	0,22619	0,22619	-		0 0	0 0	0,22619	0,22619	-

Platee - Verifiche pressoflessione retta allo SLU

Dir	Pos	Nodo	N _{Ed}	M _{Ed}	A _s	A _{df}	CS	Nodo	N _{Ed}	M _{Ed}	A _s	A _{df}	CS	Nodo	N _{Ed}	M _{Ed}	A _s	A _{df}	CS	
			[N]	[N-m]	[cm²/cm]	[cm²/cm]			[N]	[N-m]	[cm²/cm]	[cm²/cm]			[N]	[N-m]	[cm²/cm]	[cm²/cm]		
	I		300 0	001 0		1,03044	1,03044	-		35 155	27 271	1,03044	1,03044	1,60		120 721	67 518	1,03044	1,03044	1,60
P	S	00911	0	0	0,18096	0,18096	-	00912	5 066	69 583	0,18096	0,18096	10,42	00913	54 014	85 348	0,18096	0,18096	12,37	
	I		70 897	24 059	1,03044	1,03044	1,44		0	0	0,12566	0,12566	-		0	0	0,12566	0,12566	-	
S	S		0 138 518	0 82 727	0,22619	0,22619	-		0 -13 759	0 24 140	0,22619	0,22619	-		0 -92 490	0 31 225	0,22619	0,22619	-	
	I		46 233	110 515	0,18096	0,18096	20,04	00915	14 209	21 357	0,18096	0,18096	6,52	00916	16 849	33 549	0,18096	0,18096	7,17	
S	S		0 108	0 605	0,22619	0,22619	-		0 2 593	0 169 870	0,22619	0,22619	-		0 14 592	0 151 581	0,22619	0,22619	-	
	I		16 582 0	57 488 0	0,18096	0,18096	8,99	00918	11 487 0	92 679 0	0,18096	0,18096	14,41	00919	1 975 0	131 089 0	0,18096	0,18096	41,43	
S	S		0 42 637	0 128 498	0,22619	0,22619	-		0 87 390	0 105 187	0,22619	0,22619	-		0 146 319	0 84 279	0,22619	0,22619	-	
P	S	00920	-8 219	160 731	0,18096	0,18096	1,36	00921	-12 173	165 558	0,18096	0,18096	1,36	00922	-999	127 530	0,18096	0,18096	1,37	
	I		0	0	1,03044	1,03044	-		0	0	1,03044	1,03044	-		0	0	1,03044	1,03044	-	
S	S		0 210 483	0 67 424	0,22619	0,22619	-		0 265 673	0 55 744	0,22619	0,22619	-		0 293 473	0 50 551	0,22619	0,22619	-	
	I		36 002	27 830	0,18096	0,18096	1,42	00924	0	0	0,18096	0,18096	-	00925	0	0	0,18096	0,18096	-	
	I		0	0	1,03044	1,03044	-		113 150	151 867	1,03044	1,03044	1,52		192 071	433 435	1,03044	1,03044	1,72	
S	S		0 271 701	0 54 607	0,22619	0,22619	-		0 173 070	0 72 522	0,22619	0,22619	-		0 -15 184	0 110 735	0,22619	0,22619	-	
P	S	00926	0	0	0,18096	0,18096	-	00927	0	0	0,18096	0,18096	-	00928	0	0	0,18096	0,18096	-	
	I		200 735	630 014	1,03044	1,03044	1,93		112 874	318 700	1,03044	1,03044	1,65		135 766	134 300	1,03044	1,03044	1,50	
S	S		0	0	0,22619	0,22619	-		0	0	0,22619	0,22619	-		380 681	88 271	0,22619	0,22619	1,40	
	I		153 185	100 383	1,03044	1,03044	1,62		326 505	1 046	1,03044	1,03044	1,48		0	0	1,03044	1,03044	-	
P	S	00929	0	0	0,18096	0,18096	-	00930	0	0	0,18096	0,18096	-	00931	0	0	0,18096	0,18096	-	
	I		188 799	45 632	1,03044	1,03044	1,42		249 936	26 319	1,03044	1,03044	1,39		300 520	51 130	1,03044	1,03044	1,39	
S	S		339 138	151 990	0,22619	0,22619	1,38		235 859	187 507	0,22619	0,22619	1,39		103 803	194 315	0,22619	0,22619	1,43	
	I		0	0	1,03044	1,03044	-		0	0	1,03044	1,03044	-		0	0	1,03044	1,03044	-	
P	S	00932	0	0	0,18096	0,18096	-	00933	0	0	0,18096	0,18096	-	00934	0	0	0,18096	0,18096	-	
	I		323 892	94 469	1,03044	1,03044	1,41		311 400	132 282	1,03044	1,03044	1,44		251 360	146 624	1,03044	1,03044	1,47	
S	S		-26 530	173 388	0,22619	0,22619	1,48		-132 629	128 330	0,22619	0,22619	1,55		-177 474	65 347	0,22619	0,22619	1,61	
	I		0	0	1,03044	1,03044	-		0	0	1,03044	1,03044	-		0	0	1,03044	1,03044	-	
P	S	00935	0	0	0,18096	0,18096	-	00936	-78 333	9 645	0,18096	0,18096	1,47	00937	-55 246	30 697	0,18096	0,18096	1,45	
	I		141 549	120 041	1,03044	1,03044	1,49		0	0	1,03044	1,03044	-		0	0	1,03044	1,03044	-	
S	S		0 -156 410	0 6 930	0,22619	0,22619	-		0 147 201	0 78 110	0,22619	0,22619	-		0 145 865	0 90 763	0,22619	0,22619	-	
	I		0	0	1,03044	1,03044	1,65		0	0	1,03044	1,03044	1,60		0	0	1,03044	1,03044	1,61	
P	S	00938	0	0	0,18096	0,18096	-	00939	0	0	0,18096	0,18096	-	00940	-18 053	58 421	0,18096	0,18096	9,35	
	I		35 511	19 422	1,03044	1,03044	1,45		38 925	17 816	0,12566	0,12566	4,91		0	0	0,12566	0,12566	-	
S	S		0 116 530	0 80 769	0,22619	0,22619	-		0 91 979	0 73 169	0,22619	0,22619	-		0 22 606	0 24 973	0,22619	0,22619	-	
	I		1 869 0	79 551 0	0,18096	0,18096	11,88	00942	73 679	98 466	0,18096	0,18096	15,15	00943	57 814	132 124	0,18096	0,18096	41,61	
S	S		0 -22 332	0 24 849	0,22619	0,22619	-		0 -28 047	0 30 581	0,22619	0,22619	-		0 -38 893	0 38 932	0,22619	0,22619	-	
	I		34 275	182 808	0,18096	0,18096	26,98	00945	16 811	22 334	0,18096	0,18096	6,55	00946	14 400	34 579	0,18096	0,18096	7,25	
S	S		0 -28 104	0 47 076	0,22619	0,22619	-		0 3 062	0 224 390	0,22619	0,22619	-		0 24 581	0 207 774	0,22619	0,22619	-	
	I		1 170	69 351	0,18096	0,18096	10,30	00948	9 047	113 110	0,18096	0,18096	22,06	00949	-2 044	157 348	0,18096	0,18096	1,36	
S	S		0	0	0,22619	0,22619	-		0	0	0,22619	0,22619	-		0	0	1,03044	1,03044	-	
	I		0	0	0,22619	0,22619	-		0	0	0,22619	0,22619	-		0	0	0,22619	0,22619	-	

Platee - Verifiche pressoflessione retta allo SLU

Dir	Pos	Nodo	N _{Ed}	M _{Ed}	A _s	A _{df}	CS	Nodo	N _{Ed}	M _{Ed}	A _s	A _{df}	CS	Nodo	N _{Ed}	M _{Ed}	A _s	A _{df}	CS
			[N]	[N-m]	[cm/cm]	[cm/cm]			[N]	[N-m]	[cm/cm]	[cm/cm]			[N]	[N-m]	[cm/cm]	[cm/cm]	
	I		60 867	177 677	0,12566	0,12566	2,08		121 874	151 871	0,12566	0,12566	2,10		201 466	131 637	1,03044	1,03044	1,62
P	S	00950	-12 044 0	184 380 0	0,18096	0,18096	1,35	00951	-11 637 0	172 750 0	0,18096	0,18096	1,35	00952	10 754 0	99 037 0	0,18096	0,18096	1,39
S	S		0 287 264	0 118 688	0,22619	0,22619	-		0 360 672	0 113 826	0,22619	0,22619	-		0 398 573	0 118 591	0,22619	0,22619	-
P	S	00953	0 68 693	0 60 265	0,18096	0,18096	-	00954	0 182 727	0 332 977	0,18096	0,18096	-	00955	0 208 816	0 949 751	0,18096	0,18096	-
S	S		0 373 102	0 135 853	0,22619	0,22619	-		0 214 198	0 166 448	0,22619	0,22619	-		0 214 788	0 283 339	0,22619	0,22619	-
P	S	00956	0 136 454	0 504 805	0,18096	0,18096	-	00957	0 171 761	0 242 843	0,18096	0,18096	-	00958	0 242 197	0 108 361	0,18096	0,18096	-
S	S		0 436 611	0 136 812	0,22619	0,22619	-		0 515 351	0 18 522	0,22619	0,22619	-		470 007 0	69 977 0	0,22619	0,22619	-
P	S	00959	0 324 398	0 67 300	0,18096	0,18096	-	00960	0 396 365	0 87 892	0,18096	0,18096	-	00961	0 437 002	0 140 276	0,18096	0,18096	-
S	S		340 046 0	123 604 0	0,22619	0,22619	1,40		164 508 0	140 693 0	0,22619	0,22619	1,44		-16 573 0	122 142 0	0,22619	0,22619	1,51
P	S	00962	0 427 884	0 192 770	0,18096	0,18096	-	00963	0 397 345	0 218 166	0,18096	0,18096	-	00964	0 196 008	0 190 941	0,18096	0,18096	-
S	S		-171 986 0	71 642 0	0,22619	0,22619	1,60		0 -293 295	0 8 353	0,22619	0,22619	-		0 -200 861	0 101 922	0,22619	0,22619	-
P	S	00965	0 -226 834	0 58 538	0,18096	0,18096	-	00966	-168 588 0	32 250 0	0,18096	0,18096	1,49	00967	-127 533 0	66 401 0	0,18096	0,18096	1,45
S	S		189 945 0	152 984 0	0,22619	0,22619	1,64		0 211 304	0 91 950	0,22619	0,22619	1,59		202 872 0	62 374 0	0,22619	0,22619	1,57
P	S	00968	33 774 0	9 810 0	0,18096	0,18096	5,89	00969	-11 039 0	52 756 0	0,18096	0,18096	8,76	00970	-44 734 0	66 184 0	0,18096	0,18096	10,41
S	S		0 154 523	0 87 357	0,22619	0,22619	2,41		0 14 030	0 29 617	0,22619	0,22619	3,19		0 43 754	0 31 772	0,22619	0,22619	3,10
P	S	00971	20 532 0	85 387 0	0,18096	0,18096	12,73	00972	40 489 0	112 384 0	0,18096	0,18096	21,09	00973	30 343 0	153 997 0	0,18096	0,18096	NS
S	S		0 45 400	0 36 412	0,22619	0,22619	3,05		0 -12 719	0 40 489	0,22619	0,22619	3,14		0 -23 473	0 46 177	0,22619	0,22619	3,11
P	S	00974	27 273 0	208 893 0	0,18096	0,18096	14,73	00975	5 227 0	36 589 0	0,18096	0,18096	7,43	00976	5 921 0	79 852 0	0,18096	0,18096	11,89
S	S		0 -23 490	0 53 109	0,22619	0,22619	3,04		0 28 846	0 279 421	0,22619	0,22619	1,74		0 85 800	0 243 760	0,22619	0,22619	1,78
P	S	00977	-1 382 0	133 327 0	0,18096	0,18096	46,57	00978	-13 872 0	182 541 0	0,18096	0,18096	1,35	00979	-22 326 0	201 519 0	0,18096	0,18096	1,34
S	S		0 171 806	0 215 865	0,22619	0,22619	1,76		0 282 841	0 198 313	0,22619	0,22619	1,65		0 400 037	0 191 566	0,22619	0,22619	1,60
P	S	00980	-13 613 0	162 113 0	0,18096	0,18096	1,36	00981	26 395 0	35 168 0	0,18096	0,18096	1,42	00982	0 113 354	0 204 613	0,18096	0,18096	-
S	S		0 499 174	0 196 044	0,22619	0,22619	1,56		0 552 686	0 213 018	0,22619	0,22619	1,56		0 529 764	0 246 948	0,22619	0,22619	1,59
P	S	00983	0 268 548	0 579 972	0,18096	0,18096	1,84	00984	0 179 887	0 774 218	0,18096	0,18096	2,13	00985	0 217 482	0 394 569	0,18096	0,18096	-
S	S		0 445 488	0 318 780	0,22619	0,22619	1,69		0 570 457	0 301 655	0,22619	0,22619	1,63		0 699 521	0 162 560	0,22619	0,22619	1,47
P	S	00986	0 313 725	0 201 956	0,18096	0,18096	1,48	00987	0 425 389	0 132 533	0,18096	0,18096	1,40	00988	0 525 952	0 145 630	0,18096	0,18096	-
S	S		0 648 52	0 52 1,03044	0,22619	0,22619	1,41		486 887 0	18 436 0	0,22619	0,22619	1,41		259 734 0	44 974 0	0,22619	0,22619	1,47

Platee - Verifiche pressoflessione retta allo SLU

Dir	Pos	Nodo	N _{Ed}	M _{Ed}	A _s	A _{df}	CS	Nodo	N _{Ed}	M _{Ed}	A _s	A _{df}	CS	Nodo	N _{Ed}	M _{Ed}	A _s	A _{df}	CS
			[N]	[N-m]	[cm/cm]	[cm/cm]			[N]	[N-m]	[cm/cm]	[cm/cm]			[N]	[N-m]	[cm/cm]	[cm/cm]	
P	S	00989	0	0	0,18096	0,18096	-	00990	0	0	0,18096	0,18096	-	00991	0	0	0,18096	0,18096	-
I	I		594	207	1,03044	1,03044	1,39		605	278	1,03044	1,03044	1,43		538	330	1,03044	1,03044	1,50
S	S	00992	9	26	0,22619	0,22619	1,57	00993	0	0	0,22619	0,22619	-	00994	0	0	0,22619	0,22619	-
I	I		345	146	1,03044	1,03044	-		-206	38	1,03044	1,03044	1,70		-383	139	1,03044	1,03044	1,85
			0	0	0,18096	0,18096	-		-213	47	0,18096	0,18096	1,49		-143	106	0,18096	0,18096	1,43
P	S	00992	-371	92	1,03044	1,03044	1,65	00993	930	262	1,03044	1,03044	-	00994	826	033	1,03044	1,03044	-
I	I		056	785					0	0					0	0			
S	S	00995	0	0	0,22619	0,22619	-	00996	0	0	0,22619	0,22619	-	00997	0	0	0,22619	0,22619	-
I	I		300	210	1,03044	1,03044	1,65		276	134	1,03044	1,03044	1,60		254	82	1,03044	1,03044	1,57
			126	023				851	104				183	138					
P	S	00995	-108	123	0,18096	0,18096	1,41	00996	-22	62	0,18096	0,18096	1,42	00997	19	22	0,18096	0,18096	6,53
I	I		395	573	1,03044	1,03044	-		522	098	1,03044	1,03044	-		303	264	0	0	0,12566
S	S	00998	0	0	0,22619	0,22619	-	00999	0	0	0,22619	0,22619	-	01000	0	0	0,22619	0,22619	-
I	I		261	54	1,03044	1,03044	1,54		226	38	1,03044	1,03044	1,54		144	48	0,12566	0,12566	2,72
			978	593				496	609				239	506					
P	S	00998	-11	48	0,18096	0,18096	8,43	00999	-18	53	0,18096	0,18096	8,92	01000	-26	68	0,18096	0,18096	10,56
I	I		341	878	1,03044	1,03044	-		980	941	1,03044	1,03044	-		508	639	0,12566	0,12566	-
S	S	01001	0	0	0,22619	0,22619	-	01002	0	0	0,22619	0,22619	-	01003	0	0	0,22619	0,22619	-
I	I		0	0	1,03044	1,03044	3,20		0	0	1,03044	1,03044	3,13		0	41	0,12566	0,12566	3,03
			-7	32	0,12566	0,12566			11	36	0,12566	0,12566			34	307	323		
P	S	01001	-8	91	0,18096	0,18096	14,39	01002	866	127	0,18096	0,18096	34,93	01003	-568	176	0,18096	0,18096	34,72
I	I		763	632	1,03044	1,03044	-		214	0	1,03044	1,03044	-		601	0	0,12566	0,12566	-
S	S	01004	0	0	0,22619	0,22619	-	01005	0	0	0,22619	0,22619	-	01006	0	0	0,22619	0,22619	-
I	I		24	46	1,03044	1,03044	3,00		-1	52	1,03044	1,03044	3,00		-7	58	0,12566	0,12566	2,96
			092	785				761	532				015	306					
P	S	01004	-5	242	0,18096	0,18096	9,58	01005	-19	28	0,18096	0,18096	7,06	01006	-13	86	0,18096	0,18096	13,28
I	I		735	052	1,03044	1,03044	-		107	151	1,03044	1,03044	-		939	287	0,12566	0,12566	-
S	S	01007	0	0	0,22619	0,22619	-	01008	0	0	0,22619	0,22619	-	01009	0	0	0,22619	0,22619	-
I	I		3	64	1,03044	1,03044	2,88		44	365	1,03044	1,03044	1,49		120	324	0,12566	0,12566	1,50
			414	617				221	572				805	860					
P	S	01007	-23	154	0,18096	0,18096	1,37	01008	-38	205	0,18096	0,18096	1,34	01009	-43	208	0,18096	0,18096	1,34
I	I		862	066	1,03044	1,03044	-		631	426	1,03044	1,03044	-		028	205	0,13044	1,03044	-
S	S	01010	0	0	0,22619	0,22619	-	01011	0	0	0,22619	0,22619	-	01012	0	0	0,22619	0,22619	-
I	I		248	296	1,03044	1,03044	1,75		404	283	1,03044	1,03044	1,67		564	286	0,13044	1,03044	1,61
			202	123				629	245				387	224					
P	S	01010	-20	124	0,18096	0,18096	1,38	01011	0	0	0,18096	0,18096	-	01012	0	0	0,18096	0,18096	-
I	I		698	866	1,03044	1,03044	-		44	78	1,03044	1,03044	1,49		202	428	1,03044	1,03044	1,71
S	S	01013	0	0	0,22619	0,22619	-	01014	0	0	0,22619	0,22619	-	01015	0	0	0,22619	0,22619	-
I	I		697	303	1,03044	1,03044	1,58		773	333	1,03044	1,03044	1,57		734	377	1,03044	1,03044	1,63
			108	009				156	646				736	091					
P	S	01013	0	0	0,18096	0,18096	-	01014	0	0	0,18096	0,18096	-	01015	0	0	0,18096	0,18096	-
I	I		247	078	1,03044	1,03044	2,63		268	585	1,03044	1,03044	1,84		405	326	1,03044	1,03044	1,54
S	S	01016	0	0	0,22619	0,22619	-	01017	0	0	0,22619	0,22619	-	01018	0	0	0,22619	0,22619	-
I	I		819	498	1,03044	1,03044	1,71		951	345	1,03044	1,03044	1,51		889	214	1,03044	1,03044	1,43
			120	626				677	233				164	319					
P	S	01016	0	0	0,18096	0,18096	-	01017	0	0	0,18096	0,18096	-	01018	0	0	0,18096	0,18096	-
I	I		559	224	1,03044	1,03044	1,41		698	227	1,03044	1,03044	1,37		800	296	1,03044	1,03044	1,38
S	S	01019	0	0	0,22619	0,22619	-	01020	0	0	0,22619	0,22619	-	01021	0	0	0,22619	0,22619	-
I	I		687	126	1,03044	1,03044	1,44		400	93	1,03044	1,03044	1,52		70	115	1,03044	1,03044	1,66
			148	859				325	371				529	479					
P	S	01019	0	0	0,18096	0,18096	-	01020	0	0	0,18096	0,18096	-	01021	0	0	0,18096	0,18096	-
I	I		837	396	1,03044	1,03044	1,43		814	464	1,03044	1,03044	1,50		-436	117	1,03044	1,03044	1,69
S	S	01022	0	0	0,22619	0,22619	-	01023	0	0	0,22619	0,22619	-	01024	0	0	0,22619	0,22619	-
I	I		-252	191	1,03044	1,03044	1,85		-530	328	1,03044	1,03044	2,12		512	286	1,03044	1,03044	1,63
			152	669				896	683				546	303					
P	S	01022	-239	55	0,18096	0,18096	1,49	01023	-148	135	0,18096	0,18096	1,42	01024	-90	152	0,18096	0,18096	1,39
I	I		258	208	1,03044	1,03044	-		472	437	1,03044	1,03044	-		595	753	1,03044	1,03044	-
S	S	01025	0	0	0,22619	0,22619	-	01026	0	0	0,22619	0,22619	-	01027	0	0	0,22619	0,22619	-
I	I		0	0	1,03044	1,03044	1,59		303	95	1,03044	1,03044	1,56		262	56	1,03044	1,03044	1,54
			368	169				508	829				165	052					
P	S	01025	-57	127	0,18096	0,18096	1,39	01026	-15	73	0,18096	0,18096	11,18	01027	11	31	0,18096	0,18096	7,07
I	I		846	279	1,03044	1,03044	-		036	924	1,03044	1,03044	-		774	358	0,12566	0,12566	-
S	S	01028	0	0	0,22619	0,22619	-	01029	0	0	0,22619	0,22619	-	01030	0	0	0,22619	0,22619	-
I	I		239	38	1,03044	1,03044	1,54		194	32	1,03044	1,03044	2,75		134	33	0,12566	0,12566	2,87
			853	897				371	556				477	964					
P	S	01028	-12	43	0,18096	0,18096	8,03	01029	-23	44	0,18096	0,18096	8,19	01030	-33	53	0,18096	0,18096	8,96

Platee - Verifiche pressoflessione retta allo SLU

Dir	Pos	Nodo	N _{Ed}		M _{Ed}		A _s		A _{df}		CS	Nodo	N _{Ed}		M _{Ed}		A _s		A _{df}		CS		
			[N]	[N-m]	[cm/cm]	[cm/cm]	[N]	[N-m]	[cm/cm]	[cm/cm]			[N]	[N-m]	[cm/cm]	[cm/cm]							
			889	643									232	764								283	250
	I		0	0	0,12566	0,12566	-	-	-	-			0	0	0,12566	0,12566	-	-	-	-		0	0
S	S		0	0	0,22619	0,22619	-	-	-	-			0	0	0,22619	0,22619	-	-	-	-		0	0
	I		-22	33	0,12566	0,12566	3,23	-	-	-			-4	38	0,12566	0,12566	3,14	-	-	-		12	44
			417	671									558	133								966	944
P	S	01031	-40	71	0,18096	0,18096	11,02	01032	-35	100	0,18096	0,18096	17,30	01033	-35	143	0,18096	0,18096				-35	143
	I		024	183	0,12566	0,12566	-		843	644	0,12566	0,12566	-		521	719	0,12566	0,12566				0	0
S	S		0	0	0,22619	0,22619	-		0	0	0,22619	0,22619	-		0	0	0,22619	0,22619				0	0
	I		23	52	0,12566	0,12566	2,94		16	60	0,12566	0,12566	2,89		8	68	0,12566	0,12566				8	68
			365	754					625	877					723	911						723	911
P	S	01034	-39	200	0,18096	0,18096	18,22	01035	-45	269	0,18096	0,18096	7,60	01036	-55	344	0,18096	0,18096				-55	344
	I		467	547	0,12566	0,12566	-		408	108	0,12566	0,12566	-		677	578	0,12566	0,12566				677	578
S	S		0	0	0,22619	0,22619	-		0	0	0,22619	0,22619	-		0	0	0,22619	0,22619				0	0
	I		11	76	0,12566	0,12566	2,77		30	81	0,12566	0,12566	2,69		83	87	0,12566	0,12566				83	87
			796	141					270	578					853	825						853	825
P	S	01037	-33	20	0,18096	0,18096	6,72	01038	-59	92	0,18096	0,18096	15,24	01039	-66	174	0,18096	0,18096				-66	174
	I		946	216	0,12566	0,12566	-		231	651	0,12566	0,12566	-		171	638	0,12566	0,12566				171	638
S	S		0	0	0,22619	0,22619	-		0	0	0,22619	0,22619	-		0	0	0,22619	0,22619				0	0
	I		50	465	0,12566	0,12566	1,28		184	415	0,12566	0,12566	1,24		366	385	0,12566	0,12566				366	385
			370	584					990	072					527	738	1,03044	1,03044				527	738
P	S	01040	-82	225	0,18096	0,18096	1,34	01041	-78	199	0,18096	0,18096	1,36	01042	-36	49	0,18096	0,18096				-36	49
	I		664	361	1,03044	1,03044	-		924	670	1,03044	1,03044	-		982	715	1,03044	1,03044				982	715
S	S		0	0	0,22619	0,22619	-		0	0	0,22619	0,22619	-		0	0	0,22619	0,22619				0	0
	I		585	382	1,03044	1,03044	1,69		798	401	1,03044	1,03044	1,62		972	435	1,03044	1,03044				972	435
			927	978					188	392					034	801						034	801
P	S	01043	0	0	0,18096	0,18096	-	01044	0	0	0,18096	0,18096	-	01045	0	0	0,18096	0,18096				0	0
	I		57	258	1,03044	1,03044	1,62		387	727	1,03044	1,03044	1,96		330	830	1,03044	1,03044				330	830
S	S		259	361	0,22619	0,22619	-		011	020	0,22619	0,22619	-		224	740	0,22619	0,22619				224	740
	I		0	0	1,03044	1,03044	1,58		0	0	1,03044	1,03044	1,64		0	0	1,03044	1,03044				0	0
			1	484	0,12566	0,12566	-		1	588	0,12566	0,12566	-		1	545	0,12566	0,12566				1	545
			077	423					182	363					319	191						319	191
			570						300					086								086	
P	S	01046	0	0	0,18096	0,18096	-	01047	0	0	0,18096	0,18096	-	01048	0	0	0,18096	0,18096				0	0
	I		520	476	1,03044	1,03044	1,63		730	339	1,03044	1,03044	1,43		925	336	1,03044	1,03044				925	336
S	S		821	176	0,22619	0,22619	-		451	893	0,22619	0,22619	-		159	758	0,22619	0,22619				159	758
	I		0	0	1,03044	1,03044	1,46		0	0	1,03044	1,03044	1,48		0	0	1,03044	1,03044				0	0
			1	406	0,12566	0,12566	-		955	307	0,12566	0,12566	-		596	266	0,12566	0,12566				596	266
			210	815					174	783					469	749						469	749
			666																				
P	S	01049	0	0	0,18096	0,18096	-	01050	0	0	0,18096	0,18096	-	01051	0	0	0,18096	0,18096				0	0
	I		1	415	1,03044	1,03044	1,35		1	527	1,03044	1,03044	1,34		1	632	1,03044	1,03044				1	632
S	S		083	545	0,22619	0,22619	-		323	294	0,22619	0,22619	-		059	121	0,22619	0,22619				059	121
	I		623		1,03044	1,03044	1,78		179		1,03044	1,03044	2,12		719		1,03044	1,03044				719	
			0	0	0,12566	0,12566	-		0	0	0,12566	0,12566	-		0	0	0,12566	0,12566				0	0
			172	295					-317	412					-332	572						-332	572
			756	477					758	652					864	976						864	976
P	S	01052	0	0	0,18096	0,18096	-	01053	0	0	0,18096	0,18096	-	01054	-218	51	0,18096	0,18096				-218	51
	I		-422	428	1,03044	1,03044	1,98		-445	148	1,03044	1,03044	1,72		835	032	1,03044	1,03044				835	032
S	S		449	270	0,22619	0,22619	-		612	694	0,22619	0,22619	-		0	0	0,22619	0,22619				0	0
	I		0	0	1,03044	1,03044	1,79		0	0	1,03044	1,03044	1,56		0	0	1,03044	1,03044				0	0
			851	590					780	326					472	190						472	190
			932	129					172	245					392	646						392	646
P	S	01055	-121	152	0,18096	0,18096	1,40	01056	-64	183	0,18096	0,18096	1,36	01057	-33	170	0,18096	0,18096				-33	170
	I		650	207	1,03044	1,03044	-		756	987	1,03044	1,03044	-		743	040	1,03044	1,03044				743	040
S	S		0	0	0,22619	0,22619	-		0	0	0,22619	0,22619	-		0	0	0,22619	0,22619				0	0
	I		359	101	1,03044	1,03044	1,54		286	49	1,03044	1,03044	1,53		240	26	1,03044	1,03044				240	26
			840	383					993	949					334	267						334	267
P	S	01058	-15	124	0,18096	0,18096	1,38	01059	2	72	0,18096	0,18096	10,79	01060	11	30	0,18096	0,18096				11	30
	I		236	651	1,03044	1,03044	-		586	238	1,03044	1,03044	-		584	853	1,03044	1,03044				584	853
S	S		0	0	0,22619	0,22619	-		0	0	0,22619	0,22619	-		0	0	0,22619	0,22619				0	0
	I		203	18	1,03044	1,03044	1,54		160	21	1,03044	1,03044	2,93		111	28	1,03044	1,03044				111	28
			633																				

Platee - Verifiche pressoflessione retta allo SLU

Dir	Pos	Nodo	N _{Ed}	M _{Ed}	A _s	A _{df}	CS	Nodo	N _{Ed}	M _{Ed}	A _s	A _{df}	CS	Nodo	N _{Ed}	M _{Ed}	A _s	A _{df}	CS
			[N]	[N·m]	[cm ² /cm]	[cm ² /cm]			[N]	[N·m]	[cm ² /cm]	[cm ² /cm]			[N]	[N·m]	[cm ² /cm]	[cm ² /cm]	
S	S		0	0	0,22619	0,22619	-		0	0	0,22619	0,22619	-		0	0	0,22619	0,22619	-
	I		23	89	0,12566	0,12566	2,65		36	100	0,12566	0,12566	2,54		69	110	0,12566	0,12566	2,42
			029	696					172	896					071	937			
P	S	01070	-122	368	0,18096	0,18096	4,37	01071	-139	100	0,18096	0,18096	1,43	01072	-134	196	0,18096	0,18096	1,38
	I		508	128	0,12566	0,12566	-		506	960	1,03044	1,03044	-		845	305	1,03044	1,03044	-
			0	0	0,22619	0,22619	-		0	0	0,22619	0,22619	-		0	0	0,22619	0,22619	-
S	S		0	0	0,22619	0,22619	-		0	0	0,22619	0,22619	-		0	0	0,22619	0,22619	-
	I		142	119	0,12566	0,12566	2,23		277	498	1,03044	1,03044	1,95		551	475	1,03044	1,03044	1,80
			236	890					910	782					680	489			
P	S	01073	-153	243	0,18096	0,18096	1,35	01074	-135	169	0,18096	0,18096	1,39	01075	0	0	0,18096	0,18096	-
	I		469	650	1,03044	1,03044	-		361	383	1,03044	1,03044	-		-66	79	1,03044	1,03044	1,53
			0	0	0,22619	0,22619	-		0	0	0,22619	0,22619	-		0	0	0,22619	0,22619	-
S	S		0	0	0,22619	0,22619	-		0	0	0,22619	0,22619	-		0	0	0,22619	0,22619	-
	I		848	490	1,03044	1,03044	1,69		1	534	1,03044	1,03044	1,61		1	596	1,03044	1,03044	1,57
			701	820					120	285					346	951			
									820						249				
P	S	01076	0	0	0,18096	0,18096	-	01077	0	0	0,18096	0,18096	-	01078	0	0	0,18096	0,18096	-
	I		137	535	1,03044	1,03044	1,85		408	1	1,03044	1,03044	2,47		669	629	1,03044	1,03044	1,71
			096	514					044	840					437	694			
S	S		0	0	0,22619	0,22619	-		0	0	0,22619	0,22619	-		0	0	0,22619	0,22619	-
	I		1	662	1,03044	1,03044	1,56		1	760	1,03044	1,03044	1,55		1	634	1,03044	1,03044	1,48
			516	668					759	237					635	148			
			135						074						526				
P	S	01079	0	0	0,18096	0,18096	-	01080	0	0	0,18096	0,18096	-	01081	0	0	0,18096	0,18096	-
	I		943	466	1,03044	1,03044	1,45		1	470	1,03044	1,03044	1,35		1	561	1,03044	1,03044	1,33
			443	606					200	027					424	773			
S	S		0	0	0,22619	0,22619	-		0	0	0,22619	0,22619	-		0	0	0,22619	0,22619	-
	I		1	521	1,03044	1,03044	1,52		865	469	1,03044	1,03044	1,66		350	508	1,03044	1,03044	1,93
			308	084					380	812					950	257			
			162																
P	S	01082	0	0	0,18096	0,18096	-	01083	0	0	0,18096	0,18096	-	01084	0	0	0,18096	0,18096	-
	I		1	708	1,03044	1,03044	1,36		-628	520	1,03044	1,03044	2,19		-287	190	1,03044	1,03044	1,69
			629	602					487	354					931	609			
S	S		0	0	0,22619	0,22619	-		0	0	0,22619	0,22619	-		0	0	0,22619	0,22619	-
	I		-227	630	1,03044	1,03044	2,39		1	606	1,03044	1,03044	1,67		830	364	1,03044	1,03044	1,58
			878	971					147	714					155	514			
			131						435										
P	S	01085	-131	29	0,18096	0,18096	1,48	01086	-50	150	0,18096	0,18096	1,38	01087	-7	200	0,18096	0,18096	1,34
	I		988	690	1,03044	1,03044	-		478	607	1,03044	1,03044	-		147	202	1,03044	1,03044	-
			0	0	0,22619	0,22619	-		0	0	0,22619	0,22619	-		0	0	0,22619	0,22619	-
S	S		0	0	0,22619	0,22619	-		0	0	0,22619	0,22619	-		0	0	0,22619	0,22619	-
	I		576	204	1,03044	1,03044	1,54		415	99	1,03044	1,03044	1,52		312	39	1,03044	1,03044	1,51
			107	038					212	271					301	035			
P	S	01088	11	199	0,18096	0,18096	1,33	01089	16	166	0,18096	0,18096	1,35	01090	16	116	0,18096	0,18096	23,77
	I		659	996	1,03044	1,03044	-		656	747	1,03044	1,03044	-		913	143	1,03044	1,03044	-
			0	0	0,22619	0,22619	-		0	0	0,22619	0,22619	-		0	0	0,22619	0,22619	-
S	S		0	0	0,22619	0,22619	-		0	0	0,22619	0,22619	-		0	0	0,22619	0,22619	-
	I		189	8	1,03044	1,03044	1,53		202	3	1,03044	1,03044	1,53		167	7	1,03044	1,03044	3,05
			424	143					328	177					127	807			
P	S	01091	15	65	0,18096	0,18096	9,80	01092	12	26	0,18096	0,18096	6,77	01093	-19	26	0,18096	0,18096	7,00
	I		679	146	0,12566	0,12566	-		061	050	0,12566	0,12566	-		776	965	0,12566	0,12566	-
			0	0	0,22619	0,22619	-		0	0	0,22619	0,22619	-		0	0	0,22619	0,22619	-
S	S		0	0	0,22619	0,22619	-		0	0	0,22619	0,22619	-		0	0	0,22619	0,22619	-
	I		132	18	1,03044	1,03044	3,02		91	29	1,03044	1,03044	3,01		-39	34	1,03044	1,03044	3,26
			587	679					642	411					425	650			
P	S	01094	-36	26	0,18096	0,18096	7,07	01095	-54	32	0,18096	0,18096	7,55	01096	-73	49	0,18096	0,18096	8,93
	I		533	496	0,12566	0,12566	-		681	772	0,12566	0,12566	-		139	730	0,12566	0,12566	-
			0	0	0,22619	0,22619	-		0	0	0,22619	0,22619	-		0	0	0,22619	0,22619	-
S	S		0	0	0,22619	0,22619	-		0	0	0,22619	0,22619	-		0	0	0,22619	0,22619	-
	I		-18	43	1,03044	1,03044	3,12		1	54	1,03044	1,03044	2,97		15	67	1,03044	1,03044	2,83
			395	483					006	783					184	775			
P	S	01097	-91	80	0,18096	0,18096	12,88	01098	-112	125	0,18096	0,18096	35,11	01099	-138	184	0,18096	0,18096	29,29
	I		867	012	0,12566	0,12566	-		907	033	0,12566	0,12566	-		815	473	0,12566	0,12566	-
			0	0	0,22619	0,22619	-		0	0	0,22619	0,22619	-		0	0	0,22619	0,22619	-
S	S		0	0	0,22619	0,22619	-		0	0	0,22619	0,22619	-		0	0	0,22619	0,22619	-
	I		23	81	1,03044	1,03044	2,70		29	96	1,03044	1,03044	2,58		41	112	1,03044	1,03044	2,46
			599	946					985	879					517	457			
P	S	01100	-170	255	0,18096	0,18096	9,49	01101	-209	330	0,18096	0,18096	5,65	01102	-256	396	0,18096	0,18096	4,25
	I		835	094	0,12566	0,12566	-		233	130	0,12566	0,12566	-		513	341	0,12566	0,12566	-
			0	0	0,22619	0,22619	-		0	0	0,22619	0,22619	-		0	0			

Platee - Verifiche pressoflessione retta allo SLU

Table with columns: Dir, Pos, Nodo, NEd, MEEd, As, Adf, CS, and repeated for each of 5 nodes. Each node's data is presented in two columns. Values include force (N, Nm), area (cm²/cm), and cross-section (CS).

Platee - Verifiche pressoflessione retta allo SLU

Dir	Pos	Nodo	N _{Ed} [N]	M _{Ed} [N-m]	A _s [cm ² /cm]	A _{df} [cm ² /cm]	CS	Nodo	N _{Ed} [N]	M _{Ed} [N-m]	A _s [cm ² /cm]	A _{df} [cm ² /cm]	CS	Nodo	N _{Ed} [N]	M _{Ed} [N-m]	A _s [cm ² /cm]	A _{df} [cm ² /cm]	CS
	I		931 104	873 262	1,03044	1,03044	2,55		1 613 618	622 050	1,03044	1,03044	2,62		1 888 656	721 587	1,03044	1,03044	2,44
S	S		0 2 947 694	0 1 133 068	2,48814	2,48814	-		0 2 256 478	0 1 001 490	2,48814	2,48814	-		0 1 702 677	0 937 005	2,48814	2,48814	-
P	S	01145	0 2 386 219	0 947 763	1,68892	1,68892	-	01146	0 2 063 250	0 1 229 283	1,68892	1,68892	-	01147	0 -198 063	0 1 015 534	1,68892	1,68892	-
S	S		0 627 096	0 993 742	2,48814	2,48814	-		0 397 524	0 1 154 718	2,48814	2,48814	-		0 1 891 239	0 1 000 008	2,48814	2,48814	1,69
P	S	01148	0 10 284	0 628 192	1,68892	1,68892	-	01149	0 180 253	0 306 744	0,18096	0,18096	-	01150	0 228 272	0 81 569	0,18096	0,18096	-
S	S		0 1 662 727	0 633 105	2,48814	2,48814	-		0 1 086 964	0 383 178	0,22619	0,22619	-		0 740 622	0 212 183	0,22619	0,22619	1,49
P	S	01151	231 293 0	70 880 0	0,18096	0,18096	1,34	01152	207 077 0	160 119 0	0,18096	0,18096	1,29	01153	169 060 0	199 133 0	0,18096	0,18096	1,28
S	S		0 504 703 120	0 101 120	0,22619	0,22619	-		0 349 124	0 35 092	0,22619	0,22619	-		0 251 417	0 2 139	0,22619	0,22619	-
P	S	01154	127 981 0	200 688 0	0,18096	0,18096	1,29	01155	90 731 0	175 832 2	0,18096	0,18096	1,32	01156	60 793 0	134 732 0	0,18096	0,18096	47,84
S	S		192 440 0	7 749 0	0,22619	0,22619	1,52		157 277 0	2 307 0	0,22619	0,22619	1,54		0 135 271	0 12 097	0,22619	0,22619	-
P	S	01157	38 568 0	87 353 0	0,18096	0,18096	12,92	01158	22 131 0	42 700 0	0,18096	0,18096	7,74	01159	8 306 0	10 830 0	0,18096	0,18096	6,06
S	S		0 119 629	0 29 644	0,22619	0,22619	-		0 106 675	0 46 082	0,22619	0,22619	-		0 93 192	0 55 826	0,22619	0,22619	2,77
P	S	01160	-9 194 0	11 155 0	0,18096	0,18096	6,16	01161	-19 849 0	4 633 0	0,18096	0,18096	5,94	01162	0 -34 143	0 623	0,18096	0,18096	-
S	S		0 -102 497	0 21 401	0,22619	0,22619	-		0 -66 346	0 28 304	0,22619	0,22619	-		0 -37 888	0 37 626	0,22619	0,22619	3,22
P	S	01163	-55 014 0	3 536 0	0,18096	0,18096	6,06	01164	-83 704 0	20 636 0	0,18096	0,18096	7,01	01165	-122 079 0	53 074 0	0,18096	0,18096	9,58
S	S		0 -13 545	0 49 921	0,22619	0,22619	-		0 5 549	0 64 232	0,22619	0,22619	-		0 20 007	0 79 786	0,22619	0,22619	-
P	S	01166	-172 778 0	101 612 0	0,18096	0,18096	19,57	01167	-238 791 0	166 076 0	0,18096	0,18096	71,51	01168	-323 028 0	244 112 0	0,18096	0,18096	11,75
S	S		0 33 047	0 96 076	0,22619	0,22619	-		0 50 397	0 113 443	0,22619	0,22619	-		0 80 202	0 133 283	0,22619	0,22619	-
P	S	01169	-429 504 0	331 295 0	0,18096	0,18096	6,46	01170	-564 413 0	416 138 0	0,18096	0,18096	4,74	01171	-732 287 0	475 332 0	0,18096	0,18096	4,23
S	S		0 134 089	0 158 988	0,22619	0,22619	-		0 225 647	0 195 319	0,22619	0,22619	-		0 361 544	0 249 221	0,22619	0,22619	1,39
P	S	01172	-970 580 0	471 425 0	0,18096	0,18096	1,47	01173	-628 420 0	343 991 0	0,18096	0,18096	1,44	01174	-501 313 0	263 457 0	1,68892	1,68892	5,28
S	S		0 578 874	0 317 759	0,22619	0,22619	-		0 1 735 934	0 498 999	0,22619	0,22619	-		0 2 265 056	0 677 567	2,48814	2,48814	-
P	S	01175	0 -327 313	0 192 938	1,68892	1,68892	-	01176	0 -865 865	0 1 229 122	1,68892	1,68892	-	01177	0 2 033 939	0 581 373	1,68892	1,68892	-
S	S		0 2 494 726	0 960 812	2,48814	2,48814	-		0 3 154 800	0 1 383 070	2,48814	2,48814	-		0 2 993 650	0 1 147 719	2,48814	2,48814	-
P	S	01178	0 2 217	0 728 989	1,68892	1,68892	-	01179	0 2 771	0 1 147	1,68892	1,68892	-	01180	0 326 086	0 1 050	1,68892	1,68892	-

Platee - Verifiche pressoflessione retta allo SLU

Dir	Pos	Nodo	N _{Ed}	M _{Ed}	A _s	A _{df}	CS	Nodo	N _{Ed}	M _{Ed}	A _s	A _{df}	CS	Nodo	N _{Ed}	M _{Ed}	A _s	A _{df}	CS	
			[N]	[N-m]	[cm ² /cm]	[cm ² /cm]			[N]	[N-m]	[cm ² /cm]	[cm ² /cm]			[N]	[N-m]	[cm ² /cm]	[cm ² /cm]		
			239						299	243						221				
S	S		0	0	2,48814	2,48814	-		0	0	2,48814	2,48814	-		0	0	2,48814	2,48814	-	
	I		2	1					1	1					2	1				
			214	148	1,03044	1,03044	1,59		514	204	1,03044	1,03044	1,68		457	035	1,03044	1,03044	1,59	
			435	003					304	086					312	829				
P	S	01181	0	0	1,68892	1,68892	-	01182	0	0	0,18096	0,18096	-	01183	0	0	0,18096	0,18096	-	
	I		550	691	1,03044	1,03044	2,85		553	402	1,03044	1,03044	1,55		514	177	1,03044	1,03044	1,40	
			874	748					051	112					571	571				
S	S		0	0	2,48814	2,48814	-		0	0	0,22619	0,22619	-		0	0	0,22619	0,22619	-	
	I		1	654	1,03044	1,03044	1,85		1	408	1,03044	1,03044	1,48		787	242	1,03044	1,03044	1,49	
			724	202					175	585					423	101				
P	S	01184	0	0	0,18096	0,18096	-	01185	356	92	0,18096	0,18096	1,28	01186	270	154	0,18096	0,18096	1,28	
	I		441	15	1,03044	1,03044	1,32		277	645	1,03044	1,03044	-		367	763	1,03044	1,03044	-	
			718	307					0	0	1,03044	1,03044	-		0	0	1,03044	1,03044	-	
S	S		0	0	0,22619	0,22619	-		0	0	0,22619	0,22619	-		0	0	0,22619	0,22619	-	
	I		526	134	1,03044	1,03044	1,51		355	69	1,03044	1,03044	1,52		249	34	1,03044	1,03044	1,53	
			208	809					587	720					285	751				
P	S	01187	192	180	0,18096	0,18096	1,29	01188	128	177	0,18096	0,18096	1,31	01189	81	153	0,18096	0,18096	1,33	
	I		726	172	1,03044	1,03044	-		954	206	1,03044	1,03044	-		376	358	1,03044	1,03044	-	
			0	0	0,22619	0,22619	-		0	0	0,22619	0,22619	-		0	0	0,22619	0,22619	-	
S	S		0	0	0,22619	0,22619	-		0	0	0,22619	0,22619	-		0	0	0,22619	0,22619	-	
	I		186	21	1,03044	1,03044	1,54		151	21	1,03044	1,03044	1,56		132	31	1,03044	1,03044	1,57	
			722	069					655	789					329	417				
P	S	01190	49	116	0,18096	0,18096	23,09	01191	30	72	0,18096	0,18096	10,64	01192	15	30	0,18096	0,18096	7,01	
	I		506	074	0,12566	0,12566	-		225	987	0,12566	0,12566	-		846	707	0,12566	0,12566	-	
			0	0	0,22619	0,22619	-		0	0	0,22619	0,22619	-		0	0	0,22619	0,22619	-	
S	S		0	0	0,22619	0,22619	-		0	0	0,22619	0,22619	-		0	0	0,22619	0,22619	-	
	I		121	45	0,12566	0,12566	2,80		116	60	0,12566	0,12566	2,68		116	72	0,12566	0,12566	2,59	
			418	501					055	276					394	779				
P	S	01193	-8	11	0,18096	0,18096	6,17	01194	0	0	0,18096	0,18096	-	01195	0	0	0,18096	0,18096	-	
	I		553	466	0,12566	0,12566	-		-7	1	0,12566	0,12566	5,63		-11	14	0,12566	0,12566	5,22	
			0	0	0,22619	0,22619	-		216	958					213	568				
S	S		0	0	0,22619	0,22619	-		0	0	0,22619	0,22619	-		0	0	0,22619	0,22619	-	
	I		-146	14	0,12566	0,12566	3,75		-102	17	0,12566	0,12566	3,60		-68	23	0,12566	0,12566	3,45	
			973	017					819	271					842	149				
P	S	01196	0	0	0,18096	0,18096	-	01197	0	0	0,18096	0,18096	-	01198	-86	19	0,18096	0,18096	6,96	
	I		-24	17	0,12566	0,12566	5,17		-48	7	0,12566	0,12566	5,62		387	411	0,12566	0,12566	-	
			100	681					286	183					0	0	0,12566	0,12566	-	
S	S		0	0	0,22619	0,22619	-		0	0	0,22619	0,22619	-		0	0	0,22619	0,22619	-	
	I		-40	32	0,12566	0,12566	3,29		-17	42	0,12566	0,12566	3,13		-700	54	0,12566	0,12566	2,98	
			384	120					593	922					395	395				
P	S	01199	-142	62	0,18096	0,18096	10,75	01200	-219	121	0,18096	0,18096	33,97	01201	-321	196	0,18096	0,18096	23,93	
	I		063	498	0,12566	0,12566	-		072	870	0,12566	0,12566	-		289	981	0,12566	0,12566	-	
			0	0	0,22619	0,22619	-		0	0	0,22619	0,22619	-		0	0	0,22619	0,22619	-	
S	S		0	0	0,22619	0,22619	-		0	0	0,22619	0,22619	-		0	0	0,22619	0,22619	-	
	I		12	65	0,12566	0,12566	2,85		27	77	0,12566	0,12566	2,73		49	88	0,12566	0,12566	2,60	
			642	860					090	017					187	854				
P	S	01202	-451	285	0,18096	0,18096	8,81	01203	-618	383	0,18096	0,18096	5,56	01204	-827	477	0,18096	0,18096	4,39	
	I		978	051	0,12566	0,12566	-		237	514	0,12566	0,12566	-		034	868	0,12566	0,12566	-	
			0	0	0,22619	0,22619	-		0	0	0,22619	0,22619	-		0	0	0,22619	0,22619	-	
S	S		0	0	0,22619	0,22619	-		0	0	0,22619	0,22619	-		0	0	0,22619	0,22619	-	
	I		87	103	0,12566	0,12566	2,43		157	127	0,12566	0,12566	2,16		270	168	0,12566	0,12566	1,79	
			967	646					827	683					803	725				
P	S	01205	-1	539	0,18096	0,18096	1,46	01206	-1	514	0,18096	0,18096	1,60	01207	-1	325	0,18096	0,18096	1,81	
	I		085	385	0,103044	1,03044	-		525	110	1,03044	1,03044	-		791	842	1,03044	1,03044	-	
			833	0	0,22619	0,22619	-		284	0	0,22619	0,22619	-		971	0	0,22619	0,22619	-	
S	S		0	0	0,22619	0,22619	-		0	0	0,22619	0,22619	-		0	0	0,22619	0,22619	-	
	I		436	235	1,03044	1,03044	1,62		709	351	1,03044	1,03044	1,61		735	501	1,03044	1,03044	1,75	
			426	880					480	772					673	982				
P	S	01208	-192	456	1,68892	1,68892	5,84	01209	-471	197	1,68892	1,68892	5,03	01210	0	0	1,68892	1,68892	-	
	I		421	533	1,03044	1,03044	-		110	274	1,03044	1,03044	-		0	0	1,03044	1,03044	-	
			0	0	2,48814	2,48814	-		0	0	2,48814	2,48814	-		0	0	2,48814	2,48814	-	
S	S		2	272	1,03044	1,03044	1,96		2	537	1,03044	1,03044	1,70		2	985	1,03044	1,03044	1,55	
	I		034	986					843	316					833	336				
			016						786						876					
P	S	01211	0	0	1,68892	1,68892	-	01212	0	0	1,68892	1,68892	-	01213	0	0	1,68892	1,68892	-	
	I		2	420	1,03044	1,03044	2,59		2	517	1,03044	1,03044	2,56		2	224	1,03044	1,03044	1,84	
			437	051					174	833					704	871				
			230						210						342					
S	S		0	0	2,48814	2,48814	-		0	0	2,48814	2,48814	-		0	0</				

Platee - Verifiche pressoflessione retta allo SLU

Dir	Pos	Nodo	N _{Ed}	M _{Ed}	A _s	A _{df}	CS	Nodo	N _{Ed}	M _{Ed}	A _s	A _{df}	CS	Nodo	N _{Ed}	M _{Ed}	A _s	A _{df}	CS	
			[N]	[N-m]	[cm/cm]	[cm/cm]			[N]	[N-m]	[cm/cm]	[cm/cm]			[N]	[N-m]	[cm/cm]	[cm/cm]		
			851	283					920	119					699					
S	S	I	0 3 017 504	0 1 514 611	2,48814 1,03044	2,48814 1,03044	- 1,37		0 2 710 536	0 985 821	2,48814 1,03044	2,48814 1,03044	- 1,57		0 1 792 924	0 668 913	2,48814 1,03044	2,48814 1,03044	- 1,83	
P	S	I	01217	0 1 003 945	0 530 150	1,68892 1,03044	1,68892 1,03044	- 2,91	01218	0 853 347	0 308 744	0,18096 1,03044	0,18096 1,03044	- 1,36	01219	0 685 832	0 137 236	0,18096 1,03044	0,18096 1,03044	- 1,31
S	S	I		0 1 224 110	0 457 018	2,48814 1,03044	2,48814 1,03044	- 2,02		0 808 526	0 314 204	0,22619 1,03044	0,22619 1,03044	- 1,54		0 531 059	0 219 676	0,22619 1,03044	0,22619 1,03044	- 1,57
P	S	I	01220	0 521 416	0 11 899	0,18096 1,03044	0,18096 1,03044	- 1,29	01221	372 908 0	73 806 0	0,18096 1,03044	0,18096 1,03044	1,29 -	01222	248 520 0	126 192 0	0,18096 1,03044	0,18096 1,03044	1,30 -
S	S	I		0 353 531	0 157 792	0,22619 1,03044	0,22619 1,03044	- 1,59		0 245 800	0 119 107	0,22619 1,03044	0,22619 1,03044	- 1,60		0 184 555	0 96 900	0,22619 1,03044	0,22619 1,03044	- 1,60
P	S	I	01223	151 795 0	150 150 0	0,18096 1,03044	0,18096 1,03044	1,32 -	01224	83 287 0	150 599 0	0,18096 1,03044	0,18096 1,03044	1,34 -	01225	40 676 0	132 038 0	0,18096 1,03044	0,18096 1,03044	42,03 -
S	S	I		0 152 213	0 86 055	0,22619 1,03044	0,22619 1,03044	- 1,60		0 135 916	0 83 175	0,22619 1,03044	0,22619 1,03044	- 1,61		0 127 685	0 85 621	0,22619 1,03044	0,22619 1,03044	- 2,47
P	S	I	01226	19 977 0	100 056 0	0,18096 1,2566	0,18096 1,2566	16,34 -	01227	13 897 0	60 764 0	0,18096 1,2566	0,18096 1,2566	9,34 -	01228	9 889 0	22 986 0	0,18096 1,2566	0,18096 1,2566	6,62 -
S	S	I		0 123 835	0 91 200	0,22619 1,2566	0,22619 1,2566	- 2,44		0 127 124	0 97 850	0,22619 1,2566	0,22619 1,2566	- 2,39		0 148 928	0 102 494	0,22619 1,2566	0,22619 1,2566	- 2,32
P	S	I	01229	0 5 298	0 2 200	0,18096 1,2566	0,18096 1,2566	- 5,56	01230	0 18 930	0 25 053	0,18096 1,2566	0,18096 1,2566	- 4,79	01231	0 19 837	0 36 918	0,18096 1,2566	0,18096 1,2566	- 4,48
S	S	I		0 -146 074	0 6 678	0,22619 1,2566	0,22619 1,2566	- 3,85		0 -109 657	0 7 830	0,22619 1,2566	0,22619 1,2566	- 3,74		0 -77 120	0 11 972	0,22619 1,2566	0,22619 1,2566	- 3,61
P	S	I	01232	0 8 939	0 33 137	0,18096 1,2566	0,18096 1,2566	- 4,62	01233	0 -19 769	0 12 535	0,18096 1,2566	0,18096 1,2566	- 5,32	01234	-71 220 0	26 310 0	0,18096 1,2566	0,18096 1,2566	7,25 -
S	S	I		0 -52 345	0 16 934	0,22619 1,2566	0,22619 1,2566	- 3,49		0 -34 310	0 20 643	0,22619 1,2566	0,22619 1,2566	- 3,40		0 -22 357	0 22 780	0,22619 1,2566	0,22619 1,2566	- 3,35
P	S	I	01235	-150 495 0	80 857 0	0,18096 1,2566	0,18096 1,2566	13,62 -	01236	-263 581 0	152 908 0	0,18096 1,2566	0,18096 1,2566	NS -	01237	-412 713 0	236 249 0	0,18096 1,2566	0,18096 1,2566	13,56 -
S	S	I		0 -12 217	0 22 974	0,22619 1,2566	0,22619 1,2566	- 3,32		0 3 205	0 22 199	0,22619 1,2566	0,22619 1,2566	- 3,29		0 27 948	0 19 339	0,22619 1,2566	0,22619 1,2566	- 3,27
P	S	I	01238	-601 511 0	336 874 0	0,18096 1,2566	0,18096 1,2566	6,90 -	01239	-838 590 0	449 446 0	0,18096 1,2566	0,18096 1,2566	4,83 -	01240	-1 128 057	560 218 0	0,18096 1,2566	0,18096 1,2566	3,99 -
S	S	I		0 73 327	0 19 861	0,22619 1,2566	0,22619 1,2566	- 3,15		0 159 525	0 29 114	0,22619 1,2566	0,22619 1,2566	- 2,86		0 294 578	0 59 604	0,22619 1,2566	0,22619 1,2566	- 2,32
P	S	I	01241	-1 463 412 0	640 842 0	0,18096 1,03044	0,18096 1,03044	1,51 -	01242	-1 872 467 0	595 842 0	0,18096 1,03044	0,18096 1,03044	1,65 -	01243	-2 411 219 0	335 899 0	0,18096 1,03044	0,18096 1,03044	2,02 -
S	S	I		0 479 191	0 131 650	0,22619 1,03044	0,22619 1,03044	- 1,52		0 713 692	0 254 836	0,22619 1,03044	0,22619 1,03044	- 1,53		0 934 933	0 467 042	0,22619 1,03044	0,22619 1,03044	- 1,63
P	S	I	01244	-264 390 0	10 562 0	1,68892 1,03044	1,68892 1,03044	4,38 -	01245	0 639 880 0	0 23 769 0	1,68892 1,03044	1,68892 1,03044	- 3,87	01246	0 919 198 0	0 274 616 0	1,68892 1,03044	1,68892 1,03044	- 3,30
S	S	I		0 1 169 816	0 319 425	2,48814 1,03044	2,48814 1,03044	- 2,10		0 938 987	0 85 230	2,48814 1,03044	2,48814 1,03044	- 2,28		0 527 926	0 598 465	2,48814 1,03044	2,48814 1,03044	- 1,90
P	S	I	01247	0 1 842 732	0 895 042	1,68892 1,03044	1,68892 1,03044	- 2,29	01248	0 2 723 070	0 1 441 882	1,68892 1,03044	1,68892 1,03044	- 1,71	01249	0 1 993 749	0 1 210 500	1,68892 1,03044	1,68892 1,03044	- 2,02
S	S	I		0 2 641 788	0 1 337 578	2,48814 1,03044	2,48814 1,03044	- 1,47		0 2 479 578	0 1 112 504	2,48814 1,03044	2,48814 1,03044	- 1,56		0 2 488 080	0 840 082	2,48814 1,03044	2,48814 1,03044	- 1,65
P	S	I	01250	0 1 751	0 943 147	1,68892 1,03044	1,68892 1,03044	- 2,27	01251	0 1 507	0 697 141	1,68892 1,03044	1,68892 1,03044	- 2,57	01252	0 1 231	0 476 094	0,18096 1,03044	0,18096 1,03044	- 1,34

Platee - Verifiche pressoflessione retta allo SLU

Dir	Pos	Nodo	N _{Ed} [N]	M _{Ed} [N-m]	A _s [cm ² /cm]	A _{df} [cm ² /cm]	CS	Nodo	N _{Ed} [N]	M _{Ed} [N-m]	A _s [cm ² /cm]	A _{df} [cm ² /cm]	CS	Nodo	N _{Ed} [N]	M _{Ed} [N-m]	A _s [cm ² /cm]	A _{df} [cm ² /cm]	CS
S	S		0 1 827 337	0 620 934	2,48814	2,48814	-		0 1 199 536	0 658 722	2,48814	2,48814	-		0 753 824	0 666 714	2,48814	2,48814	-
P	S	01289	0 1 209 938	0 488 864	0,18096	0,18096	-	01290	0 834 855	0 331 587	0,18096	0,18096	-	01291	0 514 850	0 205 417	0,18096	0,18096	-
S	S		0 486 985	0 650 171	0,22619	0,22619	-		0 332 691	0 616 651	0,22619	0,22619	-		0 249 412	0 567 584	0,22619	0,22619	-
P	S	01292	0 253 446	0 100 203	0,18096	0,18096	-	01293	0 80 814	0 12 370	0,18096	0,18096	-	01294	-33 057	51 010	0,18096	0,18096	-
S	S		0 221 750	0 507 059	0,22619	0,22619	-		0 200 257	0 439 859	0,22619	0,22619	-		0 193 401	0 369 590	0,22619	0,22619	-
P	S	01295	-101 593 0 0	91 678 0	0,18096	0,18096	1,43	01296	-117 266 0 0	107 288	0,18096	0,18096	21,18	01297	-102 208 0 0	101 147	0,18096	0,18096	18,40
S	S		0 192 813	0 302 610	0,22619	0,22619	-		0 184 054	0 244 392	0,22619	0,22619	-		0 172 180	0 199 742	0,22619	0,22619	-
P	S	01298	-59 387 0	76 740	0,18096	0,18096	12,01	01299	-12 609 0	24 770	0,18096	0,18096	6,84	01300	432 0	71 0	0,18096	0,18096	5,67
S	S		0 155 795	0 170 115	0,22619	0,22619	-		0 178 512	0 148 166	0,22619	0,22619	-		-138 556	15 430	0,22619	0,22619	-
P	S	01301	0 22 101	0 11 937	0,18096	0,18096	-	01302	0 127 994	0 70 431	0,18096	0,18096	-	01303	0 162 740	0 78 549	0,18096	0,18096	-
S	S		-165 147 0	13 618 0	0,22619	0,22619	4,20		-223 005 0	21 465 0	0,22619	0,22619	4,49		-133 571 0	13 363 0	0,22619	0,22619	4,11
P	S	01304	0 193 158	0 65 468	0,18096	0,18096	-	01305	0 177 228	0 33 672	0,18096	0,18096	-	01306	140 999 0	18 203 0	0,18096	0,18096	5,69
S	S		-135 799 0	37 884 0	0,22619	0,22619	4,54		-178 219 0	72 909 0	0,22619	0,22619	5,47		-132 021 0	109 074 0	0,22619	0,22619	6,46
P	S	01307	62 949 0	84 273 0	0,18096	0,18096	12,08	01308	-122 460 0	168 201 0	0,18096	0,18096	57,64	01309	-342 152 0	246 217 0	0,18096	0,18096	11,63
S	S		-86 436 0	167 529 0	0,22619	0,22619	9,65		-216 157 0	199 608 0	0,22619	0,22619	14,94		-78 566 0	266 644 0	0,22619	0,22619	NS
P	S	01310	-566 152 0	365 419 0	0,18096	0,18096	5,87	01311	-981 685 0	485 586	0,18096	0,18096	4,59	01312	-1 397 086 0	647 721 0	0,18096	0,18096	3,64
S	S		34 829 0	320 174 0	0,22619	0,22619	21,70		-107 110 0	372 790	0,22619	0,22619	10,92		182 576 0	499 933 0	0,22619	0,22619	3,82
P	S	01313	-1 823 697 0	867 636 0	0,18096	0,18096	1,49	01314	-2 439 992 0	1 017 309 0	0,18096	0,18096	1,57	01315	-2 665 180 0	1 004 473 0	0,18096	0,18096	1,64
S	S		572 465 0	614 367 0	0,22619	0,22619	1,09		784 306 0	709 822	0,35186	0,35186	1,27		1 575 028 0	532 870 0	0,35186	0,35186	1,13
P	S	01316	-563 109 0	34 772 0	1,68892	1,68892	4,60	01317	-19 961 0	92 889	1,68892	1,68892	4,47	01318	125 676 0	19 602 0	1,68892	1,68892	4,21
S	S		-650 234 0	123 970	2,48814	2,48814	2,83		-63 901 0	12 802	2,48814	2,48814	2,58		0 57 879	0 2 832	2,48814	2,48814	2,54
P	S	01319	0 125 032	0 61 628	1,68892	1,68892	-	01320	0 375 257	0 273 860	1,68892	1,68892	-	01321	0 2 554 883	0 1 125 911	1,68892	1,68892	-
S	S		0 92 748	0 47 150	2,48814	2,48814	-		0 1 149 332	0 186 645	2,48814	2,48814	-		0 1 758 791	0 284 646	2,48814	2,48814	-
P	S	01322	0 3 406 935	0 1 247 249	1,68892	1,68892	-	01323	0 2 844 622	0 1 101 734	1,68892	1,68892	-	01324	0 2 123 844	0 907 107	1,68892	1,68892	-

Platee - Verifiche pressoflessione retta allo SLU

Dir	Pos	Nodo	N _{Ed}	M _{Ed}	A _s	A _{df}	CS	Nodo	N _{Ed}	M _{Ed}	A _s	A _{df}	CS	Nodo	N _{Ed}	M _{Ed}	A _s	A _{df}	CS	
			[N]	[N·m]	[cm ² /cm]	[cm ² /cm]			[N]	[N·m]	[cm ² /cm]	[cm ² /cm]			[N]	[N·m]	[cm ² /cm]	[cm ² /cm]		
S	S		0 1 485 356	0 604 827	2,48814	2,48814	-		0 1 076 225	0 853 750	2,48814	2,48814	-		0 766 066	0 955 100	2,48814	2,48814	-	1,89
P	S	01325	0 1 539 498	0 679 370	0,18096	0,18096	-	01326	0 919 982	0 550 341	0,18096	0,18096	-	01327	0 462 496	0 406 858	0,18096	0,18096	-	1,59
S	S		0 492 307	0 1 006 210	0,22619	0,22619	-		0 342 550	0 1 004 455	0,22619	0,22619	-		0 97 677	0 982 339	0,22619	0,22619	-	2,89
P	S	01328	0 183 863	0 285 765	0,18096	0,18096	-	01329	0 -28 448	0 157 623	0,18096	0,18096	-	01330	0 -207 701	0 66 130	0,18096	0,18096	-	1,57
S	S		0 232 409	0 888 687	0,22619	0,22619	-		0 291 693	0 778 204	0,22619	0,22619	-		0 212 454	0 644 121	0,22619	0,22619	-	2,17
P	S	01331	-249 584 0	15 941	0,18096	0,18096	1,52	01332	-258 969	66 252	0,18096	0,18096	1,49	01333	-232 468	89 129	0,18096	0,18096	-	16,36
S	S		0 245 955	0 511 241	0,22619	0,22619	1,98		0 268 439	0 394 979	0,22619	0,22619	1,84		0 229 432	0 285 359	0,22619	0,22619	-	1,47
P	S	01334	-175 278	99 260	0,18096	0,18096	18,73	01335	-83 960	40 422	0,18096	0,18096	8,25	01336	-6 427	5 556	0,18096	0,18096	-	5,91
S	S		0 190 832	0 211 408	0,22619	0,22619	1,74		0 133 673	0 172 318	0,22619	0,22619	1,99		0 185 265	0 160 617	0,22619	0,22619	-	1,96
P	S	01337	4 787	0 189	0,18096	0,18096	5,42	01338	0 64 200	0 31 432	0,18096	0,18096	4,45	01339	0 139 180	0 62 725	0,18096	0,18096	-	3,55
S	S		-102 586 0	103 836 0	0,22619	0,22619	6,14		-56 953 0	116 105 0	0,22619	0,22619	6,41		-94 350 0	146 750 0	0,22619	0,22619	-	8,14
P	S	01340	0 177 224	0 54 051	0,18096	0,18096	3,57	01341	0 187 804	0 26 016	0,18096	0,18096	4,09	01342	140 068	16 280	0,18096	0,18096	-	5,62
S	S		-115 818 0	201 650 0	0,22619	0,22619	14,37		-147 972 0	276 640 0	0,22619	0,22619	NS		-92 549 0	367 174 0	0,22619	0,22619	-	11,49
P	S	01343	103 374 0	97 567	0,18096	0,18096	14,51	01344	-67 502 0	160 242	0,18096	0,18096	NS	01345	-301 267 0	272 320	0,18096	0,18096	-	8,88
S	S		-80 081 0	457 547	0,22619	0,22619	5,73		-97 884 0	554 808 0	0,22619	0,22619	3,77		-169 525 0	634 261 0	0,22619	0,22619	-	3,08
P	S	01346	-563 132	367 773	0,18096	0,18096	5,79	01347	-883 849	483 720	0,18096	0,18096	4,43	01348	-1 384 258	598 436	0,18096	0,18096	-	4,02
S	S		-106 765 0	673 028 0	0,22619	0,22619	2,67		-113 556 0	722 361 0	0,22619	0,22619	2,38		-266 018 0	708 662 0	0,22619	0,22619	-	2,70
P	S	01349	-1 859 513 0	762 191	0,18096	0,18096	1,55	01350	-2 410 696 0	923 998	0,18096	0,18096	1,61	01351	-2 722 219 0	998 608	0,18096	0,18096	-	1,66
S	S		-544 848	664 375	0,22619	0,22619	1,36		-923 174	594 203	0,22619	0,22619	1,50		-1 488 375 0	381 729	0,22619	0,22619	-	1,81
P	S	01352	-1 876 165 0	748 864	1,68892	1,68892	9,94	01353	-196 644	190 266	1,68892	1,68892	4,85	01354	-33 183	70 445	1,68892	1,68892	-	4,41
S	S		-1 866 276	165 023	2,48814	2,48814	3,26		-698 415	152 544	2,48814	2,48814	2,86		-18 846	65 196	2,48814	2,48814	-	2,61
P	S	01355	-21 929	3 469	1,68892	1,68892	4,24	01356	0 76 073	0 104 039	1,68892	1,68892	-	01357	0 1 606 392	0 268 644	1,68892	1,68892	-	3,07
S	S		54 171	29 769	2,48814	2,48814	2,56		0 252 256	0 20 507	2,48814	2,48814	2,48		0 292 752	0 276 301	2,48814	2,48814	-	2,31
P	S	01358	0 3 064	0 1 244	1,68892	1,68892	1,75	01359	0 2 878	0 1 205	1,68892	1,68892	1,81	01360	0 2 139	0 991 888	1,68892	1,68892	-	2,14

Platee - Verifiche pressoflessione retta allo SLU

Dir	Pos	Nodo	N _{Ed}	M _{Ed}	A _s	A _{df}	CS	Nodo	N _{Ed}	M _{Ed}	A _s	A _{df}	CS	Nodo	N _{Ed}	M _{Ed}	A _s	A _{df}	CS
			[N]	[N-m]	[cm/cm]	[cm/cm]			[N]	[N-m]	[cm/cm]	[cm/cm]			[N]	[N-m]	[cm/cm]	[cm/cm]	
P	S	01397	0	0	0,18096	0,18096	-	01398	0	0	0,18096	0,18096	-	01399	0	0	0,18096	0,18096	-
I	1		576	1,03044	1,03044	1,43	834		411	1,03044	1,03044	1,45	537		274	1,03044	1,03044	1,46	
S	S	01400	0	0	0,22619	0,22619	-	01401	0	0	0,22619	0,22619	-	01402	0	0	0,22619	0,22619	-
I	114		255	1,03044	1,03044	1,76	159		228	1,03044	1,03044	1,72	184		201	1,03044	1,03044	1,69	
P	S	01403	-87	62	0,18096	0,18096	1,44	01404	-115	90	0,18096	0,18096	1,43	01405	-109	94	0,18096	0,18096	16,27
I	203		344	1,03044	1,03044	-	275		244	1,03044	1,03044	-	126		198	0,12566	0,12566	-	
S	S	01406	0	0	0,22619	0,22619	-	01407	0	0	0,22619	0,22619	-	01408	0	0	0,22619	0,22619	-
I	190		173	1,03044	1,03044	1,66	186		145	1,03044	1,03044	1,64	176		118	1,03044	1,03044	1,62	
P	S	01409	-4	15	0,18096	0,18096	-	01410	0	0	0,18096	0,18096	-	01411	0	0	0,18096	0,18096	-
I	542		327	0,12566	0,12566	5,16	-2		38	0,12566	0,12566	4,53	5		63	0,12566	0,12566	3,98	
S	S	01412	-96	87	0,22619	0,22619	5,58	01413	-64	91	0,22619	0,22619	5,58	01414	-54	99	0,22619	0,22619	5,81
I	863		114	0,12566	0,12566	-	263		387	0,12566	0,12566	-	872		847	0,12566	0,12566	-	
P	S	01415	0	0	0,18096	0,18096	-	01416	-287	22	0,18096	0,18096	8,24	01417	-443	92	0,18096	0,18096	20,04
I	176		76	0,12566	0,12566	3,76	-25		76	0,12566	0,12566	3,84	-80		61	0,12566	0,12566	4,29	
S	S	01418	-57	111	0,22619	0,22619	6,23	01419	-60	127	0,22619	0,22619	6,94	01420	-61	149	0,22619	0,22619	8,16
I	757		433	0,12566	0,12566	-	025		921	0,12566	0,12566	-	704		926	0,12566	0,12566	-	
P	S	01421	0	0	0,18096	0,18096	-	01422	-841	299	0,18096	0,18096	9,71	01423	-1	445	0,18096	0,18096	5,38
I	-166		27	0,12566	0,12566	5,45	591		772	0,12566	0,12566	-	073		979	0,12566	0,12566	-	
S	S	01424	-69	175	0,22619	0,22619	10,33	01425	-88	207	0,22619	0,22619	15,29	01426	-132	243	0,22619	0,22619	33,40
I	742		827	0,12566	0,12566	-	928		353	0,12566	0,12566	-	424		521	0,12566	0,12566	-	
P	S	01427	-630	183	0,18096	0,18096	39,63	01428	-841	299	0,18096	0,18096	9,71	01429	-1	445	0,18096	0,18096	5,38
I	109		752	0,12566	0,12566	-	219		219	0,12566	0,12566	-	505		0	0,12566	0,12566	-	
S	S	01430	-220	286	0,22619	0,22619	NS	01431	-375	339	0,22619	0,22619	19,53	01432	-633	404	0,22619	0,22619	10,95
I	068		433	0,12566	0,12566	-	193		050	0,12566	0,12566	-	568		249	0,12566	0,12566	-	
P	S	01431	-1	624	0,18096	0,18096	1,46	01432	-1	824	0,18096	0,18096	1,41	01433	-1	1	0,18096	0,18096	1,35
I	262		254	1,03044	1,03044	-	437		151	1,03044	1,03044	-	600		706	1,03044	1,03044	-	
S	S	01432	-1	487	0,22619	0,22619	1,59	01433	-1	601	0,22619	0,22619	1,68	01434	-2	760	0,22619	0,22619	1,76
I	026		455	1,03044	1,03044	-	844		773	1,03044	1,03044	-	171		810	1,03044	1,03044	-	
P	S	01433	-2	1	1,68892	1,68892	25,96	01434	-1	577	1,68892	1,68892	7,92	01435	-712	191	1,68892	1,68892	5,17
I	348		218	1,03044	1,03044	-	599		533	1,03044	1,03044	-	550		729	1,03044	1,03044	-	
S	S	01434	-1	1	2,48814	2,48814	4,47	01435	-2	1	2,48814	2,48814	4,76	01436	-953	431	2,48814	2,48814	3,21
I	921		005	1,03044	1,03044	-	343		013	1,03044	1,03044	-	850		682	1,03044	1,03044	-	
P	S	01435	-424	17	1,68892	1,68892	4,48	01436	0	0	1,68892	1,68892	-	01437	0	0	1,68892	1,68892	-
I	894		159	1,03044	1,03044	-	96		19	1,03044	1,03044	4,13	2		588	1,03044	1,03044	2,35	
S	S	01436	-1	8	2,48814	2,48814	2,86	01437	-1	57	2,48814	2,48814	2,94	01438	-452	277	2,48814	2,48814	2,90
I	107		588	1,03044	1,03044	-	235		273	1,03044	1,03044	-	982		777	1,03044	1,03044	-	
P	S	01437	0	0	1,68892	1,68892	-	01438	0	0	1,68892	1,68892	-	01439	0	0	1,68892	1,68892	-
I	2		769	1,03044	1,03044	2,35	1		735	1,03044	1,03044	2,50	1		603	1,03044	1,03044	2,75	
S	S	01438	-255	159	2,48814	2,48814	2,74	01439	-130	78	2,48814	2,48814	2,65	01440	-15	33	2,48814	2,48814	2,58
I	733		306	1,03044	1,03044	-	137		429	1,03044	1,03044	-	070		306	1,03044	1,03044	-	

Platee - Verifiche pressoflessione retta allo SLU

Dir	Pos	Nodo	N _{Ed}	M _{Ed}	A _s	A _{df}	CS	Nodo	N _{Ed}	M _{Ed}	A _s	A _{df}	CS	Nodo	N _{Ed}	M _{Ed}	A _s	A _{df}	CS
			[N]	[N-m]	[cm ² /cm]	[cm ² /cm]			[N]	[N-m]	[cm ² /cm]	[cm ² /cm]			[N]	[N-m]	[cm ² /cm]	[cm ² /cm]	
	I		0	0	1,03044	1,03044	-		0	0	1,03044	1,03044	-		0	0	1,03044	1,03044	-
P	S	01433	0	0	0,18096	0,18096	-	01434	0	0	0,18096	0,18096	-	01435	0	0	0,18096	0,18096	-
	I		909	448	1,03044	1,03044	1,45	643	306	1,03044	1,03044	1,44	429	186	0,18096	0,18096	1,43		
S	S		294	474	0,22619	0,22619	1,56	651	410	1,03044	1,03044	1,55	490	650	1,03044	1,03044	1,54		
	I		60	14	0,22619	0,22619	-		101	10	0,22619	0,22619	-		116	10	0,22619	0,22619	-
	S		451	503	1,03044	1,03044	-		938	295	1,03044	1,03044	-		100	731	1,03044	1,03044	-
	I		0	0	0,18096	0,18096	-	01437	0	0	0,18096	0,18096	-	01438	50	39	0,18096	0,18096	1,41
P	S	01436	0	0	1,03044	1,03044	1,42		136	13	1,03044	1,03044	1,42		601	236	1,03044	1,03044	-
	I		262	88	0,22619	0,22619	1,55	832	503	0,22619	0,22619	1,55	0	0	0,22619	0,22619	1,55		
S	S		031	288	1,03044	1,03044	-	116	8	1,03044	1,03044	-	117	4	1,03044	1,03044	-		
	I		116	10	0,18096	0,18096	1,41		213	422	0,18096	0,18096	11,81	01441	-30	66	0,18096	0,18096	10,34
P	S	01439	-651	69	0,22619	0,22619	-		0	0	0,22619	0,22619	-		0	0	0,22619	0,22619	-
	I		0	0	1,03044	1,03044	1,55	133	8	1,03044	1,03044	3,13	153	17	1,03044	1,03044	2,99		
S	S		121	812	0,12566	0,12566	-	692	492	0,12566	0,12566	-	576	459	0,12566	0,12566	-		
	I		0	0	0,18096	0,18096	-	01440	-26	77	0,18096	0,18096	-		927	497	0,18096	0,18096	-
P	S	01442	-22	40	0,12566	0,12566	7,84		-1	2	0,12566	0,12566	5,78	01444	0	0	0,12566	0,12566	-
	I		228	145	0,22619	0,22619	-	607	881	0,22619	0,22619	-	-10	23	0,22619	0,22619	4,96		
S	S		0	0	1,03044	1,03044	2,84	221	28	1,03044	1,03044	2,72	0	0	1,03044	1,03044	-		
	I		182	25	0,18096	0,18096	-		0	0	0,18096	0,18096	-		-64	72	0,18096	0,18096	5,06
	S		368	426	0,12566	0,12566	-		0	0	0,12566	0,12566	-		510	394	0,12566	0,12566	-
P	S	01445	0	0	0,18096	0,18096	-	01446	0	0	0,18096	0,18096	-	01447	0	0	0,18096	0,18096	-
	I		-16	48	0,22619	0,22619	4,36	-27	72	0,22619	0,22619	3,93	-50	88	0,22619	0,22619	3,72		
S	S		955	087	1,03044	1,03044	5,00	409	055	1,03044	1,03044	4,98	330	619	1,03044	1,03044	5,03		
	I		-49	71	0,18096	0,18096	-		0	0	0,18096	0,18096	-		0	0	0,18096	0,18096	-
	S		766	863	0,12566	0,12566	-		-47	71	0,12566	0,12566	-		-50	72	0,12566	0,12566	-
	I		0	0	0,22619	0,22619	3,77		360	632	0,22619	0,22619	4,12		685	964	0,22619	0,22619	4,98
P	S	01448	0	0	0,12566	0,12566	5,17		0	0	0,12566	0,12566	-	01450	0	0	0,12566	0,12566	-
	I		-92	93	0,18096	0,18096	-	-155	83	0,18096	0,18096	-	-239	54	0,18096	0,18096	4,98		
S	S		083	693	1,03044	1,03044	-	057	462	1,03044	1,03044	-	653	851	1,03044	1,03044	-		
	I		-57	77	0,22619	0,22619	-		-70	87	0,22619	0,22619	-		-98	104	0,22619	0,22619	6,16
	S		249	714	0,12566	0,12566	-		801	595	0,12566	0,12566	-		747	730	0,12566	0,12566	-
	I		0	0	0,18096	0,18096	-	01452	-466	70	0,18096	0,18096	14,66	01453	-596	175	0,18096	0,18096	51,90
P	S	01451	-345	5	0,12566	0,12566	7,04		738	329	0,12566	0,12566	-		481	642	0,12566	0,12566	-
	I		331	015	0,22619	0,22619	7,59	-246	173	0,22619	0,22619	11,35	-404	234	0,22619	0,22619	31,22		
S	S		-151	132	1,03044	1,03044	-	556	610	1,03044	1,03044	-	625	462	1,03044	1,03044	-		
	I		634	114	0,18096	0,18096	8,26		0	0	0,18096	0,18096	-		0	0	0,18096	0,18096	-
P	S	01454	-720	315	0,22619	0,22619	29,92		-1	449	0,22619	0,22619	9,51		-1	635	0,22619	0,22619	1,64
	I		776	854	1,03044	1,03044	-	055	768	1,03044	1,03044	-	232	199	1,03044	1,03044	-		
S	S		0	0	0,18096	0,18096	-	0	0	0,18096	0,18096	-	0	0	0,18096	0,18096	-		
	I		-654	322	0,12566	0,12566	-		026	171	0,12566	0,12566	-		521	253	0,12566	0,12566	-
	S		947	005	1,03044	1,03044	-		658	0	1,03044	1,03044	-		416	0	1,03044	1,03044	-
	I		0	0	0,18096	0,18096	1,24		-2	926	1,68892	1,68892	13,24	01459	-1	398	1,68892	1,68892	7,07
P	S	01457	-1	967	1,03044	1,03044	-		120	751	1,03044	1,03044	-		877	104	1,03044	1,03044	-
	I		004	558	0,22619	0,22619	1,72	0	0	0,22619	0,22619	4,98	0	0	0,22619	0,22619	4,35		
S	S		-2	905	1,03044	1,03044	-	-2	1	1,03044	1,03044	-	-2	906	1,03044	1,03044	-		
	I		360	785	0,18096	0,18096	6,16		284	129	0,18096	0,18096	-		031	004	0,18096	0,18096	-
	S		740	0	0,22619	0,22619	-		260	596	0,22619	0,22619	-		530	0	0,22619	0,22619	-
	I		0	0	1,03044	1,03044	-		0	0	1,03044	1,03044	-		0	0	1,03044	1,03044	-
P	S	01460	-1	212	1,68892	1,68892	6,16		1	179	1,81458	1,81458	3,53	01462	0	0	1,68892	1,68892	-
	I		912	007	0,22619	0,22619	-	272	344	0,22619	0,22619	-	922	358	0,22619	0,22619	3,17		
S	S		397	0	1,03044	1,03044	4,38	0	0	1,03044	1,03044	4,20	216	412	1,03044	1,03044	3,62		
	I		-2	684	2,48814	2,48814	-		-2	689	2,48814	2,48814	-		-2	312	2,48814	2,48814	-
	S		769	270	0,18096	0,18096	-		441	829	0,18096	0,18096	-		350	987	0,18096	0,18096	-
	I		276	0	1,03044	1,03044	-		788	0	1,03044	1,03044	-		392	0	1,03044	1,03044	-
P	S	01463	0	0	1,68892	1,68892	-	01464	0	0	1,68892	1,68892	-	01465	0	0	1,68892	1,68892	-
	I		470	663	0,22619	0,22619	2,91	1	563	0,22619	0,22619	2,59	1	671	0,22619	0,22619	2,61		
S	S		897	000	1,03044	1,03044	3,12	903	973	1,03044	1,03044	2,84	441	076	1,03044	1,03044	2,79		
	I		-1	17	2,48814	2,48814	-		-306	260	2,48814	2,48814	-		-229	232	2,48814	2,48814	-
	S		882	050	0,18096	0,18096	-		852	739	0,18096	0,18096	-		207	878	0,18096	0,18096	-
	I		192	0	1,03044	1,03044	-		0	0	1,03044	1,03044	-		0	0	1,03044	1,03044	-
P	S	01466	0	0	1,68892	1,68892	-	01467	0	0	1,68892	1,68892	-	01468	0	0	1,68892	1,68892	-
	I		1	613	0,22619	0,22619	2,77	863	490	0,22619	0,22619	1,50	650	351	0,22619	0,22619	1,47		
S	S		120	823	1,03044	1,03044	2,72	978	097	1,03044	1,03044	1,48	391	845	1,03044	1,03044	1,48		
	I		-98	191	2,48814	2,48814	-		-6	164	2,48814	2,48814	-		46	145	2,48814	2,48814	-

Platee - Verifiche pressoflessione retta allo SLU

Dir	Pos	Nodo	N _{Ed}	M _{Ed}	A _s	A _{df}	CS	Nodo	N _{Ed}	M _{Ed}	A _s	A _{df}	CS	Nodo	N _{Ed}	M _{Ed}	A _s	A _{df}	CS	
			[N]	[N-m]	[cm/cm]	[cm/cm]			[N]	[N-m]	[cm/cm]	[cm/cm]			[N]	[N-m]	[cm/cm]	[cm/cm]		
	I		765	385					818	013					195	187				
			0	0	1,03044	1,03044	-		0	0	1,03044	1,03044	-		0	0	1,03044	1,03044	-	
P	S	01469	473	0	0,18096	0,18096	-	01470	332	0	0,18096	0,18096	-	01471	0	0	0,18096	0,18096	-	
	I		744	226	1,03044	1,03044	1,44		556	122	1,03044	1,03044	1,42		221	42	1,03044	1,03044	1,41	
S	S		72	131	0,22619	0,22619	1,48		79	117	0,22619	0,22619	1,48		80	101	0,22619	0,22619	1,49	
	I		293	245	1,03044	1,03044	-		654	613	1,03044	1,03044	-		511	855	1,03044	1,03044	-	
P	S	01472	137	14	0,18096	0,18096	1,40	01473	78	47	0,18096	0,18096	1,40	01474	39	59	0,18096	0,18096	1,40	
	I		127	028	1,03044	1,03044	-		065	233	1,03044	1,03044	-		507	281	1,03044	1,03044	-	
S	S		81	83	0,22619	0,22619	1,51		85	63	0,22619	0,22619	1,52		96	43	0,22619	0,22619	1,53	
	I		507	729	1,03044	1,03044	-		889	745	1,03044	1,03044	-		756	151	1,03044	1,03044	-	
P	S	01475	17	53	0,18096	0,18096	8,59	01476	8	33	0,18096	0,18096	7,21	01477	8	6	0,18096	0,18096	5,87	
	I		344	075	0,12566	0,12566	-		324	344	0,12566	0,12566	-		490	213	0,12566	0,12566	-	
S	S		115	23	0,22619	0,22619	3,58		140	6	0,22619	0,22619	3,29		0	0	0,22619	0,22619	-	
	I		027	467	0,12566	0,12566	-		042	395	0,12566	0,12566	-		173	6	0,12566	0,12566	3,06	
P	S	01478	0	0	0,18096	0,18096	-	01479	0	0	0,18096	0,18096	-	01480	0	0	0,18096	0,18096	-	
	I		6	15	0,12566	0,12566	5,10		-14	30	0,12566	0,12566	4,78		-29	57	0,12566	0,12566	4,22	
S	S		0	0	0,22619	0,22619	-		-45	54	0,22619	0,22619	4,59		-46	49	0,22619	0,22619	4,49	
	I		214	11	0,12566	0,12566	2,90		059	651	0,12566	0,12566	-		045	546	0,12566	0,12566	-	
P	S	01481	0	0	0,18096	0,18096	-	01482	0	0	0,18096	0,18096	-	01483	0	0	0,18096	0,18096	-	
	I		-49	83	0,12566	0,12566	3,81		-79	103	0,12566	0,12566	3,59		-121	112	0,12566	0,12566	3,58	
S	S		-51	43	0,22619	0,22619	4,39		-61	39	0,22619	0,22619	4,35		-79	40	0,22619	0,22619	4,42	
	I		592	575	0,12566	0,12566	-		940	686	0,12566	0,12566	-		624	616	0,12566	0,12566	-	
P	S	01484	0	0	0,18096	0,18096	-	01485	0	0	0,18096	0,18096	-	01486	0	0	0,18096	0,18096	-	
	I		-176	104	0,12566	0,12566	3,84		-241	74	0,12566	0,12566	4,55		-309	16	0,12566	0,12566	6,42	
S	S		-111	49	0,22619	0,22619	4,70		-167	70	0,22619	0,22619	5,38		-262	109	0,22619	0,22619	7,04	
	I		278	592	0,12566	0,12566	-		306	873	0,12566	0,12566	-		244	545	0,12566	0,12566	-	
P	S	01487	-372	77	0,18096	0,18096	15,09	01488	-420	211	0,18096	0,18096	19,25	01489	-437	391	0,18096	0,18096	4,86	
	I		737	180	0,12566	0,12566	-		515	456	0,12566	0,12566	-		297	377	0,12566	0,12566	-	
S	S		-414	172	0,22619	0,22619	12,40		-646	268	0,22619	0,22619	NS		-992	409	0,22619	0,22619	12,06	
	I		541	242	0,12566	0,12566	-		664	133	0,12566	0,12566	-		366	808	0,12566	0,12566	-	
P	S	01490	-389	625	0,18096	0,18096	1,23	01491	-236	914	0,18096	0,18096	1,08	01492	-2	923	0,18096	0,18096	1,55	
	I		500	728	1,03044	1,03044	-		723	141	1,03044	1,03044	-		182	007	1,03044	1,03044	-	
S	S		-1	608	0,22619	0,22619	1,65		-2	908	0,22619	0,22619	1,64		-1	964	0,22619	0,22619	1,43	
	I		485	135	1,03044	1,03044	-		074	992	1,03044	1,03044	-		398	133	1,03044	1,03044	-	
P	S	01493	-1	579	0,18096	0,18096	1,62	01494	-1	436	0,18096	0,18096	1,67	01495	977	798	0,30662	0,30662	1,08	
	I		733	630	1,03044	1,03044	-		588	701	1,03044	1,03044	-		385	628	1,03044	1,03044	-	
S	S		-1	932	0,22619	0,22619	1,58		-2	948	0,22619	0,22619	1,74		-2	1	0,22619	0,22619	1,70	
	I		894	192	1,03044	1,03044	-		509	542	1,03044	1,03044	-		515	013	1,03044	1,03044	-	
P	S	01496	661	42	0,18096	0,18096	1,22	01497	0	0	0,18096	0,18096	-	01498	0	0	0,18096	0,18096	-	
	I		537	483	1,03044	1,03044	-		873	396	1,03044	1,03044	1,42		887	493	1,03044	1,03044	1,49	
S	S		-2	713	0,22619	0,22619	1,75		-1	485	0,22619	0,22619	1,86		-1	289	0,22619	0,22619	1,89	
	I		047	181	1,03044	1,03044	-		881	779	1,03044	1,03044	-		517	303	1,03044	1,03044	-	
P	S	01499	0	0	0,18096	0,18096	-	01500	0	0	0,18096	0,18096	-	01501	0	0	0,18096	0,18096	-	
	I		990	596	1,03044	1,03044	1,54		901	619	1,03044	1,03044	1,60		709	532	1,03044	1,03044	1,60	
S	S		-208	158	0,22619	0,22619	1,55		-222	180	0,22619	0,22619	1,54		-48	195	0,22619	0,22619	1,47	
	I		207	978	1,03044	1,03044	-		205	511	1,03044	1,03044	-		860	520	1,03044	1,03044	-	
P	S	01502	0	0	0,18096	0,18096	-	01503	0	0	0,18096	0,18096	-	01504	0	0	0,18096	0,18096	-	
	I		561	407	1,03044	1,03044	1,55		434	279	1,03044	1,03044	1,50		329	167	1,03044	1,03044	1,45	
S	S		338	562	0,22619	0,22619	1,46		968	044	0,22619	0,22619	1,45		63	172	0,22619	0,22619	1,45	
	I		14	192	1,03044	1,03044	-		49	184	1,03044	1,03044	-		328	373	1,03044	1,03044	-	
P	S	01505	0	0	0,18096	0,18096	-	01506	0	0	0,18096	0,18096	-	01507	120	23	0,18096	0,18096	1,40	
	I		0	0	1,03044	1,03044	-		378	757	1,03044	1,03044	-		823	008	1,03044	1,03044	-	

Platee - Verifiche pressoflessione retta allo SLU

Dir	Pos	Nodo	N _{Ed}	M _{Ed}	A _s	A _{df}	CS	Nodo	N _{Ed}	M _{Ed}	A _s	A _{df}	CS	Nodo	N _{Ed}	M _{Ed}	A _s	A _{df}	CS
			[N]	[N-m]	[cm ² /cm]	[cm ² /cm]			[N]	[N-m]	[cm ² /cm]	[cm ² /cm]			[N]	[N-m]	[cm ² /cm]	[cm ² /cm]	
	I		243 336	79 109	1,03044	1,03044	1,42		174 248	16 096	1,03044	1,03044	1,41		0	0	1,03044	1,03044	-
S	S		65 738 0	155 302 0	0,22619	0,22619	1,46		64 944 0	133 978 0	0,22619	0,22619	1,48		66 345 0	109 510 0	0,22619	0,22619	1,49
	I		0	0	1,03044	1,03044	-		0	0	1,03044	1,03044	-		0	0	1,03044	1,03044	-
P	S	01508	80 955 0	40 196 0	0,18096	0,18096	1,40	01509	52 152 0	39 060 0	0,18096	0,18096	7,30	01510	32 520 0	24 439 0	0,18096	0,18096	6,57
	I		0	0	1,03044	1,03044	-		0	0	0,12566	0,12566	-		0	0	0,12566	0,12566	-
S	S		73 334 0	83 636 0	0,22619	0,22619	1,51		87 388 0	58 359 0	0,22619	0,22619	4,24		107 903 0	35 757 0	0,22619	0,22619	3,78
	I		0	0	1,03044	1,03044	-		0	0	0,12566	0,12566	-		0	0	0,12566	0,12566	-
P	S	01511	20 333	3 266	0,18096	0,18096	5,69	01512	0 10	0 953	0,18096	0,18096	-	01513	0 -5 778	0 15 447	0,18096	0,18096	-
	I		0	0	0,12566	0,12566	-		13 349	0,12566	0,12566	5,16		-31 056 0	43 831 0	0,12566	0,12566	5,17	
S	S		133 484 0	17 623 0	0,22619	0,22619	3,45		170 340 0	4 921 0	0,22619	0,22619	3,19		-177 493 0	42 410 0	0,22619	0,22619	4,75
	I		0	0	0,12566	0,12566	-		0	0	0,12566	0,12566	-		0	0	0,12566	0,12566	-
P	S	01514	0 -19 106	0 37 922	0,18096	0,18096	-	01515	0 -34 039	0 66 933	0,18096	0,18096	-	01516	0 -53 561	0 96 002	0,18096	0,18096	-
	I		-42 587 0	38 127 0	0,22619	0,22619	4,27		-55 138 0	30 452 0	0,22619	0,22619	4,17		-70 485 0	23 290 0	0,22619	0,22619	4,09
	I		0	0	0,12566	0,12566	-		0	0	0,12566	0,12566	-		0	0	0,12566	0,12566	-
P	S	01517	0 -79 373	0 118 837	0,18096	0,18096	-	01518	0 -110 548	0 128 334	0,18096	0,18096	-	01519	0 -143 218	0 116 846	0,18096	0,18096	-
	I		-91 405 0	20 180 0	0,22619	0,22619	4,10		-123 838 0	24 967 0	0,22619	0,22619	4,27		-177 493 0	42 410 0	0,22619	0,22619	4,75
	I		0	0	0,12566	0,12566	-		0	0	0,12566	0,12566	-		0	0	0,12566	0,12566	-
P	S	01520	0 -170 598	0 76 086	0,18096	0,18096	-	01521	-182 644	3 697	0,18096	0,18096	6,68	01522	-167 184	131 192	0,18096	0,18096	47,53
	I		-265 929 0	78 415 0	0,22619	0,22619	5,94		-405 875 0	139 935 0	0,22619	0,22619	9,39		-616 469 0	235 473 0	0,22619	0,22619	36,69
	I		0	0	0,12566	0,12566	-		0	0	0,12566	0,12566	-		0	0	0,12566	0,12566	-
P	S	01523	-107 741 0	313 601 0	0,18096	0,18096	5,78	01524	90 322 0	557 506 0	0,18096	0,18096	1,96	01525	-233 908 0	798 588 0	0,18096	0,18096	1,13
	I		-922 174	375 199	0,22619	0,22619	15,71		-1 616 757	561 920	0,22619	0,22619	6,91		-1 715 123	853 970	0,22619	0,22619	1,57
	I		0	0	0,12566	0,12566	-		0	0	0,12566	0,12566	-		0	0	1,03044	1,03044	-
P	S	01526	-2 045 200	888 087	0,18096	0,18096	1,53	01527	-1 795 956	780 317	0,18096	0,18096	1,52	01528	-1 415 460	604 351	0,18096	0,18096	1,52
	I		0	0	1,03044	1,03044	-		0	0	1,03044	1,03044	-		0	0	1,03044	1,03044	-
S	S		-495 551	858 169	0,22619	0,22619	1,25		-856 296	805 900	0,22619	0,22619	1,37		-1 511 698	780 390	0,22619	0,22619	1,56
	I		0	0	1,03044	1,03044	-		0	0	1,03044	1,03044	-		0	0	1,03044	1,03044	-
P	S	01529	-1 171 868	510 100	0,18096	0,18096	1,50	01530	-568 262	666 193	0,18096	0,18096	1,26	01531	573 876	399 598	0,18096	0,18096	1,08
	I		0	0	1,03044	1,03044	-		0	0	1,03044	1,03044	-		0	0	1,03044	1,03044	-
S	S		-1 948 088	836 974	0,22619	0,22619	1,64		-2 482 464	937 874	0,22619	0,22619	1,73		-2 006 479	836 841	0,22619	0,22619	1,66
	I		0	0	1,03044	1,03044	-		0	0	1,03044	1,03044	-		0	0	1,03044	1,03044	-
P	S	01532	0 596 549	0 106 022	0,18096	0,18096	-	01533	0 723 874	0 344 499	0,18096	0,18096	-	01534	0 831 016	0 402 201	0,18096	0,18096	-
	I		-1 692 273	667 411	0,22619	0,22619	1,67		-1 433 340	520 204	0,22619	0,22619	1,69		-1 124 876	399 638	0,22619	0,22619	1,68
	I		0	0	1,03044	1,03044	-		0	0	1,03044	1,03044	-		0	0	1,03044	1,03044	-
P	S	01535	0 459 818	0 591 212	0,18096	0,18096	-	01536	0 393 468	0 478 967	0,18096	0,18096	-	01537	0 328 058	0 346 888	0,18096	0,18096	-
	I		-90 086 0	98 159 0	0,22619	0,22619	1,55		-4 114 0	148 061 0	0,22619	0,22619	1,49		39 711 0	167 935 0	0,22619	0,22619	1,46
	I		0	0	1,03044	1,03044	-		0	0	1,03044	1,03044	-		0	0	1,03044	1,03044	-
P	S	01538	0 267 791	0 226 018	0,18096	0,18096	-	01539	0 213 894	0 126 740	0,18096	0,18096	-	01540	0 167 620	0 53 303	0,18096	0,18096	-
	I		59 660 0	172 783 0	0,22619	0,22619	1,45		64 811 0	166 556 0	0,22619	0,22619	1,46		62 799 0	151 831 0	0,22619	0,22619	1,47
	I		0	0	1,03044	1,03044	-		0	0	1,03044	1,03044	-		0	0	1,03044	1,03044	-
P	S	01541	0 99 261	0 4 208	0,18096	0,18096	-	01542	97 250	19 123	0,18096	0,18096	1,41	01543	70 795	24 098	0,18096	0,18096	1,41
	I		0	0	1,03044	1,03044	1,42		0	0	1,03044	1,03044	-		0	0	1,03044	1,03044	-
S	S		60 131	0,22619	0,22619	1,48		61	106	0,22619	0,22619	1,50		69	81	0,22619	0,22619	1,51	

Platee - Verifiche pressoflessione retta allo SLU

Dir	Pos	Nodo	N _{Ed}	M _{Ed}	A _s	A _{df}	CS	Nodo	N _{Ed}	M _{Ed}	A _s	A _{df}	CS	Nodo	N _{Ed}	M _{Ed}	A _s	A _{df}	CS
			[N]	[N-m]	[cm/cm]	[cm/cm]			[N]	[N-m]	[cm/cm]	[cm/cm]			[N]	[N-m]	[cm/cm]	[cm/cm]	
	I		046 113 0	0	1,03044	1,03044	-		464 838 0	0	1,03044	1,03044	-		787 497 0	0	1,03044	1,03044	-
P	S	01544	48 623 0	14 619 0	0,18096	0,18096	6,02	01545	0 30 269	0 2 930	0,18096	0,12566	-	01546	0 13 892	0 18 371	0,18096	0,12566	-
S	S		85 062 0	57 416 0	0,22619	0,22619	4,23		104 889 0	36 711 0	0,22619	0,12566	3,81		124 734 0	21 152 0	0,22619	0,12566	3,52
P	S	01547	-7 911	21 724	0,12566	0,12566	4,99	01548	0 -16 148	0 45 830	0,18096	0,12566	-	01549	0 -25 884	0 77 104	0,18096	0,12566	-
S	S		-30 369 0	32 560 0	0,22619	0,22619	4,13		-53 713 0	26 481 0	0,22619	0,12566	4,10		-77 357 0	19 552 0	0,22619	0,12566	4,05
P	S	01550	0 -37 319	0 108 305	0,18096	0,12566	-	01551	0 -50 103	0 130 996	0,18096	0,12566	-	01552	0 -59 570	0 135 505	0,18096	0,12566	-
S	S		-102 779 0	15 389 0	0,22619	0,12566	4,06		-134 673 0	18 301 0	0,22619	0,12566	4,19		-182 360 0	33 170 0	0,22619	0,12566	4,59
P	S	01553	0 -58 208	0 111 614	0,18096	0,12566	-	01554	0 -35 890	0 47 266	0,18096	0,12566	-	01555	23 342 0	70 985 0	0,18096	0,12566	-
S	S		-258 389 0	66 149 0	0,22619	0,12566	5,57		-378 900 0	124 337 0	0,22619	0,12566	8,29		-562 215 0	217 098 0	0,22619	0,12566	24,06
P	S	01556	132 133 0	253 538 0	0,18096	0,12566	7,54	01557	358 641 0	494 244 0	0,18096	0,12566	1,77	01558	-1 716 029	702 028 0	0,18096	1,03044	1,55
S	S		-822 453 0	354 264 0	0,22619	0,12566	19,07		-1 318 115	546 689 0	0,22619	0,12566	6,75		27 199 0	688 181 0	0,22619	1,03044	1,20
P	S	01559	-1 383 569 0	625 116 0	0,18096	1,03044	1,50	01560	-1 111 373 0	538 145 0	0,18096	1,03044	1,47	01561	-845 626 0	497 426 0	0,18096	1,03044	1,42
S	S		-598 405 0	593 175 0	0,22619	1,03044	1,41		-1 129 907 0	592 906 0	0,22619	1,03044	1,56		-1 540 590 0	652 407 0	0,22619	1,03044	1,64
P	S	01562	-483 003 0	610 232 0	0,18096	1,03044	1,26	01563	250 482 0	605 747 0	0,18096	1,03044	1,08	01564	363 450 0	128 842 0	0,18096	1,03044	1,26
S	S		-1 933 767 0	727 342 0	0,22619	1,03044	1,71		-1 689 710 0	770 502 0	0,22619	1,03044	1,61		-1 503 506 0	667 461 0	0,22619	1,03044	1,62
P	S	01565	0 472 694	0 168 721	0,18096	1,03044	-	01566	0 536 860	0 300 095	0,18096	1,03044	-	01567	0 574 995	0 309 841	0,18096	1,03044	-
S	S		-1 280 993 0	582 398 0	0,22619	1,03044	1,61		-1 022 873 0	498 908 0	0,22619	1,03044	1,58		-796 327 0	423 354 0	0,22619	1,03044	1,56
P	S	01568	410 600	0 268 776	0,18096	1,03044	-	01569	0 186 987	0 573 952	0,18096	1,03044	-	01570	0 163 873	0 441 917	0,18096	1,03044	-
S	S		-313 615 0	385 585 0	0,22619	1,03044	1,44		-35 731 0	15 657 0	0,22619	1,03044	1,59		33 348 0	85 515 0	0,22619	1,03044	1,52
P	S	01571	0 165 398	0 303 667	0,18096	1,03044	-	01572	0 147 265	0 189 029	0,18096	1,03044	-	01573	0 127 112	0 101 034	0,18096	1,03044	-
S	S		59 285 0	123 639 0	0,22619	1,03044	1,49		69 718 0	138 250 0	0,22619	1,03044	1,47		69 046 0	138 164 0	0,22619	1,03044	1,47
P	S	01574	0 107 774	0 40 848	0,18096	1,03044	-	01575	0 90 196	0 6 147	0,18096	1,03044	-	01576	73 138 0	7 085 0	0,18096	1,03044	-
S	S		63 353 0	127 949 0	0,22619	1,03044	1,48		58 545 0	110 940 0	0,22619	1,03044	1,49		59 831 0	90 290 0	0,22619	1,03044	1,51
P	S	01577	55 545	3 632	0,18096	0,12566	5,54	01578	0 37 864	0 9 762	0,18096	0,12566	-	01579	0 21 887	0 25 146	0,18096	0,12566	-
S	S		69 117 0	68 865 0	0,22619	0,12566	4,52		84 199 0	48 922 0	0,22619	0,12566	4,07		99 511 0	32 453 0	0,22619	0,12566	3,75

Platee - Verifiche pressoflessione retta allo SLU

Dir	Pos	Nodo	N _{Ed}	M _{Ed}	A _s	A _{df}	CS	Nodo	N _{Ed}	M _{Ed}	A _s	A _{df}	CS	Nodo	N _{Ed}	M _{Ed}	A _s	A _{df}	CS
			[N]	[N-m]	[cm ² /cm]	[cm ² /cm]			[N]	[N-m]	[cm ² /cm]	[cm ² /cm]			[N]	[N-m]	[cm ² /cm]	[cm ² /cm]	
P	S	01580	0	0	0,18096	0,18096	-	01581	0	0	0,18096	0,18096	-	01582	0	0	0,18096	0,18096	-
	I		-4	26	0,12566	0,12566	4,84		-5	52	0,12566	0,12566	4,23		-3	85	0,12566	0,12566	3,63
S	S	01583	-38	27	0,22619	0,22619	4,07	01584	-76	22	0,22619	0,22619	4,09	01585	-110	18	0,22619	0,22619	4,13
	I		335	170	0,12566	0,12566	-		386	371	0,12566	0,12566	-		513	697	0,12566	0,12566	-
P	S	01586	0	0	0,18096	0,18096	-	01587	0	0	0,18096	0,18096	-	01588	0	0	0,18096	0,18096	-
	I		-1	116	0,12566	0,12566	3,20		5	134	0,12566	0,12566	2,99		25	125	0,12566	0,12566	3,03
S	S	01589	-143	20	0,22619	0,22619	4,26	01590	-182	33	0,22619	0,22619	4,59	01591	-243	62	0,22619	0,22619	5,42
	I		408	887	0,12566	0,12566	-		971	398	0,12566	0,12566	-		468	324	0,12566	0,12566	-
P	S	01592	0	0	0,18096	0,18096	-	01593	145	25	0,18096	0,18096	6,00	01594	289	204	0,18096	0,18096	12,42
	I		68	77	0,12566	0,12566	3,54		505	572	0,12566	0,12566	-		716	586	0,12566	0,12566	-
S	S	01595	-338	115	0,22619	0,22619	7,63	01596	-485	201	0,22619	0,22619	18,04	01597	-712	326	0,22619	0,22619	27,75
	I		037	288	0,12566	0,12566	-		207	342	0,12566	0,12566	-		408	807	0,12566	0,12566	-
P	S	01598	576	462	0,18096	0,18096	1,46	01599	-1	560	0,18096	0,18096	4,16	01600	-1	474	0,18096	0,18096	4,95
	I		728	520	0,12566	0,12566	-		234	363	0,12566	0,12566	-		809	248	0,12566	0,12566	-
S	S	01599	-981	513	0,22619	0,22619	6,87	01601	221	477	0,22619	0,22619	4,11	01602	-382	418	0,22619	0,22619	8,72
	I		548	574	0,12566	0,12566	-		591	356	0,12566	0,12566	-		207	702	0,12566	0,12566	-
P	S	01601	-859	428	0,18096	0,18096	5,25	01602	-627	426	0,18096	0,18096	4,72	01603	-376	526	0,18096	0,18096	3,00
	I		789	078	0,12566	0,12566	-		540	490	0,12566	0,12566	-		377	821	0,12566	0,12566	-
S	S	01602	-815	412	0,22619	0,22619	11,10	01603	-1	464	0,22619	0,22619	9,18	01604	-1	552	0,22619	0,22619	6,82
	I		354	502	0,12566	0,12566	-		176	594	0,12566	0,12566	-		435	497	0,12566	0,12566	-
P	S	01603	13	812	0,18096	0,18096	1,29	01604	61	304	0,18096	0,18096	5,35	01605	0	0	0,18096	0,18096	-
	I		072	198	0,12566	0,12566	-		020	599	0,12566	0,12566	-		276	8	0,12566	0,12566	4,14
S	S	01604	-1	649	0,22619	0,22619	5,13	01605	-1	546	0,22619	0,22619	6,68	01606	-1	526	0,22619	0,22619	6,85
	I		453	413	0,12566	0,12566	-		284	704	0,12566	0,12566	-		114	210	0,12566	0,12566	-
P	S	01605	0	0	0,18096	0,18096	-	01606	0	0	0,18096	0,18096	-	01607	0	0	0,18096	0,18096	-
	I		354	187	0,12566	0,12566	1,80		380	257	0,12566	0,12566	1,45		375	250	0,12566	0,12566	1,48
S	S	01606	-932	489	0,22619	0,22619	7,51	01607	-721	448	0,22619	0,22619	8,51	01608	-501	409	0,22619	0,22619	9,90
	I		688	162	0,12566	0,12566	-		824	135	0,12566	0,12566	-		640	602	0,12566	0,12566	-
P	S	01607	0	0	0,18096	0,18096	-	01608	0	0	0,18096	0,18096	-	01609	0	0	0,18096	0,18096	-
	I		408	211	0,12566	0,12566	1,57		43	406	0,12566	0,12566	1,48		62	271	0,12566	0,12566	1,93
S	S	01608	-270	387	0,22619	0,22619	10,52	01609	50	34	0,22619	0,22619	3,94	01610	70	78	0,22619	0,22619	4,72
	I		443	124	0,12566	0,12566	-		888	908	0,12566	0,12566	-		770	009	0,12566	0,12566	-
P	S	01609	0	0	0,18096	0,18096	-	01610	0	0	0,18096	0,18096	-	01611	0	0	0,18096	0,18096	-
	I		66	163	0,12566	0,12566	2,58		65	86	0,12566	0,12566	3,41		63	38	0,12566	0,12566	4,29
S	S	01610	76	98	0,22619	0,22619	5,25	01611	71	103	0,22619	0,22619	5,41	01612	62	97	0,22619	0,22619	5,27
	I		264	616	0,12566	0,12566	-		790	397	0,12566	0,12566	-		507	629	0,12566	0,12566	-
P	S	01611	0	0	0,18096	0,18096	-	01612	0	0	0,18096	0,18096	-	01613	0	0	0,18096	0,18096	-
	I		60	13	0,12566	0,12566	4,93		52	9	0,12566	0,12566	5,10		41	17	0,12566	0,12566	4,90
S	S	01612	55	85	0,22619	0,22619	4,96	01613	57	69	0,22619	0,22619	4,57	01614	68	53	0,22619	0,22619	4,21
	I		165	131	0,12566	0,12566	-		270	493	0,12566	0,12566	-		157	340	0,12566	0,12566	-
P	S	01613	0	0	0,18096	0,18096	-	01614	0	0	0,18096	0,18096	-	01615	0	0	0,18096	0,18096	-
	I		28	30	0,12566	0,12566	4,60		19	40	0,12566	0,12566	4,40		-545	28	0,12566	0,12566	4,76
S	S	01614	82	38	0,22619	0,22619	3,90	01615	88	28	0,22619	0,22619	3,72	01616	-58	27	0,22619	0,22619	4,12
	I		081	641	0,12566	0,12566	-		935	204	0,12566	0,12566	-		361	286	0,12566	0,12566	-
P	S	01615	0	0	0,18096	0,18096	-	01616	0	0	0,18096	0,18096	-	01617	0	0	0,18096	0,18096	-
	I		10	56	0,12566	0,12566	4,10		31	90	0,12566	0,12566	3,46		49	117	0,12566	0,12566	3,06
S	S	01616	-107	25	0,22619	0,22619	4,23	01617	-151	26	0,22619	0,22619	4,38	01618	-182	37	0,22619	0,22619	4,66
	I		854	310	0,12566	0,12566	-		031	910	0,12566	0,12566	-		285	140	0,12566	0,12566	-
P	S	01617	0	0	0,18096	0,18096	-	01618	0	0	0,18096	0,18096	-	01619	0	0	0,18096	0,18096	-
	I		78	122	0,12566	0,12566	2,94		133	90	0,12566	0,12566	3,17		223	3	0,12566	0,12566	4,53
S	S	01618	-223	60	0,22619	0,22619	5,30	01619	-292	104	0,22619	0,22619	6,95	01620	-396	176	0,22619	0,22619	12,82
	I		528	270	0,12566	0,12566	-		394	197	0,12566	0,12566	-		773	606	0,12566	0,12566	-
P	S	01619	423	160	0,18096	0,18096	66,41	01620	347	369	0,18096	0,18096	2,82	01621	-854	484	0,18096	0,18096	4,36

Platee - Verifiche pressoflessione retta allo SLU

Dir	Pos	Nodo	N _{Ed}	M _{Ed}	A _s	A _{df}	CS	Nodo	N _{Ed}	M _{Ed}	A _s	A _{df}	CS	Nodo	N _{Ed}	M _{Ed}	A _s	A _{df}	CS
			[N]	[N-m]	[cm ² /cm]	[cm ² /cm]			[N]	[N-m]	[cm ² /cm]	[cm ² /cm]			[N]	[N-m]	[cm ² /cm]	[cm ² /cm]	
	I		091	131					862	957					401	344			
			0	0	0,12566	0,12566	-		0	0	0,12566	0,12566	-		0	0	0,12566	0,12566	-
S	S		-691	276	0,22619	0,22619	NS		-699	482	0,22619	0,22619	7,06		296	413	0,22619	0,22619	5,64
	I		446	632					253	191					452	468			
			0	0	0,12566	0,12566	-		0	0	0,12566	0,12566	-		0	0	0,12566	0,12566	-
P	S	01622	-926	423	0,18096	0,18096	5,51	01623	-798	354	0,18096	0,18096	6,93	01624	-650	319	0,18096	0,18096	7,79
	I		135	196					100	951					446	813			
			0	0	0,12566	0,12566	-		0	0	0,12566	0,12566	-		0	0	0,12566	0,12566	-
S	S		204	329	0,22619	0,22619	15,78		-226	260	0,22619	0,22619	77,14		-578	254	0,22619	0,22619	69,95
	I		995	201					924	773					128	418			
			0	0	0,12566	0,12566	-		0	0	0,12566	0,12566	-		0	0	0,12566	0,12566	-
P	S	01625	-468	331	0,18096	0,18096	6,60	01626	-275	423	0,18096	0,18096	3,88	01627	-50	644	0,18096	0,18096	1,82
	I		442	408					679	080					455	102			
			0	0	0,12566	0,12566	-		0	0	0,12566	0,12566	-		0	0	0,12566	0,12566	-
S	S		-875	297	0,22619	0,22619	63,87		-1	377	0,22619	0,22619	16,18		-1	475	0,22619	0,22619	8,55
	I		646	063					081	181					123	692			
			0	0	0,12566	0,12566	-		175	0	0,12566	0,12566	-		618	0	0,12566	0,12566	-
P	S	01628	-234	373	0,18096	0,18096	4,61	01629	131	108	0,18096	0,18096	17,85	01630	0	0	0,18096	0,18096	-
	I		257	889					570	806					0	0			
			0	0	0,12566	0,12566	-		0	0	0,12566	0,12566	-		218	83	0,12566	0,12566	3,01
S	S		-1	404	0,22619	0,22619	12,73		-907	432	0,22619	0,22619	10,08		-810	417	0,22619	0,22619	10,71
	I		033	237					440	218					559	354			
			353	0	0,12566	0,12566	-		0	0	0,12566	0,12566	-		0	0	0,12566	0,12566	-
P	S	01631	0	0	0,18096	0,18096	-	01632	0	0	0,18096	0,18096	-	01633	0	0	0,18096	0,18096	-
	I		260	186			2,00		267	217					248	202			
			577	878	0,12566	0,12566	-		661	699	0,12566	0,12566	1,82		171	234	0,12566	0,12566	1,94
S	S		-667	402	0,22619	0,22619	11,27		-502	385	0,22619	0,22619	12,10		-338	368	0,22619	0,22619	13,09
	I		734	453					545	046					901	652			
			0	0	0,12566	0,12566	-		0	0	0,12566	0,12566	-		0	0	0,12566	0,12566	-
P	S	01634	0	0	0,18096	0,18096	-	01635	0	0	0,18096	0,18096	-	01636	0	0	0,18096	0,18096	-
	I		235	167			2,18		-26	382					3	247			
			465	057	0,12566	0,12566	-		869	153	0,12566	0,12566	1,65		949	342	0,12566	0,12566	2,15
S	S		-234	358	0,22619	0,22619	13,89		65	8	0,22619	0,22619	3,50		74	44	0,22619	0,22619	4,02
	I		424	303					856	325					830	054			
			0	0	0,12566	0,12566	-		0	0	0,12566	0,12566	-		0	0	0,12566	0,12566	-
P	S	01637	0	0	0,18096	0,18096	-	01638	0	0	0,18096	0,18096	-	01639	0	0	0,18096	0,18096	-
	I		16	146			2,84		23	80					31	41			
			792	407	0,12566	0,12566	-		794	011	0,12566	0,12566	3,64		377	455	0,12566	0,12566	4,34
S	S		78	64	0,22619	0,22619	4,39		71	71	0,22619	0,22619	4,58		56	69	0,22619	0,22619	4,57
	I		654	533					649	884					868	222			
			0	0	0,12566	0,12566	-		0	0	0,12566	0,12566	-		0	0	0,12566	0,12566	-
P	S	01640	0	0	0,18096	0,18096	-	01641	0	0	0,18096	0,18096	-	01642	0	0	0,18096	0,18096	-
	I		40	25			4,70		37	27					31	36			
			434	281	0,12566	0,12566	-		417	462	0,12566	0,12566	4,65		028	550	0,12566	0,12566	4,45
S	S		46	60	0,22619	0,22619	4,42		53	50	0,22619	0,22619	4,20		66	39	0,22619	0,22619	3,97
	I		072	689					144	527					090	871			
			0	0	0,12566	0,12566	-		0	0	0,12566	0,12566	-		0	0	0,12566	0,12566	-
P	S	01643	0	0	0,18096	0,18096	-	01644	0	0	0,18096	0,18096	-	01645	0	0	0,18096	0,18096	-
	I		22	44			4,29		1	27					29	55			
			969	996	0,12566	0,12566	-		378	112	0,12566	0,12566	4,80		892	309	0,12566	0,12566	4,05
S	S		79	33	0,22619	0,22619	3,82		-79	32	0,22619	0,22619	4,28		-147	33	0,22619	0,22619	4,49
	I		250	126					804	912					708	398			
			0	0	0,12566	0,12566	-		0	0	0,12566	0,12566	-		0	0	0,12566	0,12566	-
P	S	01646	0	0	0,18096	0,18096	-	01647	0	0	0,18096	0,18096	-	01648	0	0	0,18096	0,18096	-
	I		76	90			3,33		105	105					157	88			
			324	227	0,12566	0,12566	-		614	098	0,12566	0,12566	3,06		550	353	0,12566	0,12566	3,12
S	S		-191	40	0,22619	0,22619	4,76		-204	56	0,22619	0,22619	5,15		-241	89	0,22619	0,22619	6,21
	I		309	562					034	669					704	882			
			0	0	0,12566	0,12566	-		0	0	0,12566	0,12566	-		0	0	0,12566	0,12566	-
P	S	01649	0	0	0,18096	0,18096	-	01650	409	115	0,18096	0,18096	16,00	01651	-655	354	0,18096	0,18096	6,49
	I		244	18			4,04		315	954					180	193			
			938	265	0,12566	0,12566	-		0	0	0,12566	0,12566	-		0	0	0,12566	0,12566	-
S	S		-310	144	0,22619	0,22619	9,21		-446	236	0,22619	0,22619	33,58		425	242	0,22619	0,22619	20,29
	I		330	937					449	290					100	082			
			0	0	0,12566	0,12566	-		0	0	0,12566	0,12566	-		0	0	0,12566	0,12566	-
P	S	01652	-635	316	0,18096	0,18096	7,86	01653	-585	265	0,18096	0,18096	11,06	01654	-478	228	0,18096	0,18096	15,46
	I		662	934					379	923					480	659			
			0	0	0,12566	0,12566	-		0	0	0,12566	0,12566	-		0	0	0,12566	0,12566	-
S	S		155	160	0,22619	0,22619	7,57		-118	121	0,22619	0,22619	6,91		-402	119	0,22619	0,22619	8,15
	I		940	435					538	383					683	649			
			0	0	0,12566	0,12566	-		0	0	0,12566	0,12566	-		0	0	0,12566	0,1	

Platee - Verifiche pressoflessione retta allo SLU

Dir	Pos	Nodo	N _{Ed}	M _{Ed}	A _s	A _{df}	CS	Nodo	N _{Ed}	M _{Ed}	A _s	A _{df}	CS	Nodo	N _{Ed}	M _{Ed}	A _s	A _{df}	CS
			[N]	[N-m]	[cm ² /cm]	[cm ² /cm]			[N]	[N-m]	[cm ² /cm]	[cm ² /cm]			[N]	[N-m]	[cm ² /cm]	[cm ² /cm]	
S	S		-772 500 0	380 205 0	0,22619	0,22619	14,20		-681 873 0	315 180 0	0,22619	0,22619	35,15		-661 360 0	324 081 0	0,22619	0,22619	28,75
P	I	01661	0 171 945	0 118 663	0,18096	0,18096	-	01662	0 191 621	0 174 990	0,18096	0,18096	-	01663	0 184 777	0 183 056	0,18096	0,18096	-
S	S		-585 719 0	326 029 0	0,22619	0,22619	26,91		-474 868 0	324 568 0	0,22619	0,22619	26,45		-350 307 0	320 850 0	0,22619	0,22619	26,98
P	I	01664	0 163 470	0 163 138	0,18096	0,18096	-	01665	0 139 542	0 133 686	0,18096	0,18096	-	01666	0 85 794	0 103 994	0,18096	0,18096	-
S	S		-234 666 0	316 506 0	0,22619	0,22619	28,07		-155 279 0	314 123 0	0,22619	0,22619	28,48		-61 851 0	310 539 0	0,22619	0,22619	29,64
P	I	01667	0 -41 945	0 344 506	0,18096	0,18096	-	01668	0 -26 866	0 226 386	0,18096	0,18096	-	01669	0 -14 663	0 134 854	0,18096	0,18096	-
S	S		0 46 791	0 6 134	0,22619	0,22619	-		80 028 0	26 485 0	0,22619	0,22619	3,72		78 956 0	41 973 0	0,22619	0,22619	3,97
P	I	01670	0 -8 162	0 78 646	0,18096	0,18096	-	01671	0 7 912	0 46 796	0,18096	0,18096	-	01672	0 30 775	0 39 320	0,18096	0,18096	-
S	S		70 441 0	48 061 0	0,22619	0,22619	4,10		41 119 0	47 009 0	0,22619	0,22619	4,17		31 733 0	42 304 0	0,22619	0,22619	4,12
P	I	01673	0 29 937	0 43 682	0,18096	0,18096	-	01674	0 24 036	0 49 122	0,18096	0,18096	-	01675	0 -9 377	0 18 345	0,18096	0,18096	-
S	S		48 364 0	35 859 0	0,22619	0,22619	3,96		65 383 0	31 909 0	0,22619	0,22619	3,85		-96 493 0	46 132 0	0,22619	0,22619	4,58
P	I	01676	0 39 367	0 44 897	0,18096	0,18096	-	01677	0 152 012	0 73 624	0,18096	0,18096	-	01678	0 162 294	0 72 809	0,18096	0,18096	-
S	S		-181 893 0	36 877 0	0,22619	0,22619	4,66		-207 761 0	44 605 0	0,22619	0,22619	4,89		-199 060 0	69 638 0	0,22619	0,22619	5,46
P	I	01679	0 253 710	0 25 553	0,18096	0,18096	-	01680	341 840 0	80 686 0	0,18096	0,18096	8,72	01681	-212 851 0	232 931 0	0,18096	0,18096	12,43
S	S		-224 490 0	107 736 0	0,22619	0,22619	6,80		-263 301 0	170 834 0	0,22619	0,22619	11,17		219 433 0	166 164 0	0,22619	0,22619	7,56
P	I	01682	-424 408 0	252 923 0	0,18096	0,18096	11,41	01683	-447 218 0	226 491 0	0,18096	0,18096	15,63	01684	-421 257 0	189 654 0	0,18096	0,18096	30,25
S	S		361 018 0	99 084 0	0,22619	0,22619	4,13		142 879 0	39 219 0	0,22619	0,22619	3,73		-55 610 0	8 628 0	0,22619	0,22619	3,83
P	I	01685	-348 990 0	159 169 0	0,18096	0,18096	NS	01686	-250 652 0	160 759 0	0,18096	0,18096	NS	01687	-144 831 0	215 889 0	0,18096	0,18096	15,00
S	S		-271 882 0	8 560 0	0,22619	0,22619	4,40		-465 678 0	39 006 0	0,22619	0,22619	5,56		-601 845 0	99 496 0	0,22619	0,22619	8,05
P	I	01688	-52 850 0	349 112 0	0,18096	0,18096	4,55	01689	-41 547 0	578 809 0	0,18096	0,18096	2,08	01690	-185 902 0	261 057 0	0,18096	0,18096	9,06
S	S		-644 159 0	185 823 0	0,22619	0,22619	16,29		-560 954 0	287 450 0	0,22619	0,22619	NS		-463 519 0	235 861 0	0,22619	0,22619	33,58
P	I	01691	38 958 0	68 693 0	0,18096	0,18096	10,02	01692	0 107 396	0 59 051	0,18096	0,18096	-	01693	0 138 814	0 130 782	0,18096	0,18096	-
S	S		-479 036 0	244 203 0	0,22619	0,22619	43,18		-476 624 0	244 000 0	0,22619	0,22619	42,82		-422 022 0	250 028 0	0,22619	0,22619	51,24
P	I	01694	0 143 130	0 156 880	0,18096	0,18096	-	01695	0 130 045	0 152 045	0,18096	0,18096	-	01696	0 108 525	0 131 522	0,18096	0,18096	-
S	S		-338 714 0	255 827 0	0,22619	0,22619	62,74		-247 050 0	259 785 0	0,22619	0,22619	73,43		-164 503 0	262 319 0	0,22619	0,22619	82,07
P	I	01697	0 83 647	0 107 994	0,18096	0,18096	-	01698	0 67 065	0 90 847	0,18096	0,18096	-	01699	0 -34 798	0 203 827	0,18096	0,18096	-
S	S		-98 951 0	262 780 0	0,22619	0,22619	80,82		-47 347 0	260 042 0	0,22619	0,22619	64,26		73 695 0	17 490 0	0,22619	0,22619	3,61
			0	0	0,12566	0,12566	-		0	0	0,12566	0,12566	-		0	0	0,12566	0,12566	-

Platee - Verifiche pressoflessione retta allo SLU

Dir	Pos	Nodo	N _{Ed}	M _{Ed}	A _s	A _{df}	CS	Nodo	N _{Ed}	M _{Ed}	A _s	A _{df}	CS	Nodo	N _{Ed}	M _{Ed}	A _s	A _{df}	CS
			[N]	[N-m]	[cm/cm]	[cm/cm]			[N]	[N-m]	[cm/cm]	[cm/cm]			[N]	[N-m]	[cm/cm]	[cm/cm]	
P	S	01700	0	0	0,18096	0,18096	-	01701	0	0	0,18096	0,18096	-	01702	0	0	0,18096	0,18096	-
I	I		-35	126	0,12566	0,12566	3,18		-44	78	0,12566	0,12566	3,87		-19	46	0,12566	0,12566	4,40
S	S	01703	80	27	0,22619	0,22619	-	01704	73	33	0,22619	0,22619	-	01705	33	0	0,18096	0,18096	-
I	I		416	082	0,12566	0,12566	3,73		116	316	0,12566	0,12566	3,84		23	33	0,22619	0,22619	3,99
P	S	01706	0	0	0,18096	0,18096	-	01707	0	0	0,18096	0,18096	-	01708	0	0	0,18096	0,18096	-
I	I		346	142	0,12566	0,12566	5,45		91	64	0,12566	0,12566	3,68		149	51	0,12566	0,12566	3,71
S	S	01709	-108	83	0,22619	0,22619	-	01710	-120	61	0,22619	0,22619	-	01711	-155	54	0,22619	0,22619	-
I	I		764	192	0,12566	0,12566	5,51		017	113	0,12566	0,12566	4,98		815	750	0,12566	0,12566	4,95
P	S	01712	0	0	0,18096	0,18096	-	01713	-209	146	0,18096	0,18096	NS	01714	-270	166	0,18096	0,18096	69,55
I	I		188	27	0,12566	0,12566	4,06		923	099	0,12566	0,12566	-		249	767	0,12566	0,12566	-
S	S	01715	-157	69	0,22619	0,22619	-	01716	214	44	0,22619	0,22619	-	01717	0	0	0,22619	0,22619	-
I	I		530	643	0,12566	0,12566	5,31		916	962	0,12566	0,12566	3,61		0	0	0,12566	0,12566	-
P	S	01718	-308	159	0,18096	0,18096	NS	01719	-299	132	0,18096	0,18096	55,95	01720	-252	107	0,18096	0,18096	23,46
I	I		463	373	0,12566	0,12566	-		762	499	0,12566	0,12566	-		268	473	0,12566	0,12566	-
S	S	01721	0	0	0,22619	0,22619	-	01722	0	0	0,22619	0,22619	-	01723	0	0	0,22619	0,22619	-
I	I		124	45	0,12566	0,12566	2,79		-19	69	0,12566	0,12566	2,89		-180	72	0,12566	0,12566	3,19
P	S	01724	-180	102	0,18096	0,18096	20,19	01725	-101	138	0,18096	0,18096	71,33	01726	-33	234	0,18096	0,18096	10,66
I	I		272	871	0,12566	0,12566	-		169	738	0,12566	0,12566	-		084	681	0,12566	0,12566	-
S	S	01727	0	0	0,22619	0,22619	-	01728	0	0	0,22619	0,22619	-	01729	-484	70	0,22619	0,22619	6,48
I	I		-332	49	0,12566	0,12566	3,75		444	1	0,12566	0,12566	4,69		0	0	0,12566	0,12566	-
P	S	01730	2	411	0,18096	0,18096	3,30	01729	-75	712	0,18096	0,18096	1,63	01720	-47	128	0,18096	0,18096	38,62
I	I		954	486	0,12566	0,12566	-		773	763	0,12566	0,12566	-		992	665	0,12566	0,12566	-
S	S	01731	-422	163	0,22619	0,22619	11,43	01731	-265	263	0,22619	0,22619	99,75	01732	-263	170	0,22619	0,22619	11,13
I	I		327	011	0,12566	0,12566	-		334	773	0,12566	0,12566	-		267	450	0,12566	0,12566	-
P	S	01732	0	0	0,18096	0,18096	-	01732	0	0	0,18096	0,18096	-	01733	0	0	0,18096	0,18096	-
I	I		57	7	0,12566	0,12566	5,14		100	89	0,12566	0,12566	3,28		115	127	0,12566	0,12566	2,78
S	S	01733	-345	169	0,22619	0,22619	11,56	01733	-347	176	0,22619	0,22619	12,45	01734	-307	187	0,22619	0,22619	13,59
I	I		497	159	0,12566	0,12566	-		235	683	0,12566	0,12566	-		114	119	0,12566	0,12566	-
P	S	01734	0	0	0,18096	0,18096	-	01734	0	0	0,18096	0,18096	-	01735	0	0	0,18096	0,18096	-
I	I		111	135	0,12566	0,12566	2,72		96	124	0,12566	0,12566	2,87		76	105	0,12566	0,12566	3,13
S	S	01735	-244	197	0,22619	0,22619	14,75	01735	-176	205	0,22619	0,22619	15,75	01736	-114	211	0,22619	0,22619	16,45
I	I		904	204	0,12566	0,12566	-		993	314	0,12566	0,12566	-		932	053	0,12566	0,12566	-
P	S	01736	0	0	0,18096	0,18096	-	01736	0	0	0,18096	0,18096	-	01737	0	0	0,18096	0,18096	-
I	I		54	86	0,12566	0,12566	3,44		29	72	0,12566	0,12566	3,74		-39	181	0,12566	0,12566	2,67
S	S	01737	-63	214	0,22619	0,22619	16,70	01737	-27	215	0,22619	0,22619	16,70	01738	77	16	0,22619	0,22619	3,58
I	I		349	270	0,12566	0,12566	-		113	819	0,12566	0,12566	-		185	411	0,12566	0,12566	-
P	S	01738	0	0	0,18096	0,18096	-	01738	0	0	0,18096	0,18096	-	01739	0	0	0,18096	0,18096	-
I	I		-45	119	0,12566	0,12566	3,29		-71	77	0,12566	0,12566	3,97		34	80	0,12566	0,12566	3,59
S	S	01739	82	18	0,22619	0,22619	3,60	01739	79	27	0,22619	0,22619	3,73	01740	71	9	0,22619	0,22619	3,50
I	I		051	710	0,12566	0,12566	-		604	360	0,12566	0,12566	-		342	266	0,12566	0,12566	-
P	S	01740	0	0	0,18096	0,18096	-	01740	0	0	0,18096	0,18096	-	01741	0	0	0,18096	0,18096	-
I	I		31	58	0,12566	0,12566	3,98		824	749	0,12566	0,12566	6,07		-2	6	0,12566	0,12566	5,91
S	S	01741	18	12	0,22619	0,22619	3,69	01741	-55	58	0,22619	0,22619	4,70	01742	-60	51	0,22619	0,22619	4,57
I	I		831	421	0,12566	0,12566	-		569	285	0,12566	0,12566	-		120	140	0,12566	0,12566	-
P	S	01742	0	0	0,18096	0,18096	-	01742	0	0	0,18096	0,18096	-	01743	-107	82	0,18096	0,18096	13,51
I	I		74	23	0,12566	0,12566	4,61		105	14	0,12566	0,12566	4,73		525	546	0,12566	0,12566	-
S	S	01743	-101	58	0,22619	0,22619	4,85	01743	-103	43	0,22619	0,22619	4,55	01744	0	0	0,22619	0,22619	-
I	I		520	361	0,12566	0,12566	-		916	605	0,12566	0,12566	-		158	12	0,12566	0,12566	3,03

Platee - Verifiche pressoflessione retta allo SLU

Dir	Pos	Nodo	N _{Ed}	M _{Ed}	A _s	A _{df}	CS	Nodo	N _{Ed}	M _{Ed}	A _s	A _{df}	CS	Nodo	N _{Ed}	M _{Ed}	A _s	A _{df}	CS
			[N]	[N-m]	[cm/cm]	[cm/cm]			[N]	[N-m]	[cm/cm]	[cm/cm]			[N]	[N-m]	[cm/cm]	[cm/cm]	
P	S	01739	-182 705	109 054	0,18096	0,18096	23,15	01740	-219 484	109 995	0,18096	0,18096	24,31	01741	-215 699	92 084	0,18096	0,18096	16,96
I	I		0 0	0 0	0,12566	0,12566	-		0 0	0 0	0,12566	0,12566	-		0 0	0 0	0,12566	0,12566	-
S	S	01742	0 151 823	0 55 749	0,22619	0,22619	2,65	01743	0 99 155	0 91 687	0,22619	0,22619	2,49	01744	0 1 147	0 114 804	0,22619	0,22619	2,52
I	I		-182 451 0	71 567 0	0,18096	0,18096	12,33		-129 436 0	63 315 0	0,18096	0,18096	10,75		-69 533 0	83 789 0	0,18096	0,18096	13,36
S	S	01745	0 -118 451	0 120 653	0,22619	0,22619	2,69	01746	0 -235 499	0 106 721	0,22619	0,22619	3,01	01747	0 -325 676	0 72 619	0,22619	0,22619	3,48
I	I		-17 546 0	148 930 0	0,18096	0,18096	NS		9 372 0	275 479 0	0,18096	0,18096	6,90		-31 826 0	483 102 0	0,18096	0,18096	2,66
S	S	01748	0 -363 240	0 18 699	0,22619	0,22619	4,21	01749	-321 373	52 819	0,22619	0,22619	5,44	01750	-159 876	131 377	0,22619	0,22619	7,60
I	I		-123 716 0	176 827 0	0,18096	0,18096	37,82		15 118 0	36 210 0	0,18096	0,18096	7,35		0 69 893	0 50 426	0,18096	0,18096	-
S	S	01751	-87 260 0	98 530 0	0,22619	0,22619	5,90	01752	-195 193 0	104 698 0	0,22619	0,22619	6,56	01753	-253 539 0	110 948 0	0,22619	0,22619	7,06
I	I		0 95 261	0 98 082	0,18096	0,18096	-		0 100 398	0 115 912	0,18096	0,18096	-		0 92 448	0 113 634	0,18096	0,18096	-
S	S	01754	-257 569 0	123 106 0	0,22619	0,22619	7,64	01755	-227 825 0	136 729 0	0,22619	0,22619	8,24	01756	-180 287 0	149 176 0	0,22619	0,22619	8,78
I	I		0 77 508	0 100 449	0,18096	0,18096	-		0 59 919	0 84 037	0,18096	0,18096	-		0 41 949	0 69 306	0,18096	0,18096	-
S	S	01757	-127 565 0	159 199 0	0,22619	0,22619	9,21	01758	-78 273 0	166 288 0	0,22619	0,22619	9,49	01759	-36 895 0	169 512 0	0,22619	0,22619	9,50
I	I		0 20 411	0 59 517	0,18096	0,18096	-		0 14 514	0 52 865	0,18096	0,18096	-		0 -20 372	0 159 212	0,18096	0,18096	-
S	S	01760	1 864 0	169 669 0	0,22619	0,22619	9,25	01761	24 113 0	158 313 0	0,22619	0,22619	8,22	01762	67 232 0	15 223 0	0,22619	0,22619	3,59
I	I		0 -23 553	0 110 115	0,18096	0,18096	-		0 -27 996	0 84 280	0,18096	0,18096	-		0 4 157	0 79 501	0,18096	0,18096	-
S	S	01763	89 421 0	10 578 0	0,22619	0,22619	3,47	01764	120 916 0	5 550 0	0,22619	0,22619	3,33	01765	47 467 0	6 791 0	0,22619	0,22619	3,53
I	I		-39 710 0	9 960 0	0,18096	0,18096	6,26		9 390 0	1 069 0	0,18096	0,18096	5,66		-50 549 0	25 986 0	0,18096	0,18096	7,12
S	S	01766	-90 931 0	48 930 0	0,22619	0,22619	4,62	01767	-73 545 0	33 128 0	0,22619	0,22619	4,27	01768	1 667 0	2 098 0	0,22619	0,22619	3,59
I	I		-79 768 0	52 297 0	0,18096	0,18096	9,21		-138 592 0	72 544 0	0,18096	0,18096	12,09		-163 900 0	76 527 0	0,18096	0,18096	12,96
S	S	01769	0 72 387	0 27 110	0,22619	0,22619	3,08	01770	0 100 524	0 69 091	0,22619	0,22619	2,65	01771	0 75 894	0 103 850	0,22619	0,22619	2,45
I	I		-161 830 0	65 946 0	0,18096	0,18096	11,35		-135 363 0	49 485 0	0,18096	0,18096	9,34		-93 964 0	39 317 0	0,18096	0,18096	8,23
S	S	01772	0 11 444	0 128 416	0,22619	0,22619	2,41	01773	0 -76 312	0 139 334	0,22619	0,22619	2,50	01774	0 -166 424	0 134 808	0,22619	0,22619	2,68
I	I		-47 687 0	48 676 0	0,18096	0,18096	8,66		-6 976 0	90 341 0	0,18096	0,18096	14,07		15 487 0	176 488 0	0,18096	0,18096	34,42
S	S	01775	0 -238 374	0 114 285	0,22619	0,22619	2,95	01776	0 -272 709	0 78 098	0,22619	0,22619	3,32	01777	0 -248 971	0 27 348	0,22619	0,22619	3,83
I	I		5 499 0	317 136 0	0,18096	0,18096	5,18		-96 988 0	531 888 0	0,18096	0,18096	2,44		-35 663 0	75 152 0	0,18096	0,18096	11,55
S	S	01778	-146 977 0	37 204 0	0,22619	0,22619	4,56	01779	16 587 0	118 932 0	0,22619	0,22619	6,20	01780	-15 151 0	42 871 0	0,22619	0,22619	4,27
I	I		0 39 548	0 15 834	0,18096	0,18096	-		0 75 249	0 68 828	0,18096	0,18096	-		0 90 141	0 94 058	0,18096	0,18096	-
S	S		-146 52	0,22619	0,22619	4,87	-192 67	0,22619	0,22619	5,37	-196 83	0,22619	0,22619	5,83					

Platee - Verifiche pressoflessione retta allo SLU

Dir	Pos	Nodo	N _{Ed}	M _{Ed}	A _s	A _{df}	CS	Nodo	N _{Ed}	M _{Ed}	A _s	A _{df}	CS	Nodo	N _{Ed}	M _{Ed}	A _s	A _{df}	CS	
			[N]	[N-m]	[cm/cm]	[cm/cm]			[N]	[N-m]	[cm/cm]	[cm/cm]			[N]	[N-m]	[cm/cm]	[cm/cm]		
			305	741					916	092					950	110				
	I		0	0	0,12566	0,12566	-		0	0	0,12566	0,12566	-		0	0	0,12566	0,12566	-	
P	S	01781	90	0	0,18096	0,18096	-	01782	0	0	0,18096	0,18096	-	01783	0	0	0,18096	0,18096	-	
	I		632	476	0,12566	0,12566	3,17		483	510	0,12566	0,12566	3,29		827	935	0,12566	0,12566	3,51	
S	S		-173	98	0,22619	0,22619	6,24		-134	111	0,22619	0,22619	6,58		-90	122	0,22619	0,22619	6,81	
	I		448	550	0,12566	0,12566	-		374	788	0,12566	0,12566	-		430	010	0,12566	0,12566	-	
P	S	01784	0	0	0,18096	0,18096	-	01785	0	0	0,18096	0,18096	-	01786	0	0	0,18096	0,18096	-	
	I		53	66	0,12566	0,12566	3,76		41	56	0,12566	0,12566	3,99		29	51	0,12566	0,12566	4,12	
S	S		-49	128	0,22619	0,22619	6,92		-15	131	0,22619	0,22619	6,88		13	129	0,22619	0,22619	6,65	
	I		482	637	0,12566	0,12566	-		237	289	0,12566	0,12566	-		0	0	0,12566	0,12566	-	
P	S	01787	0	0	0,18096	0,18096	-	01788	0	0	0,18096	0,18096	-	01789	0	0	0,18096	0,18096	-	
	I		20	49	0,12566	0,12566	4,20		11	103	0,12566	0,12566	3,34		-3	90	0,12566	0,12566	3,56	
S	S		37	120	0,22619	0,22619	6,18		93	4	0,22619	0,22619	3,38		70	327	0,22619	0,22619	3,39	
	I		474	990	0,12566	0,12566	-		193	171	0,12566	0,12566	-		602	0	0,12566	0,12566	-	
P	S	01790	-70	29	0,18096	0,18096	7,46	01791	-89	40	0,18096	0,18096	8,30	01792	-116	54	0,18096	0,18096	9,66	
	I		491	940	0,12566	0,12566	-		034	695	0,12566	0,12566	-		108	345	0,12566	0,12566	-	
S	S		-34	11	0,22619	0,22619	3,82		0	0	0,22619	0,22619	-		0	0	0,22619	0,22619	-	
	I		408	802	0,12566	0,12566	-		26	19	0,12566	0,12566	3,26		60	56	0,12566	0,12566	2,83	
			0	0					646	888					864	247				
P	S	01793	-131	57	0,18096	0,18096	10,15	01794	-128	51	0,18096	0,18096	9,47	01795	-106	38	0,18096	0,18096	8,27	
	I		502	975	0,12566	0,12566	-		804	360	0,12566	0,12566	-		593	710	0,12566	0,12566	-	
S	S		0	0	0,22619	0,22619	-		0	0	0,22619	0,22619	-		0	0	0,22619	0,22619	-	
	I		56	89	0,12566	0,12566	2,58		17	116	0,12566	0,12566	2,48		-47	133	0,12566	0,12566	2,49	
			011	907					009	651					240	046				
P	S	01796	-70	27	0,18096	0,18096	7,35	01797	-32	29	0,18096	0,18096	7,22	01798	-467	54	0,18096	0,18096	8,83	
	I		370	977	0,12566	0,12566	-		683	549	0,12566	0,12566	-		0	0	0,12566	0,12566	-	
S	S		0	0	0,22619	0,22619	-		0	0	0,22619	0,22619	-		0	0	0,22619	0,22619	-	
	I		-118	137	0,12566	0,12566	2,58		-176	128	0,12566	0,12566	2,74		-205	108	0,12566	0,12566	2,94	
			736	241					015	832					494	394				
P	S	01799	18	110	0,18096	0,18096	20,56	01800	14	205	0,18096	0,18096	15,75	01801	-36	346	0,18096	0,18096	4,54	
	I		971	631	0,12566	0,12566	-		262	796	0,12566	0,12566	-		756	821	0,12566	0,12566	-	
S	S		0	0	0,22619	0,22619	-		0	0	0,22619	0,22619	-		46	14	0,22619	0,22619	3,65	
	I		-193	76	0,12566	0,12566	3,18		-124	34	0,12566	0,12566	3,46		0	0	0,12566	0,12566	-	
			972	466					326	189					0	0				
P	S	01802	-84	93	0,18096	0,18096	15,90	01803	7	10	0,18096	0,18096	6,06	01804	0	0	0,18096	0,18096	-	
	I		564	949	0,12566	0,12566	-		180	718	0,12566	0,12566	-		51	41	0,12566	0,12566	4,26	
S	S		0	0	0,22619	0,22619	-		0	0	0,22619	0,22619	-		-117	20	0,22619	0,22619	4,17	
	I		99	5	0,12566	0,12566	3,24		-35	4	0,12566	0,12566	3,72		738	018	0,12566	0,12566	-	
			309	986					0	0					0	0				
P	S	01805	0	0	0,18096	0,18096	-	01806	0	0	0,18096	0,18096	-	01807	0	0	0,18096	0,18096	-	
	I		74	71	0,12566	0,12566	3,62		85	82	0,12566	0,12566	3,41		84	81	0,12566	0,12566	3,43	
S	S		-153	38	0,22619	0,22619	4,60		-156	56	0,22619	0,22619	4,98		-135	71	0,22619	0,22619	5,29	
	I		403	311	0,12566	0,12566	-		949	075	0,12566	0,12566	-		438	696	0,12566	0,12566	-	
P	S	01808	0	0	0,18096	0,18096	-	01809	0	0	0,18096	0,18096	-	01810	0	0	0,18096	0,18096	-	
	I		75	73	0,12566	0,12566	3,58		64	63	0,12566	0,12566	3,79		55	53	0,12566	0,12566	3,99	
S	S		-99	84	0,22619	0,22619	5,50		-59	93	0,22619	0,22619	5,63		-24	99	0,22619	0,22619	5,67	
	I		112	357	0,12566	0,12566	-		843	676	0,12566	0,12566	-		856	318	0,12566	0,12566	-	
			0	0					0	0					0	0				
P	S	01811	0	0	0,18096	0,18096	-	01812	0	0	0,18096	0,18096	-	01813	0	0	0,18096	0,18096	-	
	I		48	47	0,12566	0,12566	4,14		44	44	0,12566	0,12566	4,23		43	43	0,12566	0,12566	4,26	
S	S		504	616					876	180					293	155				
	I		3	101	0,22619	0,22619	5,62		26	98	0,22619	0,22619	5,44		51	90	0,22619	0,22619	5,11	
			470	083	0,12566	0,12566	-		826	387	0,12566	0,12566	-		969	549	0,12566	0,12566	-	
			0	0					0	0					0	0				
P	S	01814	-90	40	0,18096	0,18096	8,27	01815	-101	47	0,18096	0,18096	8,97	01816	-108	50	0,18096	0,18096	9,23	
	I		494	111	0,12566	0,12566	-		575	965	0,12566	0,12566	-		495	307	0,12566	0,12566	-	
S	S		-15	139	0,22619	0,22619	3,61		0	0	0,22619	0,22619	-		0	0	0,22619	0,22619	-	
	I		904	-12	0,12566	0,12566	3,60		26	30	0,12566	0,12566	3,16		37	61	0,12566	0,12566	2,84	
			235	117					019	020					135	128				
P	S	01817	-106	45	0,18096	0,18096	8,83	01818	-90	36	0,18096	0,18096	8,01	01819	-59	26	0,18096	0,18096	7,21	
	I		958	906	0,12566	0,12566	-		936	461	0,12566	0,12566	-		232	730	0,12566	0,12566	-	
S	S		0	0	0,22619	0,22619	-		0	0	0,22619	0,22619	-		0	0	0,22619	0,22619	-	
	I		19	88	0,12566	0,12566	2,66		-23	108	0,12566	0,12566	2,60		-84	120	0,12566	0,12566	2,63	

Platee - Verifiche pressoflessione retta allo SLU

Dir	Pos	Nodo	N _{Ed}	M _{Ed}	A _s	A _{df}	CS	Nodo	N _{Ed}	M _{Ed}	A _s	A _{df}	CS	Nodo	N _{Ed}	M _{Ed}	A _s	A _{df}	CS	
			[N]	[N-m]	[cm/cm]	[cm/cm]			[N]	[N-m]	[cm/cm]	[cm/cm]			[N]	[N-m]	[cm/cm]	[cm/cm]		
			910	341					422	766					011	282				
P	S	01820	-20 934	22 562	0,18096	0,18096	6,77	01821	4 254	35 596	0,18096	0,18096	7,37	01822	20 667	71 125	0,18096	0,18096	10,48	
	I		0	0	0,12566	0,12566	-		0	0	0,12566	0,12566	-		0	0	0,12566	0,12566	-	
S	S		0	0	0,22619	0,22619	-		0	0	0,22619	0,22619	-		0	0	0,22619	0,22619	-	
	I		-136 018	121 477	0,12566	0,12566	2,72		-157 522	113 835	0,12566	0,12566	2,81		-152 201	97 385	0,12566	0,12566	2,92	
P	S	01823	20 425	133 244	0,18096	0,18096	45,53	01824	-4 900	222 732	0,18096	0,18096	12,18	01825	-89 141	335 301	0,18096	0,18096	5,03	
	I		0	0	0,12566	0,12566	-		0	0	0,12566	0,12566	-		0	0	0,12566	0,12566	-	
S	S		0	0	0,22619	0,22619	-		0	0	0,22619	0,22619	-		120 602	7 812	0,22619	0,22619	3,35	
	I		-108 635	73 061	0,12566	0,12566	3,04		-12 791	41 232	0,12566	0,12566	3,13		0	0	0,12566	0,12566	-	
P	S	01826	-28 628	30 239	0,18096	0,18096	7,24	01827	0	0	0,18096	0,18096	-	01828	0	0	0,18096	0,18096	-	
	I		0	0	0,12566	0,12566	-		22 852	19 709	0,12566	0,12566	4,92		51 005	50 061	0,12566	0,12566	4,08	
S	S		0	0	0,22619	0,22619	-		0	0	0,22619	0,22619	-		-99 112	3 108	0,22619	0,22619	3,86	
	I		83 085	38 421	0,12566	0,12566	2,95		-40 116	17 874	0,12566	0,12566	3,45		0	0	0,12566	0,12566	-	
P	S	01829	0	0	0,18096	0,18096	-	01830	0	0	0,18096	0,18096	-	01831	0	0	0,18096	0,18096	-	
	I		68 996	65 225	0,12566	0,12566	3,74		82 620	69 049	0,12566	0,12566	3,63		81 581	64 861	0,12566	0,12566	3,70	
S	S		-128 593	22 810	0,22619	0,22619	4,25		-132 325	40 323	0,22619	0,22619	4,57		-106 157	54 633	0,22619	0,22619	4,79	
	I		0	0	0,12566	0,12566	-		0	0	0,12566	0,12566	-		0	0	0,12566	0,12566	-	
P	S	01832	0	0	0,18096	0,18096	-	01833	0	0	0,18096	0,18096	-	01834	0	0	0,18096	0,18096	-	
	I		74 247	57 799	0,12566	0,12566	3,85		67 438	50 633	0,12566	0,12566	4,01		62 354	44 809	0,12566	0,12566	4,15	
S	S		-68 226	65 836	0,22619	0,22619	4,91		-32 284	73 627	0,22619	0,22619	4,98		-2 490	77 796	0,22619	0,22619	4,98	
	I		0	0	0,12566	0,12566	-		0	0	0,12566	0,12566	-		0	0	0,12566	0,12566	-	
P	S	01835	0	0	0,18096	0,18096	-	01836	0	0	0,18096	0,18096	-	01837	0	0	0,18096	0,18096	-	
	I		60 629	40 795	0,12566	0,12566	4,24		62 061	38 354	0,12566	0,12566	4,29		64 480	38 064	0,12566	0,12566	4,29	
S	S		19 460	78 528	0,22619	0,22619	4,92		38 697	76 699	0,22619	0,22619	4,80		64 203	72 822	0,22619	0,22619	4,62	
	I		0	0	0,12566	0,12566	-		0	0	0,12566	0,12566	-		0	0	0,12566	0,12566	-	
P	S	01838	-79 644	45 141	0,18096	0,18096	8,59	01839	-82 290	48 436	0,18096	0,18096	8,88	01840	-84 916	45 843	0,18096	0,18096	8,68	
	I		0	0	0,12566	0,12566	-		0	0	0,12566	0,12566	-		0	0	0,12566	0,12566	-	
S	S		0	0	0,22619	0,22619	-		0	0	0,22619	0,22619	-		0	0	0,22619	0,22619	-	
	I		-5 612	6 182	0,12566	0,12566	3,50		10 726	28 226	0,12566	0,12566	3,21		17 512	53 754	0,12566	0,12566	2,95	
P	S	01841	-78 040	39 552	0,18096	0,18096	8,15	01842	-60 536	32 095	0,18096	0,18096	7,54	01843	-20 744	25 968	0,18096	0,18096	6,95	
	I		0	0	0,12566	0,12566	-		0	0	0,12566	0,12566	-		0	0	0,12566	0,12566	-	
S	S		0	0	0,22619	0,22619	-		0	0	0,22619	0,22619	-		0	0	0,22619	0,22619	-	
	I		-3 268	74 471	0,12566	0,12566	2,82		-46 628	90 988	0,12566	0,12566	2,77		-112 193	100 480	0,12566	0,12566	2,83	
P	S	01844	12 709	27 963	0,18096	0,18096	6,87	01845	24 625	50 696	0,18096	0,18096	8,33	01846	25 347	90 326	0,18096	0,18096	13,70	
	I		0	0	0,12566	0,12566	-		0	0	0,12566	0,12566	-		0	0	0,12566	0,12566	-	
S	S		0	0	0,22619	0,22619	-		0	0	0,22619	0,22619	-		0	0	0,22619	0,22619	-	
	I		-131 137	101 226	0,12566	0,12566	2,86		-121 667	96 094	0,12566	0,12566	2,88		-94 051	84 563	0,12566	0,12566	2,91	
P	S	01847	7 692	147 861	0,18096	0,18096	NS	01848	-49 393	215 657	0,18096	0,18096	14,02	01849	-63 427	28 401	0,18096	0,18096	7,33	
	I		0	0	0,12566	0,12566	-		0	0	0,12566	0,12566	-		0	0	0,12566	0,12566	-	
S	S		0	0	0,22619	0,22619	-		0	0	0,22619	0,22619	-		0	0	0,22619	0,22619	-	
	I		-33 174	68 407	0,12566	0,12566	2,93		82 446	50 799	0,12566	0,12566	2,84		124 797	60 205	0,12566	0,12566	2,67	
P	S	01850	0	0	0,18096	0,18096	-	01851	0	0	0,18096	0,18096	-	01852	0	0	0,18096	0,18096	-	
	I		-6 088	6 122	0,12566	0,12566	5,47		22 469	31 843	0,12566	0,12566	4,60		38 693	47 979	0,12566	0,12566	4,17	
S	S		0	0	0,22619	0,22619	-		0	0	0,22619	0,22619	-		0	0	0,22619	0,22619	-	
	I		24 907	44 422	0,12566	0,12566	3,02		-43 183	22 234	0,12566	0,12566	3,40		-83 937	897	0,12566	0,12566	3,77	
P	S	01853	0	0	0,18096	0,18096	-	01854	0	0	0,18096	0,18096	-	01855	0	0	0,18096	0,18096	-	
	I		57 210	55 228	0,12566	0,12566	3,96		84 749	54 616	0,12566	0,12566	3,88		81 347	50 299	0,12566	0,12566	3,97	
S	S		-116 759	17 638	0,22619	0,22619	4,13		-119 461	33 094	0,22619	0,22619	4,40		-76 995	45 742	0,22619	0,22619	4,51	
	I		0	0	0,12566	0,12566	-		0	0	0,12566	0,12566	-		0	0	0,12566	0,12566	-	
P	S	01856	0	0	0,18096	0,18096	-	01857	0	0	0,18096	0,18096	-	01858	0	0	0,18096	0,18096	-	
	I		79 142	45 739	0,12566	0,12566	4,07		75 978	41 718	0,12566	0,12566	4,17		74 470	38 589	0,12566	0,12566	4,24	
S	S		-39 091	55 048	0,22619	0,22619	4,58		-6 558	60 646	0,22619	0,22619	4,59		17 339	62 949	0,22619	0,22619	4,56	
	I		0	0	0,12566	0,12566	-		0	0	0,12566	0,12566	-		0	0	0,12566	0,12566	-	
P	S	01859	0	0	0,18096	0,18096	-	01860	0	0	0,18096	0,18096	-	01861	-55 143	47 665	0,18096	0,18096	8,63	

Platee - Verifiche pressoflessione retta allo SLU

Dir	Pos	Nodo	N _{Ed} [N]	M _{Ed} [N-m]	A _s [cm ² /cm]	A _{df} [cm ² /cm]	CS	Nodo	N _{Ed} [N]	M _{Ed} [N-m]	A _s [cm ² /cm]	A _{df} [cm ² /cm]	CS	Nodo	N _{Ed} [N]	M _{Ed} [N-m]	A _s [cm ² /cm]	A _{df} [cm ² /cm]	CS
	I		71 405	35 765	0,12566	0,12566	4,32		71 386	31 914	0,12566	0,12566	4,41		0	0	0,12566	0,12566	-
S	S		29 698	63 230	0,22619	0,22619	4,53		49 540	66 509	0,22619	0,22619	4,53		0	0	0,22619	0,22619	-
	I		0	0	0,12566	0,12566	-		0	0	0,12566	0,12566	-		7 254	24 613	0,12566	0,12566	3,26
P	S	01862	-52 448	42 912	0,18096	0,18096	8,24	01863	-53 770	38 470	0,18096	0,18096	7,92	01864	-54 059	37 937	0,18096	0,18096	7,89
	I		0	0	0,12566	0,12566	-		0	0	0,12566	0,12566	-		0	0	0,12566	0,12566	-
S	S		0	0	0,22619	0,22619	-		0	0	0,22619	0,22619	-		0	0	0,22619	0,22619	-
	I		6 087	40 388	0,12566	0,12566	3,10		-12 547	54 322	0,12566	0,12566	3,01		-51 065	68 781	0,12566	0,12566	2,96
P	S	01865	52 887	20 404	0,18096	0,18096	6,26	01866	43 400	42 944	0,18096	0,18096	7,62	01867	35 511	67 811	0,18096	0,18096	9,94
	I		0	0	0,12566	0,12566	-		0	0	0,12566	0,12566	-		0	0	0,12566	0,12566	-
S	S		0	0	0,22619	0,22619	-		0	0	0,22619	0,22619	-		0	0	0,22619	0,22619	-
	I		-116 209	76 368	0,12566	0,12566	3,03		-105 133	80 119	0,12566	0,12566	2,97		-79 815	74 833	0,12566	0,12566	2,97
P	S	01868	18 993	104 055	0,18096	0,18096	17,73	01869	-10 434	148 080	0,18096	0,18096	NS	01870	-79 214	186 503	0,18096	0,18096	26,39
	I		0	0	0,12566	0,12566	-		0	0	0,12566	0,12566	-		0	0	0,12566	0,12566	-
S	S		0	0	0,22619	0,22619	-		0	0	0,22619	0,22619	-		0	0	0,22619	0,22619	-
	I		-43 492	69 849	0,12566	0,12566	2,94		20 739	62 336	0,12566	0,12566	2,87		98 707	47 058	0,12566	0,12566	2,83
P	S	01871	-31 525	1 686	0,18096	0,18096	5,88	01872	0	0	0,18096	0,18096	-	01873	0	0	0,18096	0,18096	-
	I		0	0	0,12566	0,12566	-		-3 797	19 015	0,12566	0,12566	5,05		8 681	33 592	0,12566	0,12566	4,61
S	S		0	0	0,22619	0,22619	-		0	0	0,22619	0,22619	-		0	0	0,22619	0,22619	-
	I		74 040	62 302	0,12566	0,12566	2,76		1 176	36 777	0,12566	0,12566	3,15		-39 325	13 864	0,12566	0,12566	3,49
P	S	01874	0	0	0,18096	0,18096	-	01875	0	0	0,18096	0,18096	-	01876	0	0	0,18096	0,18096	-
	I		9 207	41 051	0,12566	0,12566	4,43		28 163	45 392	0,12566	0,12566	4,26		107 267	40 142	0,12566	0,12566	4,09
S	S		-64 891	5 050	0,22619	0,22619	3,80		-109 229	18 682	0,22619	0,22619	4,13		-115 561	30 907	0,22619	0,22619	4,35
	I		0	0	0,12566	0,12566	-		0	0	0,12566	0,12566	-		0	0	0,12566	0,12566	-
P	S	01877	0	0	0,18096	0,18096	-	01878	0	0	0,18096	0,18096	-	01879	0	0	0,18096	0,18096	-
	I		94 018	39 117	0,12566	0,12566	4,16		89 864	38 078	0,12566	0,12566	4,20		93 790	35 829	0,12566	0,12566	4,23
S	S		-47 756	43 865	0,22619	0,22619	4,39		-9 754	50 569	0,22619	0,22619	4,40		18 287	52 790	0,22619	0,22619	4,35
	I		0	0	0,12566	0,12566	-		0	0	0,12566	0,12566	-		0	0	0,12566	0,12566	-
P	S	01880	0	0	0,18096	0,18096	-	01881	-18 958	43 534	0,18096	0,18096	8,07	01882	-27 600	42 292	0,18096	0,18096	8,03
	I		92 769	32 230	0,12566	0,12566	4,32		0	0	0,12566	0,12566	-		0	0	0,12566	0,12566	-
S	S		31 354	50 924	0,22619	0,22619	4,28		0	0	0,22619	0,22619	-		0	0	0,22619	0,22619	-
	I		0	0	0,12566	0,12566	-		5 024	28 078	0,12566	0,12566	3,23		-11 927	32 188	0,12566	0,12566	3,22
P	S	01883	-52 614	46 775	0,18096	0,18096	8,54	01884	23 421	41 039	0,18096	0,18096	7,62	01885	56 192	57 977	0,18096	0,18096	8,74
	I		0	0	0,12566	0,12566	-		0	0	0,12566	0,12566	-		0	0	0,12566	0,12566	-
S	S		0	0	0,22619	0,22619	-		0	0	0,22619	0,22619	-		0	0	0,22619	0,22619	-
	I		-37 304	25 004	0,12566	0,12566	3,36		-83 343	43 889	0,12566	0,12566	3,26		-57 210	51 241	0,12566	0,12566	3,13
P	S	01886	29 038	80 624	0,18096	0,18096	11,79	01887	2 028	108 110	0,18096	0,18096	19,65	01888	-34 465	129 540	0,18096	0,18096	39,70
	I		0	0	0,12566	0,12566	-		0	0	0,12566	0,12566	-		0	0	0,12566	0,12566	-
S	S		0	0	0,22619	0,22619	-		0	0	0,22619	0,22619	-		0	0	0,22619	0,22619	-
	I		-41 873	53 847	0,12566	0,12566	3,07		-8 470	54 174	0,12566	0,12566	3,00		49 762	51 135	0,12566	0,12566	2,90
P	S	01889	0	0	0,18096	0,18096	-	01890	0	0	0,18096	0,18096	-	01891	0	0	0,18096	0,18096	-
	I		-48 778	3 417	0,12566	0,12566	5,76		-24 098	12 277	0,12566	0,12566	5,34		-11 295	23 018	0,12566	0,12566	4,96
S	S		0	0	0,22619	0,22619	-		0	0	0,22619	0,22619	-		0	0	0,22619	0,22619	-
	I		62 840	60 591	0,12566	0,12566	2,79		24 161	39 867	0,12566	0,12566	3,06		-9 898	18 298	0,12566	0,12566	3,37
P	S	01892	0	0	0,18096	0,18096	-	01893	0	0	0,18096	0,18096	-	01894	0	0	0,18096	0,18096	-
	I		-10 227	30 666	0,12566	0,12566	4,75		-27 335	33 406	0,12566	0,12566	4,75		107 037	31 669	0,12566	0,12566	4,28
S	S		-30 495	994	0,22619	0,22619	3,66		-44 217	18 565	0,22619	0,22619	3,95		-36 663	41 599	0,22619	0,22619	4,31
	I		0	0	0,12566	0,12566	-		0	0	0,12566	0,12566	-		0	0	0,12566	0,12566	-
P	S	01895	0	0	0,18096	0,18096	-	01896	0	0	0,18096	0,18096	-	01897	3 005	49 394	0,18096	0,18096	8,38
	I		96 153	32 704	0,12566	0,12566	4,29		105 078	34 304	0,12566	0,12566	4,22		0	0	0,12566	0,12566	-
S	S		-11 214	46 312	0,22619	0,22619	4,32		15 770	49 849	0,22619	0,22619	4,30		0	0	0,22619	0,22619	-
	I		0	0	0,12566	0,12566	-		0	0	0,12566	0,12566	-		-4 614	13 907	0,12566	0,12566	3,41
P	S	01898	-4	66	0,18096	0,18096	10,13	01899	47	57	0,18096	0,18096	8,77	01900	32	69	0,18096	0,18096	10,16

Platee - Verifiche pressoflessione retta allo SLU

Dir	Pos	Nodo	N _{Ed}		M _{Ed}		A _s		A _{df}		CS	Nodo	N _{Ed}		M _{Ed}		A _s		A _{df}		CS	Nodo	N _{Ed}		M _{Ed}		A _s		A _{df}		CS
			[N]	[N-m]	[N-m]	[cm ² /cm]	[cm ² /cm]	[N]	[N-m]	[cm ² /cm]			[cm ² /cm]	[N]	[N-m]	[N-m]	[cm ² /cm]	[cm ² /cm]	[N]	[N-m]			[N-m]	[cm ² /cm]	[cm ² /cm]						
			669	602	0	0	0,12566	0,12566	-	-			218	548	0	0	0,12566	0,12566	-	-			126	368	0	0	0,12566	0,12566	-	-	
S	I		0	0	0,22619	0,22619	0,12566	0,12566	-	-			0	0	0,22619	0,22619	0,12566	0,12566	-	-			0	0	0,22619	0,22619	0,12566	0,12566	-	-	
S	S		23	17	0,12566	0,12566	3,29	3,29	-	-			-19	18	0,12566	0,12566	3,40	3,40	-	-			-28	28	0,12566	0,12566	3,29	3,29	-	-	
P	I	01901	6	87	0,18096	0,18096	13,31	13,31	-	-		01902	-21	102	0,18096	0,18096	17,61	17,61	-	-		01903	-47	99	0,18096	0,18096	17,10	17,10	-	-	
S	S		369	543	0,12566	0,12566	-	-	-	-			339	123	0,12566	0,12566	-	-	-	-			209	585	0,12566	0,12566	-	-	-	-	
S	I		0	0	0,22619	0,22619	-	-	-	-			0	0	0,22619	0,22619	-	-	-	-			0	0	0,22619	0,22619	-	-	-	-	
P	I		-16	35	0,12566	0,12566	3,20	3,20	-	-			6	37	0,12566	0,12566	3,13	3,13	-	-			33	31	0,12566	0,12566	3,12	3,12	-	-	
P	S	01904	0	0	0,18096	0,18096	-	-	-	-		01905	0	0	0,18096	0,18096	-	-	-	-		01906	0	0	0,18096	0,18096	-	-	-	-	
S	S		-39	7	0,12566	0,12566	5,57	5,57	-	-			-27	16	0,12566	0,12566	5,22	5,22	-	-			-17	23	0,12566	0,12566	4,98	4,98	-	-	
S	I		0	0	0,22619	0,22619	-	-	-	-			0	0	0,22619	0,22619	-	-	-	-			-9	2	0,22619	0,22619	3,62	3,62	-	-	
P	I		26	32	0,12566	0,12566	3,13	3,13	-	-			3	13	0,12566	0,12566	3,39	3,39	-	-			0	0	0,12566	0,12566	-	-	-	-	
P	S	01907	0	0	0,18096	0,18096	-	-	-	-		01908	0	0	0,18096	0,18096	-	-	-	-		01909	0	0	0,18096	0,18096	-	-	-	-	
S	S		-12	26	0,12566	0,12566	4,89	4,89	-	-			-16	21	0,12566	0,12566	5,04	5,04	-	-			52	20	0,12566	0,12566	4,77	4,77	-	-	
S	I		-12	15	0,22619	0,22619	3,82	3,82	-	-			15	26	0,22619	0,22619	3,91	3,91	-	-			-5	37	0,22619	0,22619	4,15	4,15	-	-	
P	S	01910	0	0	0,18096	0,18096	-	-	-	-		01911	28	65	0,18096	0,18096	9,74	9,74	-	-		01912	8	77	0,18096	0,18096	11,48	11,48	-	-	
S	S		55	26	0,12566	0,12566	4,60	4,60	-	-			122	578	0,12566	0,12566	-	-	-	-			618	408	0,12566	0,12566	-	-	-	-	
S	I		-28	47	0,22619	0,22619	4,39	4,39	-	-			0	0	0,22619	0,22619	-	-	-	-			0	0	0,22619	0,22619	-	-	-	-	
P	S	01913	-24	88	0,18096	0,18096	13,90	13,90	-	-		01914	-47	87	0,18096	0,18096	13,89	13,89	-	-		01915	0	0	0,18096	0,18096	-	-	-	-	
S	S		136	727	0,12566	0,12566	-	-	-	-			219	481	0,12566	0,12566	-	-	-	-			-47	5	0,12566	0,12566	5,69	5,69	-	-	
S	I		0	0	0,22619	0,22619	-	-	-	-			0	0	0,22619	0,22619	-	-	-	-			0	0	0,22619	0,22619	-	-	-	-	
P	S	01916	-5	19	0,12566	0,12566	3,34	3,34	-	-			6	20	0,12566	0,12566	3,31	3,31	-	-			13	20	0,12566	0,12566	3,28	3,28	-	-	
P	S		965	709	0,12566	0,12566	3,34	3,34	-	-			365	064	0,12566	0,12566	3,31	3,31	-	-			940	770	0,12566	0,12566	3,28	3,28	-	-	
P	I		0	0	0,18096	0,18096	-	-	-	-		01917	0	0	0,18096	0,18096	-	-	-	-		01918	0	0	0,18096	0,18096	-	-	-	-	
S	S		-45	13	0,12566	0,12566	5,39	5,39	-	-			-33	19	0,12566	0,12566	5,16	5,16	-	-			-16	22	0,12566	0,12566	5,00	5,00	-	-	
S	I		380	540	0,12566	0,12566	5,39	5,39	-	-			433	322	0,12566	0,12566	5,16	5,16	-	-			088	300	0,12566	0,12566	5,00	5,00	-	-	
P	S	02100	0	0	1,68892	1,68892	-	-	-	-		02101	-311	105	1,68892	1,68892	4,66	4,66	-	-		02102	-1	326	1,68892	1,68892	6,33	6,33	-	-	
S	S		810	364	1,03044	1,03044	3,20	3,20	-	-			600	0	1,03044	1,03044	-	-	-	-			519	392	1,03044	1,03044	-	-	-	-	
S	I		600	158	2,48814	2,48814	2,52	2,52	-	-			-772	313	2,48814	2,48814	3,03	3,03	-	-			-2	320	2,48814	2,48814	3,53	3,53	-	-	
P	S	02103	-1	429	1,68892	1,68892	7,03	7,03	-	-		02104	-377	58	1,68892	1,68892	4,57	4,57	-	-		02105	0	0	1,68892	1,68892	-	-	-	-	
S	S		669	070	1,03044	1,03044	-	-	-	-			411	812	1,03044	1,03044	4,57	4,57	-	-			544	399	1,03044	1,03044	3,24	3,24	-	-	
S	I		0	0	1,03044	1,03044	-	-	-	-			0	0	1,03044	1,03044	-	-	-	-			090	016	1,03044	1,03044	-	-	-	-	
P	S	02106	314	307	2,48814	2,48814	2,70	2,70	-	-			0	0	2,48814	2,48814	-	-	-	-			0	0	2,48814	2,48814	-	-	-	-	
S	S		288	571	1,03044	1,03044	-	-	-	-			-553	414	1,03044	1,03044	2,42	2,42	-	-			1	766	1,03044	1,03044	1,85	1,85	-	-	
P	S		0	0	1,68892	1,68892	-	-	-	-		02107	0	0	1,68892	1,68892	-	-	-	-			0	0	1,68892	1,68892	-	-	-	-	
S	S		2	646	1,03044	1,03044	2,45	2,45	-	-			2	916	1,03044	1,03044	2,05	2,05	-	-			0	0	1,03044	1,03044	-	-	-	-	
S	I		091	935	1,03044	1,03044	2,45	2,45	-	-			713	870	1,03044	1,03044	2,05	2,05	-	-			0	0	1,03044	1,03044	-	-	-	-	
P	S	02106	0	0	2,48814	2,48814	-	-	-	-			0	0	2,48814	2,48814	-	-	-	-			0	0	2,48814	2,48814	-	-	-	-	
S	S		2	680	1,03044	1,03044	1,65	1,65	-	-			1	320	1,03044	1,03044	2,13	2,13	-	-			0	0	1,03044	1,03044	2,13	2,13	-	-	
P	S		815	567	1,03044	1,03044	1,65	1,65	-	-			013	446	1,03044	1,03044	2,13	2,13	-	-			0	0	1,03044	1,03044	2,13	2,13	-	-	
P	S		801	567	1,03044	1,03044	1,65	1,65	-	-			665	446	1,03044	1,03044	2,13	2,13	-	-			0	0	1,03044	1,03044	2,13	2,13	-	-	

LEGENDA:

Dir Direzione [P] = principale (asse locale 1) - [S] = secondaria (asse locale 2).

Pos Posizione [S] = superiore - [I] = inferiore.

A_s Area delle armature esecutive per unità di lunghezza.

A_{df} Armatura disponibile per la flessione

CS Coefficiente di sicurezza ([NS] = Non Significativo se CS ≥ 100; [VNR] = Verifica Non Richiesta; Informazioni aggiuntive sulla condizione: [V] = statica; [E] = eccezionale; [S] = sismica; [N] = sismica non lineare).

N_{Ed} Sollecitazioni di progetto.

M_{Ed}

Platee - VERIFICHE DELLE TENSIONI DI ESERCIZIO (Fondazione)

Platee - verifiche delle tensioni di esercizio

Nodo/ Tp _{rnf}	Dir	Compressione calcestruzzo							Trazione acciaio							
		Compressione calcestruzzo rinforzo							Trazione acciaio/FRP rinforzo							
		Id _{Cmb}	σ _{cc} [N/mm ²]	σ _{cd,amm} [N/mm ²]	N _{Ed} [N]	M _{Ed} [N-m]	CS	Verificato	Id _{Cmb}	σ _{at} [N/mm ²]	σ _{td,amm} [N/mm ²]	N _{Ed} [N]	M _{Ed} [N-m]	CS	Verificato	
Fondazione		Platea 1														
00375	P	RAR	0,912	18,43	-627 026	-732 435	20,21	SI	RAR	20,639	360,00	-627 026	-732 435	17,44	SI	
		QPR	0,912	13,82	-627 023	-732 450	15,15	SI	-	-	-	-	-	-	-	
	S	RAR	0,000	18,43	-3 193 659	-954 806	-	SI	RAR	221,151	360,00	-3 193 659	-954 806	1,63	SI	
		QPR	0,000	13,82	-3 193 657	-954 812	-	SI	-	-	-	-	-	-	-	

LEGENDA:

- Rinf.** Indica la presenza del rinforzo sulla sezione di verifica.
- Dir** Direzione [P] = principale (asse locale 1) - [S] = secondaria (asse locale 2).
- Id_{Cmb}** Identificativo della Combinazione di Azione: [QPR] = Quasi Permanente - [FRQ] = Frequente - [RAR] = Rara.
- σ_{cc}** Tensione massima di compressione nel calcestruzzo della Trave/Rinforzo.
- σ_{cd,amm}** Tensione ammissibile per la verifica a compressione del calcestruzzo.
- σ_{at}** Tensione massima di trazione nell'acciaio della Trave/Rinforzo o nel FRP.
- σ_{td,amm}** Tensione ammissibile per la verifica a trazione dell'acciaio/rinforzo.
- N_{Ed}, M_{Ed}** Sollecitazioni di progetto.
- CS** Coefficiente di Sicurezza (= σ_{cd,amm}/σ_{cc} ; σ_{td,amm}/σ_{at}). [NS] = Non Significativo (CS ≥ 100).
- Verificato** [SI] = La verifica è soddisfatta (σ_{cc} ≤ σ_{cd,amm} ; σ_{at} ≤ σ_{td,amm}). [NO] = La verifica NON è soddisfatta (σ_{cc} > σ_{cd,amm} ; σ_{at} > σ_{td,amm}).
- Nota** Nella tabella, per ogni elemento, viene riportato il nodo della shell che ha il coefficiente di sicurezza (CS) più piccolo.

Platee - VERIFICA ALLO STATO LIMITE DI FESSURAZIONE (Fondazione)

Platee - verifica allo stato limite di fessurazione

Nodo	Dir	Id _{Cmb}	N _{Ed}	M _{Ed}	σ _{ct,f}	σ _t	ε _{sm}	A _e	Δ _{sm}	W _d	W _{amm}	CS	Verificato			
			[N]	[N-m]	[N/mm ²]	[N/mm ²]		[cm ²]	[mm]	[mm]	[mm]					
Fondazione		Platea 1														
		AA= MDA														
NOTA: L'elemento è fessurato. Di seguito sono riportati solamente i nodi strutturali per i quali si riscontra la fessurazione (W_d ≠ 0)																
00318	P	FRQ	-2 547 707	-1 202 819	3,27	2,45	9,2431 E-04	1250	167	0,154	0,300	1,94	SI			
		QPR	-2 547 706	-1 202 821	3,27	2,45	9,2431 E-04	1250	167	0,154	0,200	1,30	SI			
	S	FRQ	-2 266 217	-1 124 669	2,77	2,45	8,3933 E-04	1250	160	0,134	0,300	2,24	SI			
		QPR	-2 266 217	-1 124 672	2,77	2,45	8,3933 E-04	1250	160	0,134	0,200	1,49	SI			
00494	P	FRQ	-2 198 084	-880 179	2,58	2,45	7,3703 E-04	1250	167	0,123	0,300	2,44	SI			
		QPR	-2 198 083	-880 179	2,58	2,45	7,3703 E-04	1250	167	0,123	0,200	1,62	SI			
	S	FRQ	-350 527	-915 271	1,38	2,45	0 E-01	0	0	0,000	0,300	-	SI			
		QPR	-350 526	-915 276	1,38	2,45	0 E-01	0	0	0,000	0,200	-	SI			
00375	P	FRQ	-627 024	-732 446	1,45	2,45	0 E-01	0	0	0,000	0,300	-	SI			
		QPR	-627 023	-732 450	1,45	2,45	0 E-01	0	0	0,000	0,200	-	SI			
	S	FRQ	-3 193 658	-954 810	3,10	2,45	9,9755 E-04	1250	160	0,159	0,300	1,89	SI			
		QPR	-3 193 657	-954 812	3,10	2,45	9,9755 E-04	1250	160	0,159	0,200	1,26	SI			
01177	P	FRQ	-1 564 567	-447 209	1,57	2,45	0 E-01	0	0	0,000	0,300	-	SI			
		QPR	-1 564 566	-447 208	1,57	2,45	0 E-01	0	0	0,000	0,200	-	SI			
	S	FRQ	-2 302 815	-882 854	2,48	2,45	7,6796 E-04	1250	160	0,122	0,300	2,45	SI			
		QPR	-2 302 814	-882 855	2,48	2,45	7,6796 E-04	1250	160	0,122	0,200	1,63	SI			
00377	P	FRQ	-466 917	-947 120	1,68	2,45	0 E-01	0	0	0,000	0,300	-	SI			
		QPR	-466 916	-947 126	1,68	2,45	0 E-01	0	0	0,000	0,200	-	SI			
	S	FRQ	-2 427 998	-1 047 703	2,77	2,45	8,513 E-04	1250	160	0,136	0,300	2,21	SI			
		QPR	-2 427 998	-1 047 703	2,77	2,45	8,513 E-04	1250	160	0,136	0,200	1,47	SI			
01176	P	FRQ	666 036	-945 446	1,02	2,45	0 E-01	0	0	0,000	0,300	-	SI			
		QPR	666 037	-945 449	1,02	2,45	0 E-01	0	0	0,000	0,200	-	SI			
	S	FRQ	-2 426 766	-1 063 901	2,79	2,45	8,5636 E-04	1250	160	0,137	0,300	2,20	SI			
		QPR	-2 426 766	-1 063 901	2,79	2,45	8,5636 E-04	1250	160	0,137	0,200	1,46	SI			
00376	P	FRQ	-113 295	-869 375	1,36	2,45	0 E-01	0	0	0,000	0,300	-	SI			
		QPR	-113 294	-869 380	1,36	2,45	0 E-01	0	0	0,000	0,200	-	SI			
	S	FRQ	-2 938 812	-1 092 736	3,13	2,45	9,842 E-04	1250	160	0,157	0,300	1,91	SI			
		QPR	-2 938 812	-1 092 737	3,13	2,45	9,842 E-04	1250	160	0,157	0,200	1,27	SI			
01211	P	FRQ	-1 874 799	-323 090	1,57	2,45	0 E-01	0	0	0,000	0,300	-	SI			
		QPR	-1 874 798	-323 093	1,57	2,45	0 E-01	0	0	0,000	0,200	-	SI			
	S	FRQ	-2 565 096	-822 191	2,56	2,45	8,0854 E-04	1250	160	0,129	0,300	2,33	SI			
		QPR	-2 565	-822 191	2,56	2,45	8,0854	1250	160	0,129	0,200	1,55	SI			

Platee - verifica allo stato limite di fessurazione

Nodo	Dir	IdCmb	N _{Ed} [N]	M _{Ed} [N-m]	σ _{ct,f} [N/mm ²]	σ _t [N/mm ²]	s _{sm}	A _e [cm ²]	Δ _{sm} [mm]	W _d [mm]	W _{amm} [mm]	CS	Verificato
			096				E-04						
00322	P	FRQ	-1 440 097	-1 187 840	2,60	2,45	6,2102 E-04	1250	178	0,110	0,300	2,72	SI
		QPR	-1 440 095	-1 187 840	2,60	2,45	6,2102 E-04	1250	178	0,110	0,200	1,81	SI
	S	FRQ	-1 435 817	-1 196 319	2,37	2,45	0 E-01	0	0	0,000	0,300	-	SI
		QPR	-1 435 816	-1 196 320	2,37	2,45	0 E-01	0	0	0,000	0,200	-	SI
01179	P	FRQ	-2 131 766	-882 494	2,55	2,45	7,2247 E-04	1250	167	0,121	0,300	2,49	SI
		QPR	-2 131 765	-882 494	2,55	2,45	7,2247 E-04	1250	167	0,121	0,200	1,66	SI
	S	FRQ	-1 164 837	-926 217	1,87	2,45	0 E-01	0	0	0,000	0,300	-	SI
		QPR	-1 164 834	-926 217	1,87	2,45	0 E-01	0	0	0,000	0,200	-	SI
00321	P	FRQ	-1 772 971	-1 126 652	2,71	2,45	7,2016 E-04	1250	167	0,120	0,300	2,49	SI
		QPR	-1 772 969	-1 126 653	2,71	2,45	7,2016 E-04	1250	167	0,120	0,200	1,66	SI
	S	FRQ	-1 861 403	-1 131 633	2,54	2,45	7,4808 E-04	1250	160	0,119	0,300	2,51	SI
		QPR	-1 861 402	-1 131 634	2,54	2,45	7,4808 E-04	1250	160	0,119	0,200	1,68	SI
01247	P	FRQ	-1 417 486	-688 489	1,85	2,45	0 E-01	0	0	0,000	0,300	-	SI
		QPR	-1 417 486	-688 490	1,85	2,45	0 E-01	0	0	0,000	0,200	-	SI
	S	FRQ	-2 032 152	-1 028 878	2,51	2,45	7,5362 E-04	1250	160	0,120	0,300	2,50	SI
		QPR	-2 032 152	-1 028 880	2,51	2,45	7,5362 E-04	1250	160	0,120	0,200	1,66	SI
01213	P	FRQ	-2 080 263	-942 195	2,61	2,45	7,3028 E-04	1250	167	0,122	0,300	2,46	SI
		QPR	-2 080 263	-942 196	2,61	2,45	7,3028 E-04	1250	167	0,122	0,200	1,64	SI
	S	FRQ	-2 030 470	-1 092 264	2,59	2,45	7,7416 E-04	1250	160	0,123	0,300	2,43	SI
		QPR	-2 030 468	-1 092 264	2,59	2,45	7,7416 E-04	1250	160	0,123	0,200	1,62	SI
00320	P	FRQ	-1 974 700	-1 476 485	3,34	2,45	8,3983 E-04	1250	178	0,149	0,300	2,01	SI
		QPR	-1 974 699	-1 476 487	3,34	2,45	8,3983 E-04	1250	178	0,149	0,200	1,34	SI
	S	FRQ	-1 849 273	-1 292 667	2,74	2,45	7,9834 E-04	1250	160	0,127	0,300	2,36	SI
		QPR	-1 849 272	-1 292 670	2,74	2,45	7,9834 E-04	1250	160	0,127	0,200	1,57	SI
01359	P	FRQ	-2 214 219	-926 931	2,66	2,45	7,5619 E-04	1250	167	0,126	0,300	2,37	SI
		QPR	-2 214 218	-926 931	2,66	2,45	7,5619 E-04	1250	167	0,126	0,200	1,58	SI
	S	FRQ	225 306	-655 672	0,70	2,45	0 E-01	0	0	0,000	0,300	-	SI
		QPR	225 307	-655 674	0,70	2,45	0 E-01	0	0	0,000	0,200	-	SI
00493	P	FRQ	-2 566 536	-1 050 105	3,05	2,45	8,7826 E-04	1250	167	0,147	0,300	2,04	SI
		QPR	-2 566 535	-1 050 105	3,05	2,45	8,7826 E-04	1250	167	0,147	0,200	1,36	SI
	S	FRQ	-496 908	-964 122	1,52	2,45	0 E-01	0	0	0,000	0,300	-	SI
		QPR	-496 907	-964 127	1,52	2,45	0 E-01	0	0	0,000	0,200	-	SI
00492	P	FRQ	-2 804 990	-1 192 135	3,40	2,45	9,8024 E-04	1250	167	0,164	0,300	1,83	SI
		QPR	-2 804 990	-1 192 136	3,40	2,45	9,8024 E-04	1250	167	0,164	0,200	1,22	SI
	S	FRQ	-157 095	-986 267	1,35	2,45	0 E-01	0	0	0,000	0,300	-	SI
		QPR	-157 094	-986 272	1,35	2,45	0 E-01	0	0	0,000	0,200	-	SI
00319	P	FRQ	-2 191 367	-1 364 233	3,30	2,45	8,9526 E-04	1250	167	0,150	0,300	2,01	SI
		QPR	-2 191 366	-1 364 236	3,30	2,45	8,9526 E-04	1250	167	0,150	0,200	1,34	SI
	S	FRQ	-2 043 960	-1 526 650	3,15	2,45	8,724 E-04	1250	178	0,155	0,300	1,93	SI
		QPR	-2 043 959	-1 526 652	3,15	2,45	8,724 E-04	1250	178	0,155	0,200	1,29	SI
01358	P	FRQ	-2 357 384	-957 418	2,79	2,45	7,9933 E-04	1250	167	0,134	0,300	2,25	SI
		QPR	-2 357 382	-957 418	2,79	2,45	7,9933 E-04	1250	167	0,134	0,200	1,50	SI
	S	FRQ	583 894	-585 484	0,40	2,45	0 E-01	0	0	0,000	0,300	-	SI
		QPR	583 894	-585 485	0,40	2,45	0 E-01	0	0	0,000	0,200	-	SI
00491	P	FRQ	-2 741 080	-927 609	2,97	2,45	8,7815 E-04	1250	167	0,147	0,300	2,04	SI
		QPR	-2 741	-927 610	2,97	2,45	8,7815	1250	167	0,147	0,200	1,36	SI

Platee - verifica allo stato limite di fessurazione

Nodo	Dir	IdCmb	N _{Ed}	M _{Ed}	σ _{ct,f}	σ _t	ε _{sm}	A _e	Δ _{sm}	W _d	W _{amm}	CS	Verificato
			[N]	[N-m]	[N/mm ²]	[N/mm ²]		[cm ²]	[mm]	[mm]	[mm]		
			078				E-04						
01285	S	FRQ	-468 743	-728 685	1,21	2,45	0 E-01	0	0	0,000	0,300	-	SI
		QPR	-468 742	-728 689	1,21	2,45	0 E-01	0	0	0,000	0,200	-	SI
	P	FRQ	-1 852 860	-936 076	2,47	2,45	6,7571 E-04	1250	167	0,113	0,300	2,66	SI
		QPR	-1 852 858	-936 074	2,47	2,45	6,7571 E-04	1250	167	0,113	0,200	1,77	SI
01248	S	FRQ	-1 853 629	-422 353	1,63	2,45	0 E-01	0	0	0,000	0,300	-	SI
		QPR	-1 853 628	-422 352	1,63	2,45	0 E-01	0	0	0,000	0,200	-	SI
	P	FRQ	-2 094 659	-1 109 142	2,87	2,45	7,8871 E-04	1250	167	0,132	0,300	2,28	SI
		QPR	-2 094 657	-1 109 143	2,87	2,45	7,8871 E-04	1250	167	0,132	0,200	1,52	SI
01214	P	FRQ	-1 632 951	-1 160 987	2,68	2,45	6,5681 E-04	1250	178	0,117	0,300	2,57	SI
		QPR	-1 632 949	-1 160 987	2,68	2,45	6,5681 E-04	1250	178	0,117	0,200	1,71	SI
	S	FRQ	-2 321 157	-1 165 064	2,86	2,45	8,6536 E-04	1250	160	0,138	0,300	2,17	SI
		QPR	-2 321 157	-1 165 066	2,86	2,45	8,6536 E-04	1250	160	0,138	0,200	1,45	SI
01322	P	FRQ	-2 620 718	-959 422	2,95	2,45	8,6084 E-04	1250	167	0,144	0,300	2,09	SI
		QPR	-2 620 717	-959 422	2,95	2,45	8,6084 E-04	1250	167	0,144	0,200	1,39	SI
	S	FRQ	-1 142 588	-465 228	1,27	2,45	0 E-01	0	0	0,000	0,300	-	SI
		QPR	-1 142 588	-465 230	1,27	2,45	0 E-01	0	0	0,000	0,200	-	SI
01323	P	FRQ	-2 188 169	-847 487	2,53	2,45	7,2395 E-04	1250	167	0,121	0,300	2,48	SI
		QPR	-2 188 168	-847 487	2,53	2,45	7,2395 E-04	1250	167	0,121	0,200	1,65	SI
	S	FRQ	-827 877	-656 704	1,33	2,45	0 E-01	0	0	0,000	0,300	-	SI
		QPR	-827 876	-656 707	1,33	2,45	0 E-01	0	0	0,000	0,200	-	SI

LEGENDA:

- Dir** Direzione [P] = principale (asse locale 1) - [S] = secondaria (asse locale 2).
- AA** Identificativo dell'aggressività dell'ambiente: [PCA] = "Ordinario"; [MDA] = "Aggressivo"; [MLA] = "Molto aggressivo".
- IdCmb** Identificativo della Combinazione di Azione: [QPR] = Quasi Permanente - [FRQ] = Frequente - [RAR] = Rara.
- N_{Ed}, M_{Ed}** Sollecitazioni di progetto.
- σ_{ct,f}** Tensione massima di trazione nel calcestruzzo per la fessurazione, calcolata nell'ipotesi di calcestruzzo resistente a trazione. Se tale valore è maggiore di σ_t, la sezione è soggetta a fessurazione.
N.B. I valori negativi indicano una sezione interamente compressa. In tal caso le sollecitazioni forniscono il minimo valore di compressione.
- σ_t** Tensione massima di trazione nel calcestruzzo relativa allo stato limite di formazione delle fessure [relazione (4.1.13) del § 4.1.2.2.4 del DM 2018].
- ε_{sm}** Deformazione unitaria media delle barre di armatura.
- A_e** Area efficace del calcestruzzo teso.
- Δ_{sm}** Distanza media tra le fessure.
- W_d** Valore di calcolo di apertura massima delle fessure.
- W_{amm}** Valore ammissibile di apertura delle fessure.
- CS** Coefficiente di Sicurezza (=W_d / W_{amm}). [NS] = Non Significativo (CS ≥ 100). [-] = Fessurazioni nulle (W_d = 0).
- Verificato** [SI] = W_d ≤ W_{amm}; [NO] = W_d > W_{amm}

PALI - VERIFICHE A PRESSOFLESSIONE DEVIATA ALLO SLU (Fondazione)

Pali - Verifiche a pressoflessione deviata allo SLU

Id _{Pi}	Id _{Nd}	N _{Ed}	M _{Ed,X}	M _{Ed,Y}	CS	N _u	φ _s	n _s	φ _{As,st}
		[N]	[N-m]	[N-m]		[N]	[mm]		[mm]
PALO10	00011	34 743	-136 280	55 069	6.13[V]	17 466 307	20	14	10
PALO8	00010	38 460	-88 300	146 257	5.29[V]	17 466 307	20	14	10
PALO6	00009	40 730	11 028	132 345	6.81[V]	17 466 307	20	14	10
PALO4	00008	40 487	25 618	43 373	17.96[V]	17 466 307	20	14	10
PALO2	00007	33 242	-37 125	-8 996	23.60[V]	17 466 307	20	14	10
PALO1	00006	31 250	-92 308	35 912	9.09[V]	17 466 307	20	14	10
PALO3	00005	29 563	-64 591	101 528	7.47[V]	17 466 307	20	14	10
PALO5	00004	29 449	10 717	83 169	10.73[V]	17 466 307	20	14	10
PALO7	00003	31 157	3 634	-1 560	NS	17 466 307	20	14	10
PALO9	00002	35 624	-81 402	-28 711	10.45[V]	17 466 307	20	14	10

LEGENDA:

- Id_{Pi}** Identificativo del palo.
- Id_{Nd}** Identificativo del nodo in testa al palo.
- CS** Coefficiente di sicurezza ([NS] = Non Significativo se CS ≥ 100; [VNR]= Verifica Non Richiesta; Informazioni aggiuntive sulla condizione: [V] = statica; [E] = eccezionale; [S] = sismica; [N] = sismica non lineare).
- N_u** Sforzo Normale Ultimo per compressione semplice.
- φ_s** Diametro delle barre di acciaio.
- n_s** Numero delle barre di acciaio.
- φ_{As,st}** Diametro delle staffe.
- N_{Ed}, M_{Ed,X}** Sollecitazioni di progetto.

Pali - Verifiche a pressoflessione deviata allo SLU

Id _{PI}	Id _{Nd}	N _{Ed}	M _{Ed,X}	M _{Ed,Y}	CS	N _u	φ _s	n _s	φ _{As,st}
		[N]	[N·m]	[N·m]		[N]	[mm]		[mm]

M_{Ed,Y}

PALI - VERIFICHE A TAGLIO (Fondazione)

Pali - Verifiche a Taglio

Id _{PI}	Id _{Nd}	V _{Ed}	CS	V _{Rcd}		V _{Rsd,s}		A _{sw}	S _{Asw}	φ _{As,st}
				X	Y	X	Y			
		[N]		[N]		[N]		[cm ² /cm]	[cm]	[mm]
PALO10	00011	280 317	2,86	3 758 904	0	802 132	0	0,07854	20	10
PALO8	00010	279 635	2,87	3 758 904	0	802 132	0	0,07854	20	10
PALO6	00009	289 168	2,77	3 758 904	0	802 132	0	0,07854	20	10
PALO4	00008	301 706	2,66	3 758 904	0	802 132	0	0,07854	20	10
PALO2	00007	314 212	2,55	3 758 904	0	802 132	0	0,07854	20	10
PALO1	00006	323 155	2,48	3 758 904	0	802 132	0	0,07854	20	10
PALO3	00005	325 948	2,46	3 758 904	0	802 132	0	0,07854	20	10
PALO5	00004	321 151	2,50	3 758 904	0	802 132	0	0,07854	20	10
PALO7	00003	307 629	2,61	3 758 904	0	802 132	0	0,07854	20	10
PALO9	00002	291 548	2,75	3 758 904	0	802 132	0	0,07854	20	10

LEGENDA:

- Id_{PI}** Identificativo del palo.
- Id_{Nd}** Identificativo del nodo in testa al palo.
- V_{Ed}** Massima sollecitazione di taglio composta in funzione di V_{Ed,X}, V_{Ed,Y} e dell'asse neutro.
- CS** Coefficiente di sicurezza ([NS] = Non Significativo se CS ≥ 100; [VNR]= Verifica Non Richiesta; Informazioni aggiuntive sulla condizione: [V] = statica; [E] = eccezionale; [S] = sismica; [N] = sismica non lineare).
- V_{Rcd}** Resistenza a taglio compressione del calcestruzzo.
- V_{Rsd,s}** Resistenza a taglio trazione delle staffe.
- A_{sw}** Area delle staffe per unità di lunghezza.
- S_{Asw}** Passo massimo staffe da normativa.
- φ_{As,st}** Diametro delle staffe.

PALI - VERIFICHE A CARICO LIMITE VERTICALE E ORIZZONTALE ALLO SLU

Pali - Verifiche a carico limite verticale e orizzontale allo SLU

Id _{PI} /Pnt PI	Id _{Nd,sup}	carichi verticali: compressione					carichi verticali: trazione			carichi orizzontali						
		Q _{Ed,Max,V,c}	Q _{Rd,V,c}	Q _{Rd,V,Pt}	Q _{Rd,V,Lt}	CS _{V,c}	Q _{Ed,Max,V,t}	Q _{Rd,V,t}	CS _{V,t}	Q _{Ed,O}	Q _{Rd,O}	M _{max,O}	T.R.	Z _{c,pls}	CS _O	
		[N]	[N]	[N]	[N]		[N]	[N]		[N]	[N]	[N·m]		[m]		
PALO10	00011	264 596	9 495 492	6 766 870	2 728 622	35,89	0	5 268 858	-	317	280 290	450 290	873806	Palo Lungo	2,80	1,61
PALO8	00010	268 316	9 495 492	6 766 870	2 728 622	35,39	0	5 268 858	-	279	289 635	450 290	873806	Palo Lungo	2,80	1,61
PALO6	00009	270 585	9 495 492	6 766 870	2 728 622	35,09	0	5 268 858	-	168	289 168	450 290	873806	Palo Lungo	2,80	1,56
PALO4	00008	266 907	9 495 492	6 766 870	2 728 622	35,58	0	5 268 858	-	301	301 706	450 290	873806	Palo Lungo	2,80	1,49
PALO2	00007	263 095	9 495 492	6 766 870	2 728 622	36,09	0	5 268 858	-	314	314 212	450 290	873806	Palo Lungo	2,80	1,43
PALO1	00006	261 103	9 495 492	6 766 870	2 728 622	36,37	0	5 268 858	-	323	323 155	450 290	873806	Palo Lungo	2,80	1,39
PALO3	00005	259 419	9 495 492	6 766 870	2 728 622	36,60	0	5 268 858	-	325	325 948	450 290	873806	Palo Lungo	2,80	1,38
PALO5	00004	259 304	9 495 492	6 766 870	2 728 622	36,62	0	5 268 858	-	321	321 151	450 290	873806	Palo Lungo	2,80	1,40
PALO7	00003	261 014	9 495 492	6 766 870	2 728 622	36,38	0	5 268 858	-	307	307 629	450 290	873806	Palo Lungo	2,80	1,46
PALO9	00002	262 045	9 495 492	6 766 870	2 728 622	36,24	0	5 268 858	-	291	291 548	450 290	873806	Palo Lungo	2,80	1,54

LEGENDA:

- Id_{PI}/Pnt PI** Identificativo del palo o del plinto su pali.
- Id_{Nd,sup}** Identificativo del nodo all'estremo superiore del palo o della pilastrata cui il plinto è collegato.
- Q_{Rd,V,Pt}** Aliquota della resistenza di progetto verticale dovuto alla resistenza alla punta.
- Q_{Rd,V,Lt}** Aliquota della resistenza di progetto verticale dovuto alla resistenza laterale.
- Q_{Ed,O}** Carico orizzontale di progetto.
- Q_{Rd,O}** Resistenza di progetto orizzontale.
- M_{max,O}** Momento massimo lungo il palo per carichi orizzontali.
- T.R.** Modalità di rottura per carico limite orizzontale (Palo Corto, Palo Medio, Palo Lungo).
- Z_{c,pls}** Profondità della seconda cerniera plastica.
- CS_O** Coefficiente di sicurezza per azioni orizzontali ([NS] = Non Significativo per valori di CS ≥ 100; [VNR]= Verifica Non Richiesta).
- Q_{Ed,Max,V,c/}** Carico verticale di progetto massimo a compressione (c) ed a trazione (t).
- Q_{Ed,Max,V,t}**
- Q_{Rd,V,c/}** Resistenza di progetto verticale a compressione (c) ed a trazione (t).
- Q_{Rd,V,t}**
- CS_{V,c/}** Coefficiente di sicurezza per azioni verticali a compressione (c) ed a trazione (t). ([NS] = Non Significativo per valori di CS ≥ 100; [VNR]= Verifica Non Richiesta).
- CS_{V,t}**